

การใช้โปรแกรม HEC – HMS สำหรับลุ่มน้ำย่อยที่ไม่มีสถานีวัดน้ำท่า

Using program HEC - HMS for Ungauged catchment

นางสาวสุภัชชา	ลิกธิรัส	รหัส 50363464
นายรุ่มเกล้า	ทรงนัจนา	รหัส 50363358

ปริญญาอินพนธ์นี้เป็นส่วนหนึ่งของการศึกษาหลักสูตรปริญญาวิศวกรรมศาสตรบัณฑิต
สาขาวิชาชีวกรรมโยธา ภาควิชาชีวกรรมโยธา
คณะวิศวกรรมศาสตร์ มหาวิทยาลัยนเรศวร
ปีการศึกษา 2553

ห้องสมุดคณะวิศวกรรมศาสตร์
วันที่รับ..... 29 ส.ค. 2554
เลขทะเบียน..... 15511616
เลขเรียกหนังสือ..... ผศ.
มหาวิทยาลัยนเรศวร ต.843 ว.



ใบรับรองปริญญาบัตร

ชื่อหัวข้อโครงการ

การใช้โปรแกรม HEC – HMS สำหรับคุณน้ำย่อยที่ไม่มีสถานีวัดน้ำท่า

ผู้ดำเนินโครงการ

นางสาวสุกัญชา สิทธิรัตน์ รหัส 50363464

ที่ปรึกษาโครงการ

รศ.ดร. สมบัติ ชื่นชูกลัน

สาขาวิชา

วิศวกรรมโยธา

ภาควิชา

วิศวกรรมโยธา

ปีการศึกษา

2553

คณะวิศวกรรมศาสตร์ มหาวิทยาลัยราชภัฏ อนุมัติให้ปริญญาบัตรนี้เป็นส่วนหนึ่ง
ของการศึกษาตามหลักสูตรวิศวกรรมศาสตรบัณฑิต สาขาวิศวกรรมโยธา

ที่ปรึกษาโครงการ

(รศ.ดร. สมบัติ ชื่นชูกลัน)

กรรมการ

(รศ.ดร. ปัจฉนนิชฐ์ ธรรมกุล)

ชื่อหัวข้อโครงการ	การใช้โปรแกรม HEC – HMS สำหรับคุณน้ำย่อที่ไม่มีสถานีวัดน้ำท่า		
ผู้ดำเนินโครงการ	นางสาวสุกัชชา สิทธิรัตน์	รหัส 50363464	
	นายร่วมเกล้า ทรงนัจชา	รหัส 50363358	
ที่ปรึกษาโครงการ	รศ.ดร. สมบัติ ชื่นชุกลิน		
สาขาวิชา	วิศวกรรมโยธา		
ภาควิชา	วิศวกรรมโยธา		
ปีการศึกษา	2553		

บทคัดย่อ

โครงการนี้เป็นการศึกษาความสัมพันธ์ของน้ำฝนและน้ำท่าของคุณน้ำโดยใช้แบบจำลองคณิตศาสตร์ HEC – HMS (Hydrologic Engineering Center – Hydrologic Modeling System) ซึ่งได้นำแบบจำลองดังกล่าวมาประยุกต์ใช้กับคุณน้ำขนาดเล็ก (จังหวัดน่าน) โดยอาศัยข้อมูลสำรวจทางอุทกวิทยาจากฝ่ายน้ำปีว ข้อมูลที่ใช้เป็นข้อมูลฝนรายวัน และน้ำท่ารายวัน แบบจำลองการสูญเสียของน้ำท่า (Loss Method) ใช้วิธี SCS Curve Number แบบจำลองการไหลผิวดินใช้ (Transform Method) ใช้วิธี Snyder Unit Hydrograph แบบจำลองการไหลพื้นฐาน (Base flow Method) ใช้วิธี Recession และการปรับเทียบความถูกต้องของแบบจำลองใช้วิธีการลองผิดลองถูก (Trial & Error)

ผลที่ได้จากการคำนวณโดยแบบจำลองคณิตศาสตร์ HEC – HMS คือปริมาณน้ำท่าที่ไหลผ่านฝายในช่วงเวลาที่เกิดฝนตก ซึ่งจะแสดงอยู่ในรูปของกราฟน้ำท่า

Project title	Using program HEC - HMS for Ungauged catchment	
Name	Miss. Supatchar sittiros	ID. 50363464
	Mr. Romkaow Songmatcha	ID. 50363358
Project advisor	Assoc.Pro.Dr. Sombat Chuenchooklin	
Major	Civil Engineering	
Department	Civil Engineering	
Academic year	2010	

Abstract

This project is a study of the relationship between rainfall and runoff of the watershed by using mathematical model HEC - HMS (Hydrologic Engineering Center - Hydrologic Modeling System), which applies the model applied to the river basin small. (Nan), based on survey data from the Dam Pua hydrological data used is the daily rainfall data. Daily runoff. Model, the loss of runoff (Loss Method) using SCS Curve Number equation of surface used (Transform Method) using Snyder Unit Hydrograph equation based (Base flow Method) method Recession and calibration of accuracy of the model using trial and error (Trail & Error).

The result calculated by the mathematical model HEC - HMS is the amount of runoff that flows into the reservoir during times of rain. This is shown in the graph runoff.

กิตติกรรมประกาศ

ในการดำเนินงานครั้งนี้คณะผู้ดำเนินโครงการ ขอขอบพระคุณ อาจารย์สมบัติ ชื่นชูกลีน เป็นอย่างยิ่งที่กรุณาให้ความรู้ ความเข้าใจ คำปรึกษา คำแนะนำ narrowing ลึซึ่งแนะนำทางต่างๆ ตลอดจนให้ความกรุณาช่วยเหลือตรวจสอบแก้ไขข้อมูลพร่องและปัญหาต่าง ๆ ในการทำรายงาน การศึกษาอิสระด้วยความเอาใจใส่เป็นอย่างดีจนทำให้การดำเนินการในครั้งนี้ประสบผลสำเร็จ ฉุกเฉิน และผ่านไปด้วยดี

ขอขอบพระคุณคณาจารย์ สาขาวิศวกรรมโยธา และคณะวิศวกรรมศาสตร์ ทุกท่านที่ค่อยกรุณาให้คำแนะนำ คำปรึกษา อบรมสั่งสอน และให้ความรู้ทางด้านวิชาการต่าง ๆ ที่เป็นประโยชน์อย่างยิ่งต่อการดำเนินการครั้งนี้ ตลอดจนเคยชี้แนะประสบการณ์ที่ดีที่สามารถนำมาใช้แก้ปัญหา และนำมาประยุกต์ใช้ให้เกิดประโยชน์ในการศึกษาอิสระให้ประสบผลสำเร็จฉุกเฉิน ไปได้ด้วยดี

ขอขอบคุณเจ้าหน้าที่ศูนย์ฝ่ายนำ้าป่า โครงการชลประทานน่าน สำหรับข้อมูลฝนรายวัน ของสถานีวัดน้ำฝนบ้านนาฝาง

ขอขอบคุณเพื่อนนิสิต คณะวิศวกรรมศาสตร์ มหาวิทยาลัยนเรศวร ที่เคยช่วยเหลือในด้านข้อมูล และเคยให้คำปรึกษาเป็นอย่างดี

คณะผู้ดำเนินโครงการวิศวกรรม

นางสาวสุกัชชา สิทธิรัตน์

นายรัมเกล้า ทรงมังคลา

มีนาคม 2554

สารบัญ

หน้า

ใบรับรองปริญญาในพันธ์.....	ก
บทคัดย่อภาษาไทย.....	ข
บทคัดย่อภาษาอังกฤษ.....	ค
กิตติกรรมประกาศ.....	ง
สารบัญ.....	จ
สารบัญตาราง.....	ฉ
สารบัญรูป.....	ญ
สารบัญสัญลักษณ์และอักษรย่อ.....	ท

บทที่ 1 บทนำ.....	1
-------------------	---

1.1 ความเป็นมาและความสำคัญของโครงการ.....	1
1.2 วัตถุประสงค์ของโครงการ.....	1
1.3 ประโยชน์ที่คาดว่าจะได้รับ.....	1
1.4 ขอบเขตการทำโครงการ.....	2
1.5 ขั้นตอนการดำเนินงาน.....	2
1.6 แผนการดำเนินงาน.....	3
1.7 รายละเอียดงบประมาณตลอดโครงการ.....	3

บทที่ 2 หลักการและทฤษฎีเบื้องต้น.....	4
---------------------------------------	---

2.1 วงจรอุทกวิทยา.....	4
2.2 ฝน.....	5
2.3 การวิเคราะห์การแจกแจงปริมาณน้ำฝนตามพื้นที่.....	6
2.4 การซึมลงดิน.....	8
2.5 กราฟน้ำท่า.....	10
2.6 เอกซ์คลาฟ.....	13
2.7 การสังเคราะห์เอกซ์คลาฟ.....	14
2.8. อุทกวิทยาการไหลทางในลำน้ำ (Hydrologic River Routing).....	19

สารบัญ (ต่อ)

	หน้า
บทที่ 3 วิธีดำเนินโครงการ.....	22
3.1 อุปกรณ์.....	22
3.2 ขั้นตอนการปฏิบัติการ.....	22
3.3 การรวมรวมข้อมูล.....	24
3.4 การสอบเทียบและตรวจสอบแบบจำลอง (Model Calibration).....	29
3.5 ถ้อยคำการวิเคราะห์โดยใช้โปรแกรม HEC - HMS.....	31
บทที่ 4 ผลการทดลองและวิเคราะห์.....	33
4.1 ผลการวิเคราะห์ข้อมูลเบื้องต้น.....	21
4.2 การสอบเทียบนำท่าข้อมูลกับนำท่าจากโปรแกรม.....	40
ณ สถานีวัดน้ำที่บ้านนาฝาง (J-1) ในปี 2551	
4.3 การเปรียบเทียบนำท่าข้อมูลกับนำท่าจากโปรแกรม.....	54
ณ สถานีวัดน้ำที่บ้านนาฝาง (J-1) ในปี 2549	
บทที่ 5 บทสรุปและข้อเสนอแนะ.....	66
5.1 บทสรุป.....	66
5.2 ข้อเสนอแนะ.....	67
เอกสารอ้างอิง.....	68
ภาคผนวก ก.....	70
ภาคผนวก ข.....	72
ภาคผนวก ค.....	82
ภาคผนวก ง.....	91
ภาคผนวก จ.....	115

สารบัญตาราง

ตารางที่	หน้า
1.1 แผนการดำเนินงาน.....	3
2.1 ค่าคงที่ในสมการความกว้างของเอกชลกภาพ.....	18
3.1 แสดงที่ตั้งตำแหน่งของสถานีวัดน้ำฝนที่ใช้ในการศึกษาปี 2551.....	26
3.3 แสดงที่ตั้งตำแหน่งของสถานีวัดน้ำท่าที่ใช้ในการศึกษาปี 2551.....	27
3.4 ข้อจำกัดของค่าตัวแปรของแบบจำลองต่างๆ ในโปรแกรม HEC-HMS.....	30
4.1 ข้อมูลน้ำเข้าที่ใช้ในการสอนเที่ยงโปรแกรมปี 2551.....	33
4.2 ข้อมูลน้ำเข้าที่ใช้ในการสอนเที่ยงโปรแกรมกรณีที่ 1.....	34
4.3 ข้อมูลน้ำเข้าที่ใช้ในการสอนเที่ยงโปรแกรมกรณีที่ 2.....	35
4.4 สักยະะการใช้ที่ดินบริเวณพื้นที่ลุ่มน้ำป่า.....	37
4.5 ชุดคินที่พับบริเวณพื้นที่ลุ่มน้ำป่า.....	37
4.6 ค่า CN เคลื่ย ของพื้นที่ลุ่มน้ำป่า กรณี AMC II และ $I_a = 0.2S$	37
4.7 ค่า Parameter ที่ได้จากการปรับเทียบ โดยวิธี SCS Curve Number.....	38
จากข้อมูลปี 2551	
4.8 ค่า Parameter ที่ได้จากการปรับเทียบ โดยวิธี Snyder Unit Hydrograph.....	38
จากข้อมูลปี 2551	
4.9 ค่า Parameter ที่ได้จากการปรับเทียบ โดยวิธี Recession จากข้อมูลปี 2551.....	39
4.10 ค่า Parameter ที่ได้จากการสอนเทียบ โดยวิธี Muskingum จากข้อมูล.....	39
ปี 2551	
4.11 ผลสอนเทียบการคำนวณน้ำท่าที่ให้ผ่านสถานีวัดน้ำขันนาฝาง (J-1).....	41
จากโปรแกรมกับข้อมูลปี 2551 ใน กรณีที่ 1	
4.12 ผลการคำนวณปริมาณน้ำท่าจากโปรแกรมในพื้นที่ลุ่มน้ำวังข้อมูลปี 2551.....	43
ใน กรณีที่ 1	
4.13 การเปรียบเทียบความสัมพันธ์ระหว่างกราฟน้ำท่าที่ Run จากโปรแกรม HEC-HES.....	44
ใน ปี 2551 ใน กรณีที่ 1 ณ จุดรวมน้ำป่าและน้ำวัง	
4.14 การเปรียบเทียบความสัมพันธ์ระหว่างกราฟน้ำท่าที่ Run จากโปรแกรม HEC-HES.....	45
ใน ปี 2551 ใน กรณีที่ 1 ณ จุดออกแม่น้ำน่าน	

สารบัญตาราง(ต่อ)

ตารางที่	หน้า
4.15 ผลสอนเทียบการคำนวณน้ำท่าที่ให้ผลผ่านสถานีวัดน้ำบ้านนาฝาง (J-1).....	48
จากโปรแกรมกับข้อมูลปี2551ในกรณีที่ 2	
4.16 ผลการคำนวณปริมาณน้ำท่าจากโปรแกรมในพื้นที่ลุ่มน้ำขวางข้อมูลปี2551.....	50
ในกรณีที่ 2	
4.17 การเปรียบเทียบความสัมพันธ์ระหว่างกราฟน้ำท่าที่ Runจากโปรแกรม HEC-HES.....	51
ใน ปี2551ในกรณีที่2 ณ จุดรวมน้ำป้วและน้ำขวาง	
4.18 การเปรียบเทียบความสัมพันธ์ระหว่างกราฟน้ำท่าที่ Runจากโปรแกรม HEC-HES.....	52
ใน ปี2551ในกรณีที่2 ณ จุดออกแม่น้ำน่าน	
4.19 ข้อมูลน้ำเข้าที่ใช้ในการเปรียบเทียบโปรแกรมปี2549.....	54
4.20 ข้อมูลน้ำเข้าที่ใช้ในการสอนเทียนโปรแกรมกรณีที่ 1.....	54
4.21 ข้อมูลน้ำเข้าที่ใช้ในการสอนเทียนโปรแกรมกรณีที่ 2.....	57
4.22 ผลเปรียบเทียบการคำนวณน้ำท่าที่ให้ผลผ่านสถานีวัดน้ำบ้านนาฝาง (J-1).....	59
จากโปรแกรมกับข้อมูลปี2549ใน กรณีที่1	
4.23 ผลสอนเทียบการคำนวณน้ำท่าที่ให้ผลผ่านสถานีวัดน้ำบ้านนาฝาง (J-1).....	62
จากโปรแกรมกับข้อมูลปี2549ในกรณีที่ 2	
4.24 สรุปผลสอนเทียบแบบจำลอง.....	64
ค1 ความสัมพันธ์ระหว่างปริมาณน้ำฝนและความลึกน้ำท่าที่หมายเลขโถงน้ำท่า.....	86
ค2 การจัดระดับความชื้นก่อนหน้า (AMC) ของพื้นที่ตามวิธีของ SCS.....	87
ค3 ความสัมพันธ์ของค่า CN ตามการจัดระดับความชื้นก่อนหน้า (AMC).....	87
ค4 โถงตัวเลข (CN) สำหรับพื้นที่ทำการเกษตร กรณี AMC II และ $I_a = 0.2S$	88
ค5 ค่าโถงตัวเลข (CN) สำหรับพื้นที่รับน้ำในเขตเมือง.....	89
ง1 ผลสอนเทียบการคำนวณน้ำท่าที่ให้ผลผ่านสถานีวัดน้ำบ้านนาฝาง (J-1).....	91
จาก โปรแกรมกับข้อมูลปี2551 ในกรณีที่1	
ง2 ผลการคำนวณปริมาณน้ำท่าจากโปรแกรมในพื้นที่ลุ่มน้ำขวางข้อมูลปี2551ในกรณีที่ 1.....	94
ง3 การเปรียบเทียบความสัมพันธ์ระหว่างกราฟน้ำท่าที่ Runจาก.....	97
โปรแกรม HEC-HESใน ปี2551 ณ จุดรวมน้ำป้วและน้ำขวาง ในกรณีที่1	
ง4 การเปรียบเทียบความสัมพันธ์ระหว่างกราฟน้ำท่าที่ Runจากโปรแกรม HEC-HES.....	100
ใน ปี2551ในกรณีที่1 ณ จุดออกแม่น้ำน่าน กรณีที่1	

สารบัญตาราง(ต่อ)

ตารางที่	หน้า
ง5 ผลสอนเทียบการคำนวณน้ำท่าที่ให้แล้วกับสถานีวัดน้ำเข้าน้ำออก (J-1).....	103
จากโปรแกรมกับข้อมูลปี2551ในกรณีที่ 2	
ง6 ผลการคำนวณปริมาณน้ำท่าจากโปรแกรมในพื้นที่ลุ่มน้ำข้างวังข้อมูลปี2551ในกรณีที่ 2.....	106
ง7 การเปรียบเทียบความสัมพันธ์ระหว่างกราฟน้ำท่าที่ Runจาก.....	109
โปรแกรม HEC-HES ใน ปี2551 ณ จุดรวมน้ำป้วและน้ำข่วง กรณีที่2	
ง8 การเปรียบเทียบความสัมพันธ์ระหว่างกราฟน้ำท่าที่ Runจากโปรแกรม HEC-HES.....	112
ในปี2551 ณ จุดออกแม่น้ำน่าน กรณีที่2	
ง1 ผลสอนเทียบการคำนวณน้ำท่าที่ให้แล้วกับสถานีวัดน้ำเข้าน้ำออก (J-1).....	115
จากโปรแกรมกับข้อมูลปี2549 กรณีที่1	
ง2 ผลการคำนวณปริมาณน้ำท่าจากโปรแกรมในพื้นที่ลุ่มน้ำข้างวังข้อมูลปี2549ในกรณีที่ 1.....	119
ง3 การเปรียบเทียบความสัมพันธ์ระหว่างกราฟน้ำท่าที่ Run.....	123
จากโปรแกรม HEC-HES ใน ปี2549 ณ จุดรวมน้ำป้วและน้ำข่วง กรณีที่1	
ง4 การเปรียบเทียบความสัมพันธ์ระหว่างกราฟน้ำท่าที่ Runจากโปรแกรม HEC-HES.....	127
ใน ปี2549 ณ จุดออกแม่น้ำน่าน กรณีที่1	
ง5 ผลสอนเทียบการคำนวณน้ำท่าที่ให้แล้วกับสถานีวัดน้ำเข้าน้ำออก (J-1).....	131
จากโปรแกรมกับข้อมูลปี2549กรณีที่ 2	
ง6 ผลการคำนวณปริมาณน้ำท่าจากโปรแกรมในพื้นที่ลุ่มน้ำข้างวังข้อมูลปี2549.....	135
กรณีที่ 2	
ง7 การเปรียบเทียบความสัมพันธ์ระหว่างกราฟน้ำท่าที่ Run.....	139
จากโปรแกรม HEC-HES ใน ปี2549 ณ จุดรวมน้ำป้วและน้ำข่วง กรณีที่2	
ง8 การเปรียบเทียบความสัมพันธ์ระหว่างกราฟน้ำท่าที่ Runจากโปรแกรม HEC-HES.....	143
ใน ปี2549 ณ จุดอุกแม่น้ำน่าน กรณีที่2	

สารบัญ

หัวข้อ	หน้า
รูปที่	
2.1 แผนผังวงจรอุทกวิทยา.....	4
2.2 วิธีแยกการไหลออกพื้นฐานจากคลาพน้ำท่า.....	12
2.3 เอกคลาพน้ำของลุ่มน้ำ.....	14
2.4 เอกคลาพที่ต้องการ ($t_p \neq 5.5 t_c$)	16
2.5 ลักษณะการไหลตามและการเก็บกักในลุ่มน้ำแบบบูรณาภิเษก.....	20
2.6 แสดงคลาพน้ำหลักไหลออก ด้วยค่า $X=0$ และ 0.5 เพียงกับคลาพน้ำไหลเข้า.....	21
3.1 แผนผังวิธีการศึกษาสภาพอุทกวิทยาของลุ่มน้ำท่า โดยแบบจำลองคอมพิวเตอร์.....	23
HEC-HMS	
3.2 ที่ตั้งของพื้นที่ลุ่มน้ำและจุดทดสอบแบบจำลอง.....	24
3.3 พื้นที่ลุ่มน้ำย่อขยายปัจจุบัน.....	25
3.4 แสดงโครงข่ายสถานีวัดน้ำฝนที่ใช้ในการผลิต ถ่วงน้ำหนักเชิงเส้น.....	27
3.5 แสดงหน้างอโปรแกรม HEC-HMS ในโหมด Basin Model.....	28
3.6 แสดงการใช้ประโยชน์ที่ดินในลุ่มน้ำอ่างเก็บปัจจุบัน.....	29
3.7 แสดงขั้นตอนการสอนเพียงตัวแปรของแบบจำลอง.....	30
3.8 กราฟแสดง Initial Baseflow Recession.....	32
4.1 แสดงปริมาณข้อมูลน้ำฝนของสถานีวัดน้ำฝนอุทบานฯ ภาค.....	34
เปรียบเทียบกับข้อมูลน้ำท่าของสถานีบ้านนาฝาง ปี2551 กรณีที่ 1	
4.2 แสดงปริมาณข้อมูลน้ำฝนของสถานีวัดน้ำฝนอุทบานฯ ภาคเปรียบเทียบ.....	34
ข้อมูลน้ำท่าของสถานีบ้านนาฝางช่วงวันที่ 01 ก.ค. – 31 ส.ค. ของลุ่มน้ำป้าปี 2551 กรณีที่ 1	
4.3 แสดงปริมาณข้อมูลน้ำฝนเฉลี่ยของสถานีวัดน้ำฝนอุทบานฯ ภาคและ.....	36
สถานีวัดน้ำฝนบ้านนาฝางเปรียบเทียบกับข้อมูลน้ำท่าของสถานีบ้านนาฝาง ปี2551กรณีที่ 2	
4.4 แสดงการเลือกช่วงปริมาณข้อมูลน้ำฝนเฉลี่ยของสถานีวัดน้ำฝนอุทบานฯ ภาค.....	36
และสถานีวัดน้ำฝนบ้านนาฝางเปรียบเทียบกับข้อมูลน้ำท่าของสถานีบ้านนาฝาง ช่วงวันที่ 01 ก.ค. – 31 ส.ค. ของลุ่มน้ำป้าปี 2551 กรณีที่ 2	
4.5 ผลสอนเทียบโปรแกรมระหว่างกราฟน้ำท่าข้อมูลและน้ำท่า.....	40
จากโปรแกรมลุ่มน้ำป้า(J-1)ปี 2551 กรณีที่ 1	
4.6 ข้อมูลน้ำฝนอุทบานฯ ภาคสอนเพียงกรณีท่าที่ได.....	40
จากโปรแกรมHEC – HMS ของลุ่มน้ำป้าปี2551 กรณีที่ 1	

สารบัญรูป(ต่อ)

รูปที่	หน้า
4.7 การสอนเทียบความสัมพันธ์น้ำท่าจากโปรแกรม HEC – HMS.....	42
และจากข้อมูล ปี 2551 กรณีที่ 1	
4.8 ข้อมูลน้ำฝนอุทยานฯค่าเบริญเทียบกราฟน้ำท่าที่ได้.....	42
จากโปรแกรมHEC – HMS ของคุณน้ำขาว ปี2551 กรณีที่ 1	
4.9 ผลการเบริญเทียบความสัมพันธ์ระหว่างกราฟน้ำท่าจากโปรแกรมในกรณีที่ 1.....	46
4.10 ผลการเบริญเทียบความสัมพันธ์ระหว่างกราฟน้ำท่าจากโปรแกรม.....	46
ณ จุดออกแม่น้ำน่านในกรณีที่ 1 กรณีที่ 1	
4.11 ผลสอนเทียบโปรแกรมระหว่างกราฟน้ำท่าข้อมูล.....	47
และน้ำท่าจากโปรแกรมคุณน้ำป้า(J-1)ปี 2551กรณีที่ 2	
4.12 ข้อมูลน้ำฝนเกลี่ยเบริญเทียบกราฟน้ำท่าที่ได้.....	47
จากโปรแกรมHEC – HMS ของคุณน้ำป้า ปี2551 กรณีที่ 2	
4.13 การสอนเทียบความสัมพันธ์น้ำท่าจากโปรแกรม HEC – HMS.....	49
และจากข้อมูล ปี 2551 กรณีที่ 2	
4.14 ข้อมูลน้ำฝนเกลี่ยเบริญเทียบกราฟน้ำท่าที่ได.....	49
จากโปรแกรมHEC – HMS ของคุณน้ำขาว ปี2551 กรณีที่ 2	
4.15 ผลการเบริญเทียบความสัมพันธ์ระหว่างกราฟน้ำท่าจากโปรแกรมในกรณีที่ 2.....	53
4.16 ผลการเบริญเทียบความสัมพันธ์ระหว่างกราฟน้ำท่าจากโปรแกรม	53
ณ จุดออกแม่น้ำน่านในกรณีที่ 2	
4.17 แสดงปริมาณข้อมูลน้ำฝนของสถานีวัดน้ำฝนอุทยานฯค่า.....	55
เบริญเทียบกับข้อมูลน้ำท่าของสถานีบ้านนาฝาง ปี2549 กรณีที่ 1	
4.18 แสดงปริมาณข้อมูลน้ำฝนของสถานีวัดน้ำฝนอุทยานฯค่าเบริญเทียน.....	55
ข้อมูลน้ำท่าของสถานีบ้านนาฝางช่วงวันที่ 01 ก.ค. – 30 ก.ย. ของคุณน้ำป้า ปี 2549 กรณีที่ 1	
4.19 ผลการเบริญเทียบความสัมพันธ์ระหว่างกราฟน้ำท่าจากโปรแกรม.....	56
ณ จุดออกแม่น้ำน่าน ปี2549 ในกรณีที่ 1	
4.20 แสดงปริมาณข้อมูลน้ำฝนเกลี่ยของสถานีวัดน้ำฝนอุทยานฯค่า.....	57
และสถานีวัดน้ำฝนบ้านนาฝางเบริญเทียบกับข้อมูลน้ำท่าของสถานีบ้านนาฝาง ปี2549 กรณีที่ 2	

สารบัญชุป(ต่อ)

รูปที่	หน้า
4.21 แสดงการเลือกช่วงปริมาณข้อมูลน้ำฝนเฉลี่ยของสถานีวัดน้ำฝนอุทบานฯกุดา.....	57
และสถานีวัดน้ำฝนบ้านนาฝางเปรียบเทียบกับข้อมูลน้ำท่าของสถานีบ้านนาฝางช่วง วันที่ 01 ก.ค. – 30 กันยายน. ของคุณน้ำปี 2549 กรณีที่ 2	
4.22 ผลสอนเทียบโปรแกรมระหว่างกราฟน้ำท่าข้อมูลและน้ำท่า.....	58
จากโปรแกรมคุณน้ำปี(J-1)ปี 2549 กรณีที่ 1	
4.23 ข้อมูลน้ำฝนอุทบานฯกุดาสอนเทียบกราฟน้ำท่าที่ได้จากโปรแกรมHEC – HMS.....	58
ของคุณน้ำปี ปี2549 กรณีที่ 1	
4.24 การสอนเทียบความสัมพันธ์น้ำท่าจากโปรแกรม HEC – HMS และจากข้อมูล ปี 2549.....	60
4.25 ผลเปรียบเทียบ โปรแกรมระหว่างกราฟน้ำท่าข้อมูลและน้ำท่า.....	61
จากโปรแกรมคุณน้ำปี(J-1)ปี 2549 กรณีที่ 2	
4.26 ข้อมูลน้ำฝนเฉลี่ยเปรียบเทียบกราฟน้ำท่าที่ได้จากโปรแกรมHEC – HMS.....	61
ของคุณน้ำปี ปี2549 กรณีที่ 2	
4.27 การสอนเทียบความสัมพันธ์น้ำท่าจากโปรแกรม HEC – HMS และจากข้อมูล.....	63
ปี 2549กรณีที่ 2	
4.28 ผลการทดสอบความสัมพันธ์ระหว่างกราฟน้ำท่าจากโปรแกรม.....	64
๙ จุดออกแม่น้ำในกรณีที่ 2	
ก1 แสดงรูปแบบการคำนวณน้ำท่าจากพื้นที่รับน้ำในแบบจำลองHEC-HMS.....	71
๙1 Create a new project.....	72
๙2 Enter a project name, a project description, location of project files	72
and the default unit system	
๙3 Open the basin model manager.....	73
๙4 Create a new basin model.....	73
๙5 Hydrologic element tools.....	74
๙6 Component editor for a sub basin element.....	75
๙7 ค่า Parameter โดยวิธี SCS Curve Number.....	75
๙8 ค่า Parameter โดยวิธี Snyder Unit Hydrograph.....	76
๙9 ค่า Parameter โดยวิธี Recession.....	76

สารบัญชุด(ต่อ)

รูปที่	หน้า
ว10 Open the meteorologic model manager.....	76
ว11 Create a new meteorologic model.....	77
ว12 Component editor for a meteorologic model.....	77
ว13 Adding subbasin elements to a meteorologic model.....	78
ว14 Open control specifications model manager.....	78
ว15 Create a new control specifications model.....	79
ว16 Control specifications.....	79
ว17 Open input data managers.....	80
ว18 Create a new Time-Series Data.....	80
ว19 เลือกวันที่น้ำเข้าข้อมูล, กำหนดหน่วยของข้อมูลและเลือกช่วงเวลาที่เก็บข้อมูล.....	81
ว20 กำหนดวัน เดือน ปี และเวลาที่เริ่มต้น – สิ้นสุดของข้อมูล.....	81
ว21 การใส่ข้อมูล.....	82
ว22 กราฟแสดงผลข้อมูล.....	83
ว23 การสร้าง Simulation run.....	83
ว24 Selecting a simulation run.....	84
ว25 Computing the selected simulation run.....	84
ว26 ผลการ Run โปรแกรม.....	85

สารบัญสัญลักษณ์และอักษรย่อ

กม.	= กิโลเมตร
ซม.	= เซนติเมตร
ตร.ม.	= ตารางเมตร
ม.	= เมตร
มม.	= มิลลิเมตร
ลบ.ม./วินาที	= ลูกบาศก์เมตรต่อวินาที
ล้าน ลบ.ม./วัน	= ล้านลูกบาศก์เมตรต่อวัน
ว-ค-ป	= วัน – เดือน – ปี
A	= พื้นที่รับน้ำ
CN	= โค้งตัวเลข
ΔS	= ผลต่างการเก็บกัก
I	= น้ำไหลเข้า
L	= ระยะจากจุดออกน้ำนำหลักไปจนถึงจุดใกล้สุดของลำน้ำ
L_c	= ระยะจากจุดออกน้ำนำหลักไปจนถึงจุดญูน์ท์ต่างของลำน้ำ
Q	= น้ำไหลออก
Q_p	= อัตราการไหลสูงสุด
S	= ปริมาณกักเก็บ
SCS	= Soil Conservation Service
t_p	= เวลาจากจุดเริ่มต้นถึงอัตราการไหลสูงสุด
UH	= Unit hydrograph หรือ เอกชลภาพ
Base flow	= การไหลพื้นฐาน
Direct runoff	= น้ำท่าที่เกิดจากฝนส่วนเกิน
Duration	= ระยะเวลาของฝนตกส่วนเกิน
Excess rainfall	= น้ำฝนที่จะกลายเป็นน้ำท่าไหลลง
Hydrograph	= กราฟแสดงระดับน้ำและอัตราการไหลของน้ำเทียบกับเวลา
Hydrologic cycle	= วงจรอุทกวิทยา
Precipitation	= น้ำจากอากาศ, น้ำฝน
Stream flow	= น้ำท่า

บทที่ 1

บทนำ

1.1 ความเป็นมาและความสำคัญของโครงงาน

เนื่องจากในจังหวัดน่าน ประสบปัญหาปริมาณกักเก็บน้ำในฤดูแล้งไม่เพียงพอ และ มีน้ำหลัก ในช่วงฤดูฝน สาเหตุคาดว่ามาจากปริมาณตะกอนหันดอนบริเวณหนีอสันฝายมีปริมาณมาก และ ปริมาณตะกอนจะมีการทับถมในระยะเวลาอันรวดเร็ว ตั้งแต่ให้การคำนวณค่าระดับน้ำในบริเวณ หนีอสันฝายมีความคลาดเคลื่อนจากความเป็นจริง ทำให้การจัดสรรน้ำเพื่อการเพาะปลูกจะทำได้ ยาก และ เมื่อถึงฤดูน้ำหลักจะใช้เวลาในการชะลอต้นน้ำของฝายจะทำได้ไม่เต็มประสิทธิภาพ ใน การศึกษานี้ได้เลือกใช้แบบจำลอง HEC – HMS ซึ่งเป็นแบบจำลองทางคณิตศาสตร์ที่แสดงการ เกิดน้ำท่าจากผลทางอุทกวิทยา ข้อมูลที่ใช้คือ ข้อมูลปริมาณน้ำฝนรายวัน ข้อมูลการระบายน้ำเดือน และการวิเคราะห์ความสัมพันธ์ระหว่างน้ำฝนและน้ำท่า ในลักษณะกราฟที่แสดงการผันแปรของ ปริมาณน้ำท่าตามเวลาที่ผ่านไป หรือกราฟน้ำท่า (Hydrograph)

1.2 วัตถุประสงค์ของโครงงาน

- ประเมินปริมาณน้ำท่ารายวัน บริเวณพื้นที่ลุ่มน้ำย้อย จากสถิติข้อมูลน้ำฝน ข้อมูลปริมาณ น้ำท่ารายวัน และข้อมูลการระบายน้ำเดือน จากสถานีวัดน้ำท่าข้างเคียง โดยการประยุกต์ แบบจำลองทางคณิตศาสตร์ HEC – HMS
- เพื่อทำการเปรียบเทียบมาตรฐานและตรวจสอบพารามิเตอร์ (Calibration and Verification) ของแบบจำลอง HEC - HMS
- เพื่อปรับเปลี่ยนเพิ่มผลการศึกษาโดยใช้แบบจำลอง HEC – HMS กับผลการศึกษาที่ผ่านมา

1.3 ประโยชน์ที่คาดว่าจะได้รับ

- สามารถพัฒนาไปใช้กับพื้นที่ที่ไม่มีข้อมูลน้ำฝนน้ำท่าได้
- ผลที่ได้จากแบบจำลอง HEC – HMS สามารถทราบถึงองค์ประกอบของน้ำท่า เช่น Overland flow , Inter flow และ Base flow ซึ่งสามารถคุณลักษณะของกราฟทำให้ไม่ต้องเสียเวลาในการหาค่า เหล่านี้อีก
- สามารถนำการคำนวณโดยแบบจำลองคณิตศาสตร์ HEC – HMS ไปเป็นข้อมูลด้านเข้าของ โปรแกรมอื่น ๆ ได้ เช่น HEC – RAS เพื่อศึกษาลักษณะหน้าดินการไหล เป็นต้น

1.4 ขั้นตอนการทำโครงการ

1. ศึกษาวิธีการหาค่าเฉลี่ยน้ำฝนในพื้นที่อุ่น
2. ศึกษาปริมาณน้ำท่าของอุ่นน้ำเยื่อยที่มีสถานีวัดน้ำท่าและมีการจัดเก็บข้อมูลปริมาณน้ำฝนรายวัน
3. ศึกษาข้อมูลปริมาณน้ำฝนรายวัน ของสถานีวัดน้ำฝนในบริเวณใกล้พื้นที่ ที่การจัดเก็บข้อมูลปริมาณน้ำฝนรายวัน เพื่อวิเคราะห์ค่าเฉลี่ยปริมาณน้ำฝนรายวัน
4. ศึกษาการทำ Synthetic Unit Hydrograph กรณีที่อุ่นน้ำไม่มีสถานีวัดน้ำท่าโดยวิธีของ Synder

1.5 ขั้นตอนการดำเนินงาน

การศึกษาสภาพอุทกภัยของอุ่นน้ำเยื่อย โดยใช้แบบจำลองทางคณิตศาสตร์ HEC-HMS ประกอบด้วยวิธีการศึกษา 4 ขั้นตอน คือ

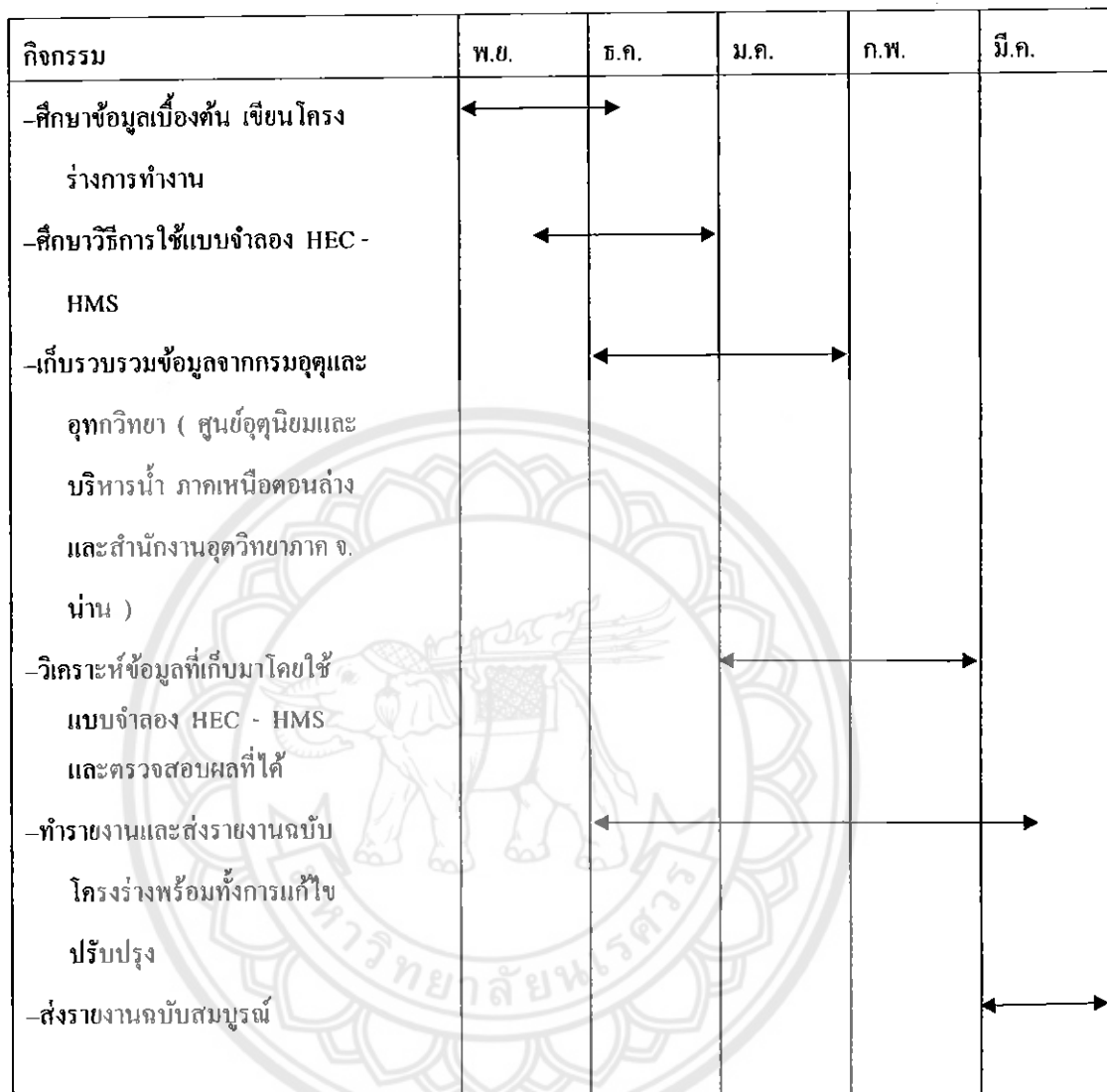
1. การรวบรวมและวิเคราะห์ข้อมูล

ข้อมูลลักษณะภูมิประเทศ(Topography) ข้อมูลลักษณะภูมิประเทศทางกายภาพของสภาพพื้นที่อุ่นน้ำเยื่อย ที่ทำการสำรวจ โดยจะเลือกพื้นที่กำกับปี ซึ่งมีทั้งแบ่งออกเป็น 12 ตำบล ข้อมูลน้ำฝน(Rainfall Data) การรวบรวมข้อมูลสถิติน้ำฝน ที่ใช้ในการวิเคราะห์ ซึ่งแบบจำลอง HEC-HMS สามารถนำเข้าข้อมูลฝนที่ความละเอียดของข้อมูลตั้งแต่รายนาทีจนถึงรายหนึ่งวัน ใน การศึกษาระบบนี้ ใช้ข้อมูลฝนรายวันจากสถานีวัดน้ำฝนของกรมชลประทาน จำนวน 3 สถานี แล้วหาค่าเฉลี่ย โดยวิธี Thiessen Method และมีช่วงของข้อมูลเฉลี่ยในปี 2549, 2551 โดยกำหนดรหัสแทนชื่อสถานีวัดน้ำฝนประกอบด้วยตัวเลข 5 ตัว เลขหลักหนึ่งและหลักพันหมายถึง ชื่อจังหวัด เลขหลักร้อย และหลักสิบ หมายถึง ชื่อสถานีวัดน้ำฝน เลขหลักหน่วย หมายถึง ชื่อหน่วยงานเจ้าของสถานี ข้อมูลน้ำท่าราย(Runoff Data) การรวบรวมข้อมูลสถิติน้ำท่าที่ใช้ในการศึกษาระบบนี้ เป็นข้อมูลปริมาณน้ำท่า เพื่อนำมาเป็นข้อมูลเบริกเทบกับผลการคำนวนตามปริมาณการไหล ซึ่งเป็นสถานีของ กรมชลประทาน โดยได้เลือกสถานีวัดน้ำท่า จำนวน 1 สถานี สถานีวัดน้ำท่านานาฝ่าย อ.ปัว จ.น่าน

2. ทำการสอนเพียงและตรวจสอบแบบจำลอง
3. เสนอผลที่ได้และวิจารณ์
4. สรุปผลและข้อเสนอแนะ

1.6 แผนการดำเนินงาน

ตาราง 1.1 แผนการดำเนินงาน



1.7 รายละเอียดงบประมาณตลอดโครงการ

1. ค่าจัดทำรูปเด่น	800 บาท
2. ค่าวัสดุคอมพิวเตอร์	500 บาท
3. ค่าสำเนาเอกสารข้อมูล A3 , A4	500 บาท
4. ค่าใช้จ่ายอื่น ๆ	200 บาท
รวมเป็นเงิน	2,000 บาท (สองพันบาทถ้วน)

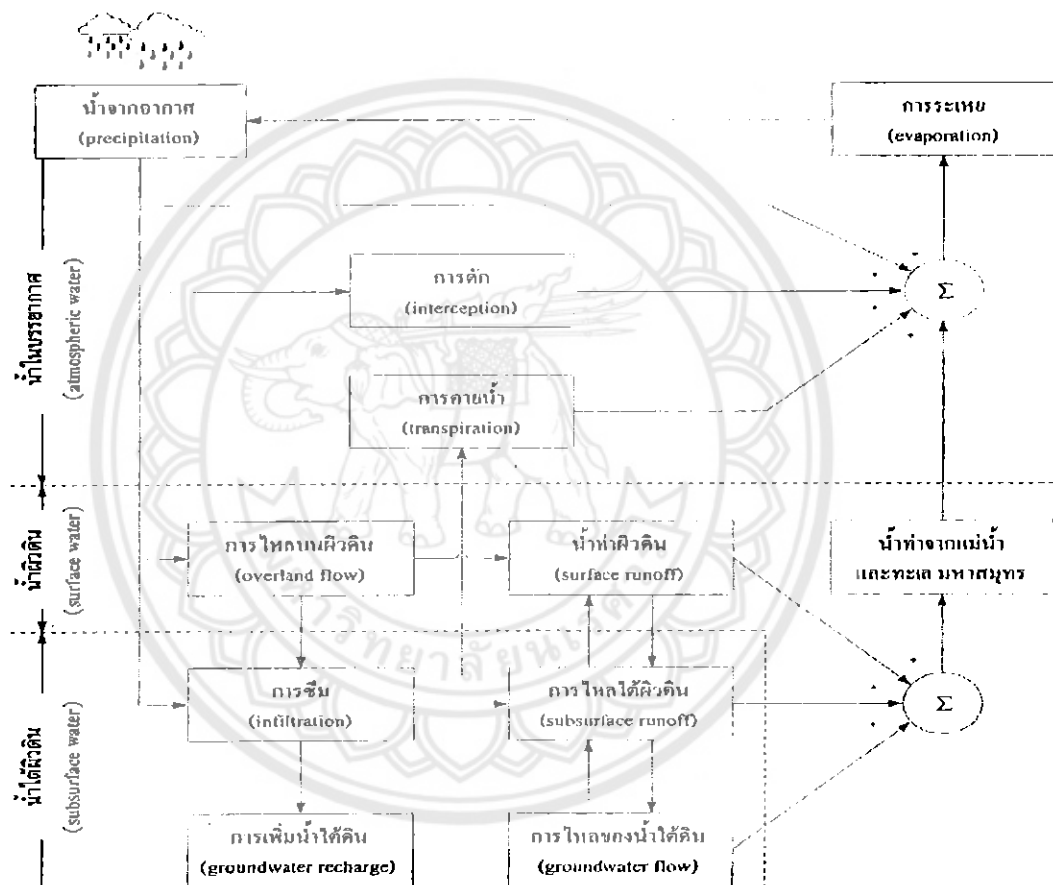
หมายเหตุ : ถ้าจะเลี่ยงทุกรายการ

บทที่ 2

หลักการและทฤษฎีเบื้องต้น

2.1 วงจรอุทกวิทยา(Hydrologic cycle)

วงจรอุทกวิทยาเป็นศูนย์รวมในการศึกษาอุทกวิทยา โดยวงจรอุทกวิทยาเป็นวงจรที่ไม่มีจุดเริ่มต้นและจุดสุดท้ายของกระบวนการเปลี่ยนแปลงของปริมาณน้ำในโลก เพราะมีการเปลี่ยนแปลงอย่างต่อเนื่องตลอดเวลา ซึ่งภาพรวมของวงจรอุทกวิทยาสามารถแสดงได้ดังรูปที่ 2.1



รูปที่ 2.1 แผนผังวงจรอุทกวิทยา

2.2 ฝน(Rain)

น้ำจากอากาศที่ตกลงมาจะเป็นข้อมูลคิบ (Input Data) ของระบบอุทกวิทยา การวิเคราะห์อุทกวิทยาใดๆ ก็ตาม จำเป็นจะต้องมีการเตรียมและ เรียบเรียงข้อมูลให้อยู่ในสภาพที่จะเป็นข้อมูลคิบ ของระบบนั้นได้ ข้อมูลน้ำจากอากาศอาจจะมีทั้งแบบการบันทึกที่เป็นระยะเวลาและข้อมูล เกาะพะพายหนึ่ง ถึงอย่างไรก็ตาม การวิเคราะห์ข้อมูลน้ำจากอากาศ ส่วนใหญ่จะพิจารณา เกาะพาระวิเคราะห์ข้อมูลที่เกี่ยวข้องกับพายุฝน โดยเฉพาะ ซึ่งจะไม่วรรณดึงการนำอนุกรมเวลาไปใช้ ในการวิเคราะห์ในการวิเคราะห์ข้อมูลแบบระยะเวลา ยกเว้นเฉพาะกรณีการใช้ double mass curve ในการตรวจสอบความเชื่อถือได้ ของข้อมูลเท่านั้น น้ำจากอากาศจะกล่าวถึงน้ำฝนเท่านั้น

2.2.1 การวิเคราะห์เฉพาะจุดหรือสถานี

ข้อมูลน้ำฝนในประเทศไทยส่วนใหญ่จะพิมพ์เป็นตารางข้อมูลรายวัน หน่วยราชการที่ทำการเก็บข้อมูลน้ำฝนหลาย ๆ สถานีทั่วประเทศก็คือ กรมอุตุนิยมวิทยา การพัฒนาแห่งชาติ กรมชลประทาน เป็นต้น สถานีวัดน้ำฝนจำนวนมากไม่สามารถเก็บข้อมูลติดต่อกันได้เป็นเวลานานๆ จะมีช่วงระยะเวลาหนึ่งที่ข้อมูลขาดหายไป ซึ่งอาจจะเนื่องมาจากหลายสาเหตุ เช่น เครื่องวัดชำรุดเสื่อม เก็บข้อมูล หรือล้มเลิกไปชั่วคราวหรือดาวร ด้วยเหตุนี้จึงจำเป็นจะต้องประมาณค่าข้อมูลที่หายไป นั้น การประมาณหาค่าของข้อมูลที่หายไปนั้นทำได้ 3 วิธี

- หาค่าเฉลี่ยของข้อมูลที่เกี่ยวข้องจากสถานีใกล้เคียงอย่างน้อย 3 สถานี
- หาค่าจากเส้นชั้นความลึกน้ำฝน(isohyets)
- หาค่าโดยวิธีสัดส่วนปกติ (normal-ratio-method)

วิธีสัดส่วนปกตินี้จะใช้ในการนีที่ข้อมูลน้ำฝนแตกต่างกันมากในแต่สถานี ซึ่งใช้ค่าเฉลี่ย ปริมาณน้ำฝนตลอดปี (normal annual rainfall) เป็นเกณฑ์การเปรียบเทียบ ถ้าค่าเฉลี่ยปริมาณน้ำฝนตลอดปีของสถานีใกล้เคียง 3 สถานีที่จะนำข้อมูลมาเฉลี่ยหาข้อมูลของสถานีที่ขาดหายไปนั้น แตกต่างกัน 10 % ของสถานีที่ข้อมูลหายไป ก็คำนวณหาข้อมูลที่หายไปด้วยการเฉลี่ยแบบ คณิตศาสตร์จาก 3 สถานีใกล้เคียงนั้น แต่ถ้าหากค่าเฉลี่ยของปริมาณน้ำฝนตลอดปีของสถานีทั้ง 3 ต่างกันกว่า 10 % จะใช้วิธีสัดส่วนปกติซึ่งข้อมูลน้ำฝนของสถานีใกล้เคียงที่เดียวกันมาใช้จะเนลี่ยโดยใช้ค่าส่วนของค่าเฉลี่ยของปริมาณน้ำฝนรายปีของสถานีที่ข้อมูลขาดหายไปกับสถานีใกล้เคียง

2.2.2 การตรวจสอบการเชื่อถือได้ของข้อมูล

การเปลี่ยนแปลงสถานีที่ตั้งเครื่องวัด สภาพแวดล้อม เครื่องวัดและวิธีการเก็บข้อมูลอาจทำให้ข้อมูลที่เก็บมาเปลี่ยนแปลงได้ โดยปกติแล้วการเปลี่ยนแปลงดังกล่าวจะไม่เปิดเผยหรือทราบได้ทันทีจากข้อมูลที่เก็บมาดังนั้นการที่จะนำข้อมูลในระยะเวลานานๆ ไปใช้จะต้องมีการตรวจสอบความเชื่อถือได้ (consistency) ของข้อมูลเหล่านี้นี่เสียก่อน วิธีที่นิยมใช้ในการตรวจสอบความเชื่อถือได้ของข้อมูลดังกล่าวคือ Double mass analysis เป็นวิธีตรวจสอบความเชื่อถือได้ของข้อมูลน้ำฝนโดยการเปรียบเทียบค่าสะสมของปริมาณน้ำฝนรายปีของสถานีที่จะตรวจสอบกับค่าสะสมที่เกี่ยวข้องของสถานีต่างๆ ที่ตั้งอยู่รอบๆ การเปรียบเทียบจะทำได้โดยพล็อตค่าสะสมของปริมาณน้ำฝนรายปีจากสถานีต่างๆ บนกราฟ หากข้อมูลเชื่อถือได้ กราฟที่พล็อตได้จะเป็นเส้นตรงมีความลาดเทเดียวตลอด

2.3 การวิเคราะห์การแจกแจงปริมาณน้ำฝนตามพื้นที่

ในการวิเคราะห์ประเภทนี้ ปริมาณน้ำฝนที่วัดทุกสถานีในพื้นที่ใดๆ จะนำมาวิเคราะห์รวมกันเพื่อคำนวณหาค่าเฉลี่ยของในที่ตกลงในพื้นที่นั้น เนื่องจากคำว่าเฉลี่ยคือ Average หรือ Mean ได้ใช้บ่อยครั้งในอุ�กาวิทยา ในกรณีความลึกเฉลี่ยของน้ำฝน จึงนิยมใช้คำว่า Equivalent Uniform depth หรือซึ่งบอว่า EUD และเรียกเป็นภาษาไทยว่า ความลึกสมำเสมอเทียบเท่า คำจำกัดความของความลึกสมำเสมอเทียบเท่าของน้ำฝนคือ ความลึกของน้ำซึ่งเกิดจากน้ำฝนหรือน้ำจากการอาศาที่สมมุติให้ตกลงสมำเสมอเทียบเท่าทั่วพื้นที่ที่ฝนตก คำว่า EUD นี้ Johnstone และ Cross ได้แนะนำให้ใช้นานกว่า 20 ปีแล้ว ความลึกสมำเสมอเทียบเท่านี้จะนำไปใช้คำนวณหาปริมาตรของน้ำฝนจากพื้นที่รับน้ำฝนซึ่งจะเป็นข้อมูลดินในระบบพื้นที่ลุ่มน้ำในการเปรียบเทียบกับปริมาตรของน้ำท่าจากลุ่มน้ำ การคำนวณความลึกสมำเสมอเทียบเท่าของน้ำฝนนั้น กระทำได้ 3 วิธีด้วยกัน

2.3.1 การเฉลี่ยตัวอย่างวิธีคณิตศาสตร์(Arithmetic average)

วิธีนี้เป็นวิธีที่ง่ายที่สุด วิธีการคือ เฉลี่ยปริมาณน้ำฝนด้วยการรวมปริมาณน้ำฝนทุกสถานีแล้วหารด้วยจำนวนสถานีวัดน้ำฝน ที่จะได้ค่าเฉลี่ยความลึกสมำเสมอเทียบเท่าตามต้องการ สถานีวัดน้ำฝนที่ใช้จะเป็นสถานีที่ตั้งอยู่ภายนอกในเส้นขอบเขตลุ่มน้ำเท่านั้น จะเห็นว่าวิธีนี้จะได้ผลลัพธ์ดังนี้ พื้นที่ลุ่มน้ำจะค่อนข้างรวมเรียบ สถานีวัดน้ำฝนติดตั้งกระชับระยะห่างที่ลุ่มน้ำและในแต่ละสถานีจะบันทึกปริมาณน้ำฝนไม่แตกต่างจากค่าเฉลี่ยมากนัก ปัจจัยดังของวิธีนี้อาจทำให้ลดน้อยลงได้ด้วยการนำเอาสภาพของภูมิประเทศมาพิจารณาในการเลือกที่ตั้งสถานีด้วย

2.3.2 วิธีเฉลี่ยธีอสเสน (Thiessen average)

วิธีนี้พยาบາມลดปัญหาความไม่สม่ำเสมอในการกระจายที่ตั้งของสถานีวัดน้ำฝนโดยคำนึงถึงขนาดของพื้นที่ซึ่งอยู่ภายนอกพื้นที่ที่ตั้งของสถานี ทำการกำหนดว่าสถานีใดจะครอบคลุมพื้นที่เท่าใดหรือมีอิทธิพลในพื้นที่เท่าใดนั้น ให้สร้างรูปสามเหลี่ยมธีอสเสน (Thiessen polygon) ล้อมรอบสถานีนั้นๆ เป็นขอบเขตไว้

หลักในการสร้างสามเหลี่ยมธีอสเสนก็คือ ลักษณะตรงแบ่งครึ่งและตั้งฉากกันเส้นเชื่อมระหว่าง 2 สถานีใกล้เคียงกัน เส้นเหล่านี้และในบางครั้งเส้นขอบเขตของลุ่มน้ำจะประกอบกันเป็นรูปสามเหลี่ยม จุดตัดของเส้นแบ่งครึ่งตั้งฉากคู่กันล่างคือ นูนของรูปสามเหลี่ยมนั้นเอง พื้นที่ของรูปสามเหลี่ยมนั้นจะแต่ละสถานีหารด้วยพื้นที่ของลุ่มน้ำทั้งหมดจะเป็นตัว weighting factor สำหรับแต่ละสถานีนั้น

จะเห็นว่าวิธีนี้มีหลักเกณฑ์คือการเกิดขึ้นแบบคณิตศาสตร์ซึ่งใช้กลักการเฉลี่ยโดยสมมุติว่าแต่ละสถานีมีความสำคัญเท่ากัน วิธีเฉลี่ยธีอสเสนหมายความว่าสำหรับพื้นที่ลุ่มน้ำขนาดใหญ่ ข้อที่จะทำให้ผลการคำนวนผิดพลาดได้ง่ายก็คือ สถานีที่คลุมพื้นที่มาก ถ้าค่าปริมาณน้ำฝนผิดพลาดก็จะทำให้ค่าเฉลี่ยคงคลาดเคลื่อนมากด้วย นอกจากนี้วิธีการนี้คำนึงถึงระบบทางระบายน้ำที่เป็นหลักการสร้างรูปสามเหลี่ยมโดยไม่คำนึงถึงสภาพภูมิประเทศแต่อย่างใด ดังนั้นหากพื้นที่ลุ่มน้ำมีลักษณะลุ่มน้ำ ตอนๆ หรือมีภูเขามาก จะทำให้การหาความลึกสนับสนุนเพื่อวัดเท่าผิดพลาดได้ง่าย ข้อเสียอีกประการหนึ่งของวิธีนี้ก็คือ จะต้องสร้างรูปสามเหลี่ยมใหม่ทุกครั้ง หากโครงสร้างหรือจำนวนสถานีลุ่มน้ำเปลี่ยนแปลงไป

2.3.3 วิธีเฉลี่ยด้วยเส้นชั้นน้ำฝน

วิธีนี้เป็นวิธีที่ค่อนข้างจะละเอียดถูกต้องในการคำนวนหาความลึกสม่ำเสมอเทียบเท่าของปริมาณน้ำฝน เพราะใช้เส้นชั้นน้ำฝนเป็นหลักซึ่งนับว่าแน่นอนและสมเหตุสมผลกว่าทั้ง 2 วิธีแรกที่กล่าวมาแล้ว เส้นชั้นน้ำฝนหรือ isohyets นั้นก็จะเส้นที่ลากผ่านบริเวณที่มีความลึกของน้ำฝนเท่ากัน โดยประมาณ ที่ตั้งของสถานีและปริมาณน้ำฝนที่สถานีวัดได้จะเป็นลงบนแผนที่ งานนี้ก็จะดำเนินการโดยคำนวณค่าเฉลี่ยของน้ำฝนในพื้นที่ที่ระบุว่างเส้นชั้นน้ำฝนซึ่งปกติแล้วก็คือ ค่าเฉลี่ยของความลึกเส้นชั้นน้ำฝนทั้งสองนั้นเอง คุณค่าเฉลี่ยความลึกของน้ำฝนด้วยพื้นที่ระบุว่างเส้นชั้นน้ำฝน และรวมกันให้ครบถ้วนเส้นชั้นน้ำฝน ความลึกสม่ำเสมอเทียบเท่าก็คือ ผู้รวมตั้งกล่าวหารด้วยพื้นที่ทั้งหมดของลุ่มน้ำนั้นเอง

สรุปแล้วจะเห็นว่าการคำนวณความลึกสม้ำฝนอเที่ยบเท่าของน้ำฝนคือวิธีเขียนเส้นชั้นน้ำฝนก่อนข้างจะยุ่งยาก แต่โดยหลักการแล้วจะเป็นวิธีที่ให้ผลเฉลี่ยถูกต้องมากที่สุด ข้อแนะนำสำหรับวิธีนี้คือ การทำแผนที่เส้นชั้นน้ำฝนควรจะนำเอาความรู้เกี่ยวกับลักษณะภูมิประเทศโดยเฉพาะอิทธิพลของภูเขาที่มีปริมาณน้ำฝนมาพิจารณาด้วย นอกจากนั้นยังต้องคำนึงถึงลักษณะของพายุฝนที่เกิดในลุ่มน้ำที่ศึกษาด้วย ความแม่นยำของวิธีนี้ขึ้นอยู่กับความชำนาญของผู้เขียนเส้นชั้นน้ำฝน ถ้าหากการเขียนเส้นชั้นน้ำฝนขึ้นอย่างเบื้องต้นแล้วพบว่าสัดส่วนโดยตรงแล้วผลของการคำนวณสม้ำฝนอเที่ยบเท่าจะไม่แตกต่างจากผลที่ได้จากการเขียนเส้นแต่อย่างใด สำหรับข้อดีอีกอันหนึ่งของวิธีนี้คือ สามารถหาความสัมพันธ์ระหว่างความลึกสม้ำฝนอเที่ยบเท่าพื้นที่ของลุ่มน้ำได้ ข้อเสียคือ ไม่ว่าโครงข่ายหรือจำนวนสถานีวัดน้ำฝนจะคงเดิมหรือเปลี่ยนแปลงกี่ตามจะต้องมีการเขียนเส้นชั้นน้ำฝนทุกรุ่งสำหรับแต่ละพายุฝนที่ศึกษา

2.4 การซึ่มลงดิน

การซึ่มลงดิน หมายถึง การเกลื่อนตัวของน้ำผ่านผิวดินลงสู่ชั้นดิน ปริมาณน้ำที่ซึ่มผ่านผิวดิน เป็นองค์ประกอบสำคัญส่วนหนึ่งในวัฏจักรของน้ำ โดยทั่วไปฝนที่ตกลงบนพื้นโลกส่วนใหญ่จะเคลื่อนเข้าไปได้ดีในบางส่วนอาจไหลผ่านผิวดินออกมายังรูปแบบต่างๆ บางส่วนจะเก็บสะสมเป็นความชื้นในดินหรือน้ำใต้ดิน การคาดหมายปริมาณและอัตราการซึ่มลงดินเป็นส่วนสำคัญในงานค้านอุทกวิทยา

อัตราการซึ่มลงดินวัดได้จากการสังเกตความสัมพันธ์ของน้ำฝนกับน้ำท่า เมื่อฝนตก น้ำบางส่วนจะเก็บกักตามพื้นผิว ก่อนที่จะไหลออกเป็นน้ำท่า หลังจากฝนหยุดตก น้ำส่วนนี้จะระบายออกจากผิวดินไปจนหมดแต่ในขณะเดียวกัน ปริมาณน้ำส่วนนี้จะซึ่งลงต่อเนื่องไปในดิน นอกจากนี้ยังมีปริมาณน้ำบางส่วนที่บุบบันตันไว้ ตันพืช และห้ามอยู่ตามหอุณหภูมิบางแห่ง ปริมาณน้ำที่สูญหายต่างๆเหล่านี้ จะต้องนำมาประกอบการคำนวณหาความสัมพันธ์ระหว่างน้ำฝนและน้ำท่าด้วย

2.4.1 การหาค่าอัตราการซึ่มลงดินโดยวิธี(SCS Curve Number)

2.3.1 การหาค่าอัตราการซึ่มลงดินโดยวิธี SCS Curve Number

ถูกออกแบบมาเพื่อใช้คำนวณปริมาณน้ำที่หล่อออกเนื่องจากการเปลี่ยนแปลงลักษณะการใช้ที่ดินและพิจารณาลักษณะของเนื้อดินเป็นหลัก โดยจะแบ่งพิจารณาปริมาณฝน (P) ที่ตกลงมาเป็นองค์ประกอบต่างๆ ได้แก่ปริมาณฝนส่วนเกิน ปริมาณการหล่อออก (Q) การสูญเสียริมแรก (Ia) และปริมาณการเก็บกัก (F)

หลักการพื้นฐานของวิธี SCS Curve Number พิจารณาความสัมพันธ์ของตัวแปรต่างๆ ในรูปของสมการ

$$\frac{F_a}{S} = \frac{Q}{P - I_a} \quad (2.1)$$

เมื่อ S คือปริมาณเก็บกักสูงสุด ไม่รวมค่าการสูญเสียเริ่มต้น

สมการที่ 2.1 สามารถประยุกต์ใช้ได้กับกรณีที่ปริมาณฝนมากกว่าการสูญเสียเริ่มแรก ($P > I_a$)
จากหลักการทรงมวลจะได้ว่า

$$F = P - Q - I_a \quad (2.2)$$

คำนวณ F ออกจากสมการ 2.1 และ 2.2 จะได้

$$Q = \frac{(P - I_a)^2}{(P - I_a) + S} \quad \text{เมื่อ } P > I_a \quad (2.3)$$

การสูญเสียเริ่มแรก I_a มีความสัมพันธ์กับปริมาณการเก็บกักสูงสุด S ตามสมการ

$$I_a = 0.2S \quad (2.4)$$

จากสมการที่ 2.3 และ 2.4 จะได้

$$P_c = \frac{(P - 0.2S)^2}{(P + 0.8S)} \quad (2.5)$$

จะสามารถหาการเก็บกักของน้ำในลุ่มน้ำได้ จากค่าเลขโකิง (Curve number: CN จากตารางภาคผนวก ค2)

$$S = \frac{1000}{CN} - 10 \quad \text{หน่วยฟุตและเก็บกักเป็นนิ้ว} \quad (2.6)$$

$$S = \frac{25400}{CN} - 254 \quad \text{หน่วยฟุตและเก็บกักเป็นมิลลิเมตร} \quad (2.7)$$

2.5 กราฟน้ำท่า

งานวิศวกรรมทางด้านอุทกวิทยาจะเกี่ยวกับการศึกษาน้ำท่าในสามลักษณะด้วยกัน คือ

1) ปริมาณการไหลรายเดือนหรือรายปี เพื่อศึกษาปริมาณน้ำในอ่างเก็บน้ำและการนำน้ำไปใช้

2) ปริมาณการไหลในช่วงน้ำ้อย (low flow) ซึ่งศึกษาเกี่ยวกับขีดจำกัดของการใช้น้ำในลำน้ำและ การบริหารจัดการในฤดูแล้ง

3) ปริมาณการไหลในช่วงน้ำ高涨 หรือน้ำท่วม (flood) เพื่อนำไปใช้ในการศึกษาเกี่ยวกับ การบรรเทาหรือป้องกันความเสียหายที่เกิดจากน้ำท่วมหรืออุทกภัย การศึกษาเกี่ยวกับการทำนาย หรือการเกิดน้ำท่วม และการศึกษาเกี่ยวกับการออกแบบขนาดของน้ำท่วมสำหรับอาคารชลศาสตร์ ต่างๆ ในบทนี้จะกล่าวถึงการวิเคราะห์กราฟน้ำท่า และการนำกราฟน้ำท่าไปใช้คำนวณปริมาณน้ำ หรือขนาดของน้ำท่วมสำหรับการออกแบบอาคารชลศาสตร์ต่างๆ

2.5.1 คุณลักษณะของกราฟน้ำท่า

กราฟน้ำท่า (hydrograph) คือกราฟที่แสดงการผันแปรของปริมาณน้ำหรือระดับน้ำตาม เวลาปริมาณน้ำดังกล่าวประกอบด้วยการไหลตามผิวดิน และน้ำใต้ดิน ที่ไหลเข้ามายังผิวดินออกสู่ แม่น้ำลำธาร กราฟน้ำท่าของอุ่มน้ำใด ๆ จะรวมและแสดงสภาพต่าง ๆ ของอุ่มน้ำเข้าไว้ด้วยกัน ดังนั้น ถ้าลักษณะประจำของอุ่มน้ำเปลี่ยนแปลงไป กราฟน้ำท่าก็จะเปลี่ยนแปลงไปด้วย

2.5.2 องค์ประกอบของกราฟน้ำท่า (Hydrograph components)

ปริมาณฝนหรือหยาดน้ำท่า (precipitation) เมื่อตกลงสู่พื้นดินที่ชุ่มชื้น ก็จะเกิดการสูญเสีย ในลักษณะต่าง ๆ คือการตัด (interception) ปริมาณน้ำขังตามหลุมบ่อ (depression storage) น้ำรอ การไหลตามผิวดิน (detention storage) การซึมลงดิน (infiltration) การระเหย (evaporation) และ การหายระเหย (evapotranspiration) ปริมาณน้ำฝนส่วนที่หักการสูญเสียต่าง ๆ ออกไปแล้ว เรียกว่า ปริมาณฝนส่วนเกิน (rainfall excess) จะเกิดการไหลออกเป็นน้ำท่าผิวดิน (surface flow หรือ surface runoff หรือ direct runoff) ไหลออกสู่ลำน้ำ (channel)

น้ำส่วนที่ไหลซึมลงดินผ่านชั้นดินต่าง ๆ จนกระทั่งถึงชั้นดินที่น้ำซึมผ่านได้ยากหรือชั้น ดินทึบน้ำ น้ำส่วนหนึ่งจะไหลไปตามความลาดชันดินจนกระทั่งบรรจบหรือไหลออกสู่แม่น้ำ ณ จุด ซึ่งอยู่ทางออกไปทางด้านท้ายน้ำจากบริเวณที่น้ำเริ่มไหลซึมลงดินมากพอสมควร ปริมาณน้ำส่วนนี้ เรียกว่า ปริมาณน้ำท่าไหลใต้ผิวดิน (interflow) ซึ่งมีลักษณะการไหลที่ช้ากว่าน้ำท่าบนผิวดินมาก น้ำฝนบางส่วนจะไหลซึมลึก (percolation) ตามแรงดึงดูดของโลกลงไปจนถึงระดับน้ำใต้ดินและ กลายเป็นส่วนหนึ่งของน้ำใต้ดิน ซึ่งมีโอกาสที่จะเคลื่อนตัวและไหลออกสู่ลำน้ำได้ ซึ่งปริมาณน้ำใน

ส่วนนี้ เรียกว่า น้ำใต้ดิน (ground water flow หรือ base flow หรือ dry weather flow) เป็นน้ำที่ตั้งต้นจากน้ำที่ตื้นๆ ซึ่งต้องใช้เวลานานกว่าจะไปปรากฏที่ผิวน้ำ และลักษณะการปรากฏที่ผิวน้ำ และลักษณะการปรากฏที่ผิวน้ำจะไม่ทำให้กราฟน้ำที่ขึ้นลงรวดเร็วแต่อย่างใด

ความแตกต่างขององค์ประกอบกราฟน้ำที่ตั้งต้น ดังกล่าวข้างต้น อาจสังเกตหรือแบ่งออกได้ยาก น้ำท่าอาจเริ่มไหลไปตามผิวดิน และซึมลงในดินโดยเป็นน้ำใต้ดินก่อนจะไหลออกสู่ผิวน้ำ ในทางตรงกันข้าม น้ำที่ไหลใต้ดินนานไปกับชั้นดินที่น้ำซึมผ่านได้ยาก อาจไหลออกผิวดิน กลายเป็นน้ำท่าที่ไหลบนผิวดิน ได้ด้วยกมีชั้นดินที่น้ำซึมผ่านได้ยากมาตัดกับผิวดิน การเกิดน้ำที่ไหลใต้ผิวดิน (interflow) และน้ำใต้ดิน (base flow) นั้นจะแตกต่างกันในด้านอัตราความเร็วของการเคลื่อนที่สู่ผิวน้ำ โดยน้ำที่ไหลใต้ดิน (interflow) จะเคลื่อนตัวสู่ผิวน้ำได้เร็วกว่า

เพื่อความสะดวก โดยที่ในปัจจุบันแบ่งปริมาณน้ำในผิวน้ำทั้งหมดออกเป็น 2 ส่วน คือ น้ำท่าผิวดิน (direct runoff หรือ surface runoff) และน้ำใต้ดิน (base flow) การแบ่งคังกล่าวจะพิจารณาเวลาที่น้ำไหลจากธารเริ่มต้นจนออกสู่ผิวน้ำเป็นองค์ประกอบที่สำคัญกว่าการพิจารณาทางเดินของน้ำ ปริมาณน้ำส่วนที่เป็น direct runoff หมายถึงน้ำท่าที่ไหลบนผิวดินทั้งหมดรวมกันน้ำที่ไหลใต้ดินที่เคลื่อนตัวสู่ผิวน้ำเร็วพอสมควร สำหรับ base flow ส่วนใหญ่จะหมายถึงน้ำใต้ดิน ที่มีอัตราการเคลื่อนตัวสู่ผิวน้ำช้ากว่าส่วนนั้นเอง

2.5.3 โถงการลดลงของน้ำใต้ดิน (Ground water recession)

กราฟน้ำท่าช่วงขาลงด้านท้าย ๆ เป็นการไหลที่มากจากน้ำใต้ดิน ในการวิเคราะห์เพื่อแยกปริมาณน้ำท่าผิวดินและปริมาณน้ำใต้ดิน ทำได้โดยศึกษาจากโถงการลดลงของน้ำใต้ดิน (groundwater recession หรือ depletion curve) ซึ่งแสดงอัตราการลดลงของ base flow โดยสมมุติว่า มีความสัมพันธ์แบบฟังก์ชัน exponential กับเวลาตามสมการ

$$q_t = q_o K^t \quad (2.8)$$

หรือ

$$q_t = q_o e^{-Kt} \quad (2.9)$$

เมื่อ q_o คืออัตราการไหลเริ่มต้นที่กำหนด

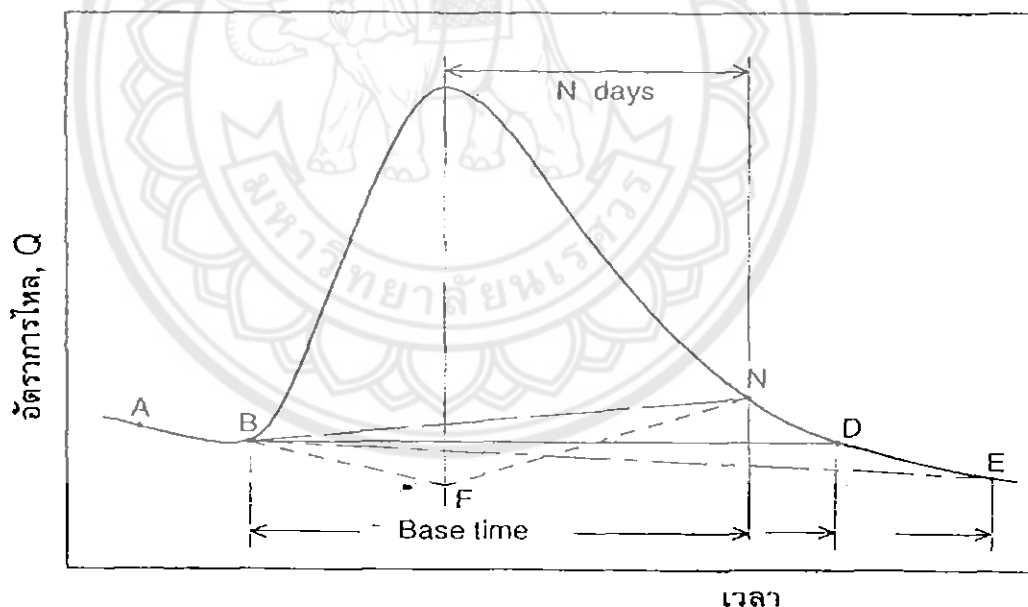
q_t คืออัตราการไหลเมื่อเวลา / หลังจากเกิดอัตราการไหล q_o

K คือค่าคงที่ของการลดลง (Recession constant)

หน่วยของเวลานิยมใช้หน่วยเป็น วัน แต่สำหรับลุ่มน้ำขนาดเล็ก อาจใช้หน่วยเวลาที่สั้นกว่าได้ (เป็นชั่วโมงหรือนาที) ค่าคงที่ K จะขึ้นอยู่กับเวลาที่ใช้

2.5.3.1 การแยกBaseflowออกจากปริมาณน้ำท่าห้หงหนดมือญี่คัวยกันคล้ายวิธี ซึ่งแต่ละวิธีอาจให้ผลการคำนวณที่แตกต่างกัน แต่ความคลาดเคลื่อนเนื่องจากผลการคำนวณปริมาณน้ำได้คืน (base flow) จะมีผลกระทบต่อปริมาณน้ำรวมไม่นักนัก โดยเฉพาะในช่วงเวลาที่มีฝนตกหนัก ซึ่งปริมาณน้ำในลำน้ำส่วนใหญ่จะมาจากการปริมาณน้ำท่าผิวดิน

2.5.3.2 direct runoff ที่เกิดจากพายุฝนถูกใจถูกหนั่งจะเริ่มเกิดขึ้นและสืบสุดลงในลำน้ำ การเริ่มนี้ direct runoff จะสังเกตได้จาก 1) สันโข้งการลดลงของ Grafน้ำท่า(หรือช่วงขนาดน้ำลงของ Grafน้ำท่า)จะเริ่มสูงขึ้นทันทีทันใด 2) ก่อนที่ Grafน้ำท่าจะเริ่มสูงขึ้นนี้ จะมีฝนตกหนักก่อนหน้านั้นแล้ว สำหรับเวลาที่ direct runoff ของพายุฝนได้สืบสุดลงนั้น สังเกตได้โดยการพลีอัตราท่าท่าช่วงขนาดน้ำลง(ข้อมูลช่วงท้าๆ)ในกระดาษ Grafกึ่งล็อก (semi-logarithmic paper) โดยให้อัตราการไหลอยู่ในสเกลล็อกและเวลาอยู่ในสเกลปกติ จากหลักความจริงที่ว่า base flow จะแสดงลักษณะ Grafเส้นตรงในกระดาษ Grafกึ่งล็อก ดังนั้น เวลาที่ โถึงของ Grafน้ำท่าเริ่มเบี่ยงเบนออกจากแนวเส้นตรง ก็คือเวลาที่ปริมาณการไหลอันเกิดจาก direct runoff สืบสุดลงโดยปริมาณ จุดหรือเวลาที่ direct runoff สืบสุดลงนี้มีความสำคัญและนำไปใช้ในการพิจารณาแยก base flow ออกจากปริมาณน้ำท่ารวม ซึ่งมีรายละเอียดของแต่ละวิธีดังต่อไปนี้



รูปที่ 2.2 วิธีแยกการไหลออกพื้นฐานจากชลภาพน้ำท่า

วิธีที่ 1 สมมุติว่าการไหลออกพื้นฐานมีค่าคงที่โดยการลากเส้นแนวโนนจากจุด B ไปตัดเส้นเชลภาพที่จุด D (BD) วิธีนี้หมายความว่าสำหรับลำน้ำในเขตแห้งแล้งมีน้ำไหลในลำน้ำเป็นบางเวลา ในช่วงที่มีฝนตกเท่านั้น ฝนที่ตกลงมาส่วนใหญ่จะถูกดูดซึมน้ำท่า วิธีนี้จะไม่เหมาะสมถ้าหากทำให้ได้ช่วงเวลาที่เกิดการไหลหลักโดยตรง (Base time) นานเกินไป

วิธีที่ 2 คล้ายกับวิธีที่ 1 โดยการลากเส้นตรงจากจุด B ไปตัดส่วนของเส้นชลภาพน้ำท่า ตรงช่วงที่เริ่มเข้าสู่แนวอน (BE) วิธีนี้ใช้ได้ดีและมีข้อจำกัดเช่นเดียวกับวิธีที่ 1

วิธีที่ 3 เป็นวิธีที่กำหนดช่วงเวลาที่เกิดการไหลหลักโดยตรงของการไหลออกโดยตรง โดยให้หยุดที่เวลา N วันหลังจากจุดสูงสุดของชลภาพ การแยกทำได้โดยลากเส้นตรงจากจุด B ให้มีความลาดเอียงตามเส้นการไหลออกพื้นฐาน ก่อนที่เกิดการไหลหลักไปตัดกับเส้นเวลาที่การไหลสูงสุด (BF) จากนั้nlากเส้นตรงจากจุด F ไปยังจุด N บนเส้นชลภาพที่เวลา N วัน หลังจากการไหลสูงสุด (FN) วิธีนี้เหมาะสมสำหรับลำน้ำในเขตต้อนร้อนซึ่งมีการไหลของน้ำท่าต่อคันเป็นๆและฝนส่วนที่ตกลงบนลุ่มน้ำจะซึมลงอัดเสริมน้ำได้ดีทำให้ปริมาณที่ไหลออกเป็นการไหลออกพื้นฐานมีมากขึ้น ค่าทั่วไปของ N สำหรับลำน้ำขนาดต่างๆสามารถคำนวณได้ดังนี้ (Linter, Kohler, Paulhus, 1975)

$$N = 0.84 A^{0.2} \quad (2.10)$$

โดยที่ A คือ ขนาดของพื้นที่รับน้ำมีหน่วยเป็นตารางกิโลเมตร

2.6 เอกชลภาพ(Unit Hydrograph)

ในปี 1932 Sherman ได้เสนอวิธีการหาชลภาพของการไหลหลักบนผิวดินออกจากพื้นที่รับน้ำ (direct runoff hydrograph) ที่เกิดจากฝนส่วนเกิน (excess rainfall หรือ effective rainfall) หนึ่งหน่วยซึ่งอาจจะเป็น เซนติเมตร หรือ เนว์ ที่ตกลอย่างสมำเสมอลงบนพื้นที่รับน้ำเป็นระยะเวลาหนึ่ง หลังจากนั้น วิธีการของ Sherman ก็เป็นที่นิยมใช้กันอย่างกว้างขวางและเรียกเก็บโดยทั่วไปว่าวิธีเอกชลภาพ (Unit hydrograph)

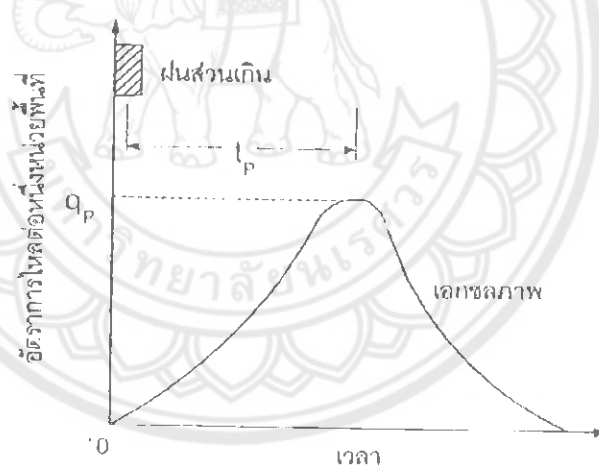
เอกชลภาพเป็นสเมื่อนคุณสมบัติรวมทางอุทกวิทยาของพื้นที่รับน้ำในการสนองตอบต่อฝนที่ตกลงบนพื้นที่รับน้ำเป็นระยะเวลาหนึ่ง (Duration) โดยการเปลี่ยนปริมาณฝนส่วนที่เหลือจากการสูญหายให้กลายเป็นการไหลหลักตามผิวดินออกจากพื้นที่รับน้ำ ระยะเวลาของเอกชลภาพ ซึ่งก็คือระยะเวลาของฝนส่วนเกินอาจจะเป็น นาที ชั่วโมง หรือวันทั้งนี้ขึ้นอยู่กับขนาดของพื้นที่รับน้ำ ชลภาพที่เกิดจากฝนหนึ่งหน่วย (UH) ซึ่งเป็นคุณสมบัติทางอุทกวิทยาของพื้นที่รับน้ำค้างกล่าวที่สามารถนำเสนอให้อยู่ในรูปกราฟหรือตารางค่าอัตราการไหลของเอกชลภาพที่เวลาต่างๆ หลักการและสมมุติฐานที่ใช้ในวิธีการเอกชลภาพ (Unit hydrograph) ดังนี้

1. ฝนส่วนเกินมีอัตราการตกคงที่ และตกหนาแน่นอย่างต่อเนื่องที่รับน้ำ
2. ช่วงเวลาของการเกิดน้ำในลอดอกโดยตรงที่เกิดจากฝนส่วนเกินระยะเวลานี้จะมีค่าคงที่ ถึงแม้ว่าการไหลลอดอกโดยตรงจะมีปริมาณแตกต่างกันตามสัดส่วนของอัตราการตกของฝนส่วนเกิน
3. ลักษณะของ Hydrograph ที่เกิดจากฝนส่วนเกินระยะเวลากลางๆ จะห้อนให้เห็นถึงคุณสมบัติของพื้นที่รับน้ำในส่วนที่ไม่เปลี่ยนแปลงในระยะสั้น
4. Hydrograph รวมที่เกิดจากฝนส่วนเกินที่มีระยะเวลาเท่ากันหลายถูก หาได้จากการรวมของ hydrograph ของพื้นที่เกิดจากฝนแต่ละถูก

2.7 การสังเคราะห์เอกสารภาพ

2.6.1 วิธีของ Snyder

Snyder ได้ศึกษาลุ่มน้ำหลายแห่งในบริเวณพื้นที่ราบสูงอัปป้าลาเซียน ซึ่งตั้งอยู่ทางด้านตะวันออกของสหรัฐอเมริกา โดยข้อมูลที่ศึกษานี้มีขนาดพื้นที่ลุ่มน้ำอยู่ในช่วง 30 ถึง 30000 ตารางกิโลเมตร ผลการศึกษาพบว่าสำหรับลุ่มน้ำใดๆ จะมีเอกสารภาพพนมารฐานคั่งรูปที่ 2.4



รูปที่ 2.3 เอกสารภาพพนมารฐานของลุ่มน้ำ

เอกสารภาพพนมารฐานหมายถึง เอกสารภาพที่มีช่วงเวลาฝนตก t , สัมพันธ์กับเวลาในการเกิดอัตราการไหลสูงสุดนับจากกึ่งกลางของช่วงเวลาฝนตก ดังสมการ

$$t_p = 5.5t, \quad (2.11)$$

สำหรับเอกสารภาพมาตรฐาน Snyder บังหน่วย

$$t_p = C_1 C_t (LL_c)^{0.3} \quad (2.12)$$

โดยที่ t_p คือ เวลาในการเกิดอัตราการไฟลุกสูดูน้ำจากกึ่งกลางของช่วงเวลาที่ฟันตก (ชั่วโมง)

C_t คือ ค่าคงที่เท่ากับ 0.75 สำหรับหน่วยเมตริก

C_1 คือ สัมประสิทธิ์ของพื้นที่ซึ่งหาได้จากข้อมูลลุ่มน้ำที่มีการวัดสภาพทางอุตุกวิทยาที่มีลักษณะคล้ายคลึงกันมีค่า 0.4-8.0 ขึ้นอยู่กับลักษณะของพื้นที่คุ่มน้ำนั้นๆ

L คือ ความยาวลำน้ำหลัก วัดจากจุดออกหรือจุดที่ต้องการหาเอกสารภาพของคุ่มน้ำถึงจุดสันปีน้ำทางด้านเหนือน้ำ (กิโลเมตร)

L_c คือ ความยาวของลำน้ำ วัดจากจุดออกถึงจุดที่อยู่ใกล้กุดศูนย์ต่อของคุ่มน้ำ (กิโลเมตร)

อัตราการไฟลุกสูดต่อหนึ่งหน่วยพื้นที่ลุ่มน้ำ q_p สามารถหาได้จาก

$$q_p = \frac{C_2 C_p}{t_p} \quad (2.13)$$

โดยที่ q_p คือ อัตราการไฟลุกสูดต่อหนึ่งหน่วยพื้นที่ลุ่มน้ำ (ลบ.ม./วินาที)

C_2 คือ ค่าคงที่เท่ากับ 2.75 สำหรับหน่วยเมตริก

C_p คือ สัมประสิทธิ์เกี่ยวกับอัตราการไฟลุกของคุ่มน้ำ หาได้จากข้อมูลคุ่มน้ำ สปส. มีค่า 0.56 - 0.69

เมื่อกำหนดให้พื้นที่ลุ่มน้ำมีขนาด A จะสามารถหาอัตราการไฟลุกสูดได้จาก

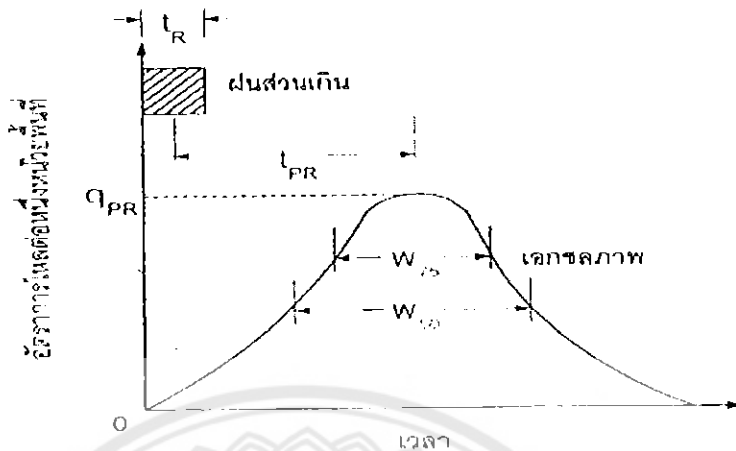
$$Q_p = q_p A \quad (2.14)$$

แทนค่า q_p จากสมการที่ 2.12 ในสมการที่ 2.13 จะได้

$$Q_p = \frac{C_2 C_p}{t_p} \quad (2.15)$$

โดยที่ A คือพื้นที่คุ่มน้ำ (ตารางกิโลเมตร)

ปัญหาในการคำนวณเอกซลอกภาพตามวิธีของ Snyder นั้น มักพบอยู่ 2 เรื่องคือการหาค่าสัมประสิทธิ์ C_i และ C_p และการหาเอกซลอกภาพของลุ่มน้ำที่ต้องการ ($t_{pr} \neq 5.5 t_p$) ดังรูปที่ 2.5



รูปที่ 2.4 เอกซลอกภาพที่ต้องการ ($t_{pr} \neq 5.5 t_p$)

การหาค่าสัมประสิทธิ์ C_i และ C_p มีวัตถุประสงค์เพื่อนำไปเป็นตัวแปรในการคำนวณเอกซลอกภาพของลุ่มน้ำที่ต้องการ โดยอาศัยข้อมูลที่จำเป็นก็อ

1) คุณลักษณะของลุ่มน้ำ จะต้องวัดความยาว L และ L_c และพื้นที่ลุ่มน้ำ A จากแผนที่ภูมิประเทศ

2) ช่วงเวลาที่ฝนตก t_p และเวลาจากจุดศูนย์ถ่วงของช่วงเวลาที่เกิดฝนตกถึงเวลาที่เกิดอัตราไหลสูงสุดของเอกซลอกภาพของลุ่มน้ำ.

อัตราการไหลสูงสุดของเอกซลอกภาพของลุ่มน้ำ Q_{pr}

สำหรับลุ่มน้ำที่มีการวัดข้อมูลที่กล่าวมาแล้ว หรือลุ่มน้ำที่ไม่มีการวัดข้อมูล ก็ต้องอาศัยข้อมูลจากลุ่มน้ำข้างเคียงหรือลุ่มน้ำที่มีสภาพภูมิประเทศและสภาพทางอุทกวิทยาใกล้เคียงกันเป็นตัวแทนลุ่มน้ำที่ไม่มีการวัดข้อมูล สามารถคำนวณหาค่าสัมประสิทธิ์ C_i และ C_p ได้ ซึ่งจะต้องตรวจสอบว่า $t_{pr} \neq 5.5 t_p$ หรือไม่ โดยแบ่งเป็น 2 กรณี ก็อ

กรณีที่ 1 ถ้า $t_{pr} = 5.5 t_p$ แสดงว่าเป็นลุ่มน้ำที่มีเอกซลอกภาพมาตรฐาน จึงกำหนดให้ $t_{pr} = t_p$ และ $Q_{pr} = Q_p$ ดังนั้น

จะได้

$$C_i = \frac{t_p}{C_i (L L_c)^{0.3}} \quad (2.16)$$

และ

$$C_p = \frac{Q_p t_p}{C_2 A} \quad (2.17)$$

กรณีที่ 2 ถ้า $t_p \neq 5.5 t_r$ แสดงว่าเป็นเอกชลภาพใดๆ จะมีเวลาเหลืออุ่มน้ำมาตรฐาน t_p ก็อ

$$t_p = t_{pr} + \frac{t_r - t_R}{4} \quad (2.18)$$

แตะ $t_p = 5.5t_r \quad (2.19)$

จากสมการที่ 2.17 และ สมการที่ 2.18 มีข้อมูลที่รู้ค่าคือ t_{pr} และ t_R ดังนั้นจะเหลือตัวแปรที่ไม่รู้ค่า 2 ตัวคือ t_p และ t_r ซึ่งจากสมการทั้งสองทำให้สามารถแก้สมการหาค่า t_p และ t_r ได้ จากนั้นจะสามารถหาค่าสัมประสิทธิ์ C_t และ C_p ได้

การหาเอกชลภาพของอุ่มน้ำที่ต้องการ จะต้องอาศัยข้อมูลที่จำเป็นคือ

คุณลักษณะของอุ่มน้ำ จะต้องวัดความยาว L ความยาว Lc และพื้นที่อุ่มน้ำ A

ช่วงเวลาที่ฝนตก t_R

ค่าสัมประสิทธิ์ C_t และ C_p

ความสัมพันธ์ระหว่าง q_p และ q_{pr} ($t_p \neq 5.5 t_r$) แสดงเป็นสมการได้ดังนี้

$$q_p = \frac{q_{pr} t_p}{t_{pr}} \quad (2.20)$$

เวลาที่ฐาน t_b ของเอกชลภาพที่ต้องการ สามารถหาได้จากหลักการที่ว่าพื้นที่ใต้เส้นเอกชลภาพมีค่าเท่ากับความลึกของน้ำใน 1 ชน. ซึ่งจากการวิเคราะห์ของ Snyder จะสมนติว่าเอกชลภาพมีรูปร่างสามเหลี่ยม ดังนั้นจะได้

$$t_b = \frac{C_s}{q_{pr}} \quad (2.21)$$

เมื่อ t_b คือ เวลาที่ฐานของเอกชลภาพ (ชั่วโมง)

C_s คือค่าคงที่มีค่าเท่ากับ 5.56 สำหรับหน่วยเมตริก

ความกว้างของเอกซ์คลาฟที่อัตราการไหลต่อหน่วยพื้นที่ไดๆ ก็จะเป็นเปอร์เซ็นต์ของอัตราการไหลสูงสุดต่อหนึ่งหน่วยพื้นที่ หาได้จาก

$$W = C_w q_{pr}^{-1.08} \quad (2.22)$$

เมื่อ W คือ ความกว้างของเอกซ์คลาฟ (ชั่วโมง)

C_w คือ ค่าคงที่ขึ้นอยู่กับตำแหน่งที่พิจารณาความกว้างของเอกซ์คลาฟ ดังตารางที่ 2.5

ตารางที่ 2.1 ค่าคงที่ในสมการความกว้างของเอกซ์คลาฟ

ความกว้างของเอกซ์คลาฟ W (ชั่วโมง)	ค่าคงที่ C_w (หน่วยเมตริก)
W_{50}	4.42
W_{75}	2.14

หมายเหตุ W_{50} คือ ความกว้างของเอกซ์คลาฟที่อัตราการไหล 50 % ของ q_{pr} และ W_{75} คือ ความกว้างของเอกซ์คลาฟที่อัตราการไหล 75 % ของ q_{pr}

2.6.2 การสร้างเอกซ์คลาฟของพื้นที่ลุ่มน้ำเหนือฝายปัว โดยประยุกต์ใช้วิธีของ Snyder

การสร้างเอกซ์คลาฟโดยประยุกต์วิธีของ Snyder โดย นายชัยฤทธิ์ วัฒนาการ (นักอุทกฯ 6 ว) อาศัยหลักการคือ ในการสร้างเอกซ์คลาฟพื้นที่ที่จำเป็นต้องใช้ข้อมูลกราฟน้ำท่าที่ได้จากการวัดจริงในสถานะ แต่บางครั้ง มีความจำเป็นต้องหารือวิธีสร้างกราฟหนึ่งหน่วยน้ำท่าสำหรับลุ่มน้ำที่ไม่มีการวัดข้อมูลน้ำท่า หลักการง่ายๆ คือ พยายามหาสูตรเพื่อกำนัณเวลาที่เกิดปริมาณการไหลสูงสุดยอด (Peak Flow) และฐานเวลา (Time Base) ของกราฟหนึ่งหน่วยน้ำท่า หลังจากนั้นจึงสเกตกราฟ โดยควบคุมให้พื้นที่ได้กราฟมีขนาด 1 หน่วย เหนือมีหน่วยเป็น 1 เซนติเมตร หรือ 1 นิว

จากนั้นทำการวัดหาค่าพารามิเตอร์ของลุ่มน้ำ ได้แก่ พื้นที่ลุ่มน้ำ (A) ความยาวลุ่มน้ำ (L) ความยาวตามลุ่มน้ำจากจุดที่ตั้งสถานีถึงจุดใกล้จุดศูนย์ถ่วงของลุ่มน้ำมากที่สุด (LC) และความลาดชันเฉลี่ยของลุ่มน้ำ (S) และนำค่าที่คำนวณได้มาหาความสัมพันธ์ดังนี้

$$(T_p) = a (LL_c / S^{0.5})^b \quad (2.23)$$

โดยที่ T_p คือ เวลาการเกิดปริมาณการไหลสูงสุด มีหน่วยเป็นชั่วโมง

a และ b คือ ค่าสัมประสิทธิ์ Regression

L คือความยาวตามลำน้ำสายใหญ่จากจุดออกหรือที่ตั้งสถานีวัดน้ำไปจนถึงจุดไกลสุคนธ์ สันปันน้ำ มีหน่วยเป็นกิโลเมตร

L_c คือความยาวตามลำน้ำสายใหญ่จากจุดออกหรือที่ตั้งสถานีวัดน้ำไปจนถึงบนลำน้ำที่ใกล้กับจุดศูนย์กลางของลุ่มน้ำมากที่สุด มีหน่วยเป็นกิโลเมตร

S คือความลาดชันเฉลี่ยของลำน้ำ

2.8. อุทกวิทยาการไหลทางในลำน้ำ (Hydrologic River Routing)

จากหลักภาพของน้ำไหลทางจากจุดวัดน้ำทางด้านน้ำในแม่น้ำหนึ่ง ไปยังอีกจุดหนึ่ง ด้านท้ายน้ำนั้น ได้ถูกพัฒนาขึ้นโดย Graeff ในปี ค.ศ. 1883 ซึ่งเทคนิคนี้อาศัยพื้นฐานมาจากการประยุกต์หาความเร็วคลื่นและโถงของการไหลออก ซึ่งในทางอุทกวิทยาของการไหลทางในแม่น้ำ แสดงได้โดยใช้สมการของการไหลต่อเนื่อง (Chow et al., 1988) ดังนี้

$$I - O = \frac{ds}{dt} \quad (2.24)$$

เมื่อ I คือ อัตราการไหลเข้าสู่ลำน้ำที่จุดวัดน้ำด้านล่างน้ำ (ปริมาตรต่อหน่วยเวลา)

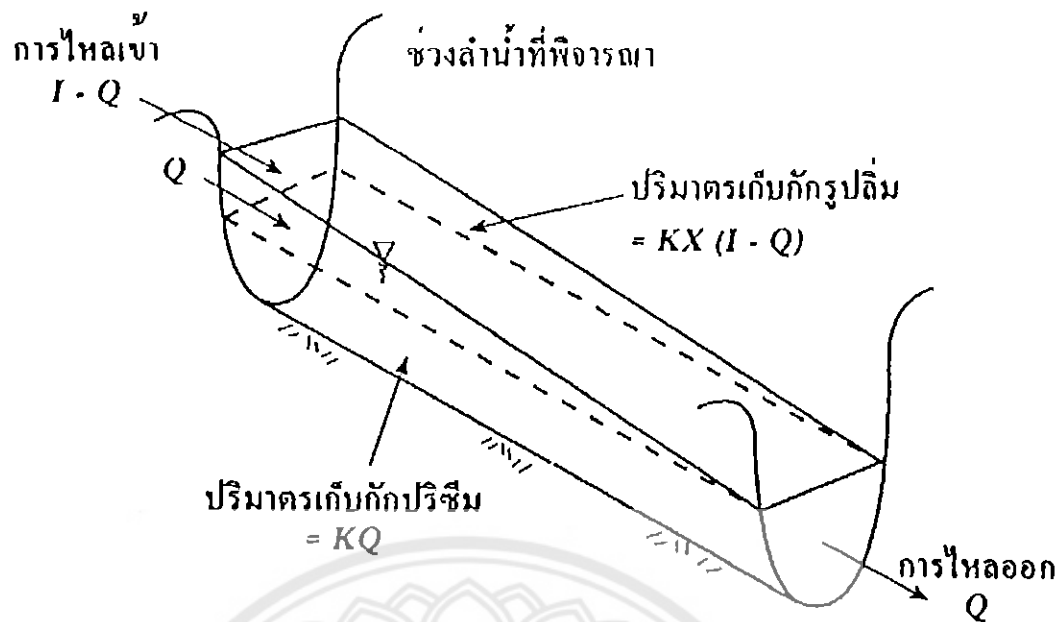
O การไหลออกจากลำน้ำที่จุดวัดน้ำด้านท้ายน้ำ (ปริมาตรต่อหน่วยเวลา)

$\frac{ds}{dt}$ เปอร์เซนต์เปลี่ยนแปลงของปริมาตรน้ำที่กักเก็บในลำน้ำแต่ละตอนเวลาที่พิจารณา

ซึ่งโดยทั่วไป ในการแก้ไขปัญหาทางอุทกวิทยาของสมการการไหลทางในลำน้ำดังกล่าว แล้วข้างต้น สามารถอธิบายได้ด้วยวิธีการสากระนิยม ดังต่อไปนี้

2.7.1 วิธีของมัสกิงคัม(Muskingum method)

ปริมาตรการกักเก็บน้ำภายในลำน้ำหรือในอ่างเก็บน้ำ จะพิจารณาจากรูปลิ่มหรือปริซึมของการไหลในลำน้ำดังรูป ซึ่งจะสามารถออกแบบโดยข้อตราชาร์การไหลเข้า(Inflow) และอัตราการไหลออก (Outflow) ภายในที่กักเก็บโดยการคิดที่หน้าตัดใดหน้าตัดหนึ่ง



รูปที่ 2.5 ลักษณะการไหลทางและ การเก็บกักในลำน้ำแบบรูปถี่นหรือปริซึม
ซึ่งสมการการกักเก็บภายในเขื่อนแสดงได้ดังสมการปริมาตรของการเก็บกักในลำน้ำ ดังนี้

$$S = \frac{b}{a} \left[XI^{\frac{m}{n}} + (1-X)O^{\frac{m}{n}} \right] \quad (2.25)$$

ค่าคงที่ a และ n แสดงถึงสถานะของการระบายน้ำภายในภาคตัดซึ่งควบคุมไว้แล้ว ส่วน b และ m แสดงถึงสถานะของปริมาณน้ำของภาคตัดซึ่ง ค่า X แสดงถึงค่าน้ำหนักสัมพัทธ์ในสภาวะสมดุล ที่หาได้จากภาพของกราฟอัตราการไหลเข้าสู่ลำน้ำ และ ไหลออกจาвлำน้ำ (Chow et al., 1988)

วิธีของ Muskingum ให้สมมติให้ $\frac{m}{n} = 1$ และ $\frac{b}{a} = K$ ดังนั้นสมการของการเก็บกักจะเป็น

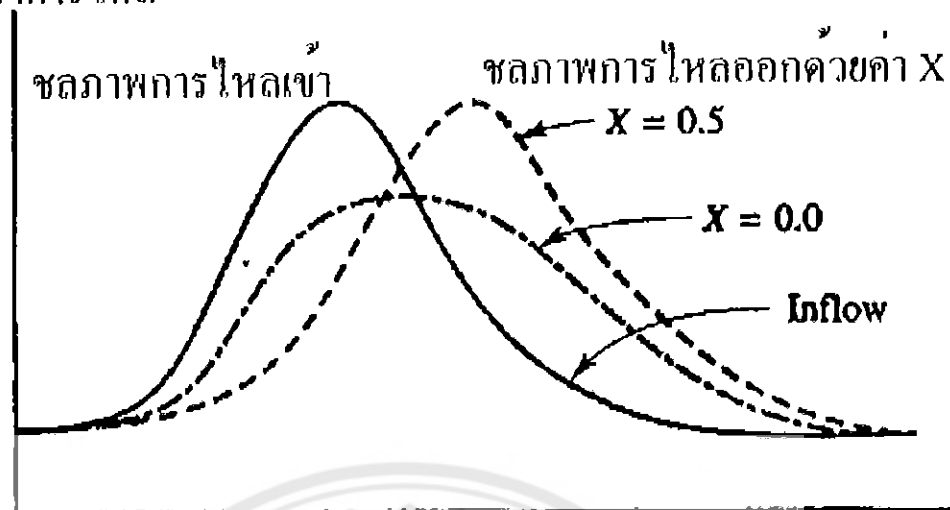
$$S = K[XI + (1-X)O] \quad (2.26)$$

เมื่อ K คือ ค่าคงที่ของเวลาในการเก็บในลำน้ำ มีหน่วยเป็นเวลา

X คือ ค่าของน้ำหนักถ่วงมีค่าระหว่าง 0 และ 0.5 (ในลำน้ำทั่วไปนิยมใช้ค่า 0.2)

พฤติกรรมของคลื่นน้ำท่วมที่มีค่า X ต่างๆ กันจะบอกถึงการเปลี่ยนแปลงอัตราการไหลเข้า หรือ ไหลออกแสดงได้ดังรูปที่ 2.7 เช่น กรณีถ้า $X=0$ ปริมาตรการเก็บกักของน้ำในลำน้ำจะขึ้นอยู่กับ อัตราการไหลออกที่ปลายลำน้ำเท่านั้น ในทางตรงข้ามถ้า $X=0.5$ ปริมาตรการเก็บกักของน้ำในลำน้ำ นั้น ก็จะเป็นการเฉลี่ยค่าระหว่างอัตราการไหลเข้าที่ต้นน้ำและ ไหลออกที่ปลายน้ำอย่างเท่าๆ กัน

อัตราการไหล



เวลา

รูปที่ 2.6 แสดงชลภาน้ำหลักไหลออก ด้วยค่า $X=0$ และ 0.5 เทียบกับชลภาน้ำไหลเข้า

บทที่ 3

วิธีดำเนินโครงการ

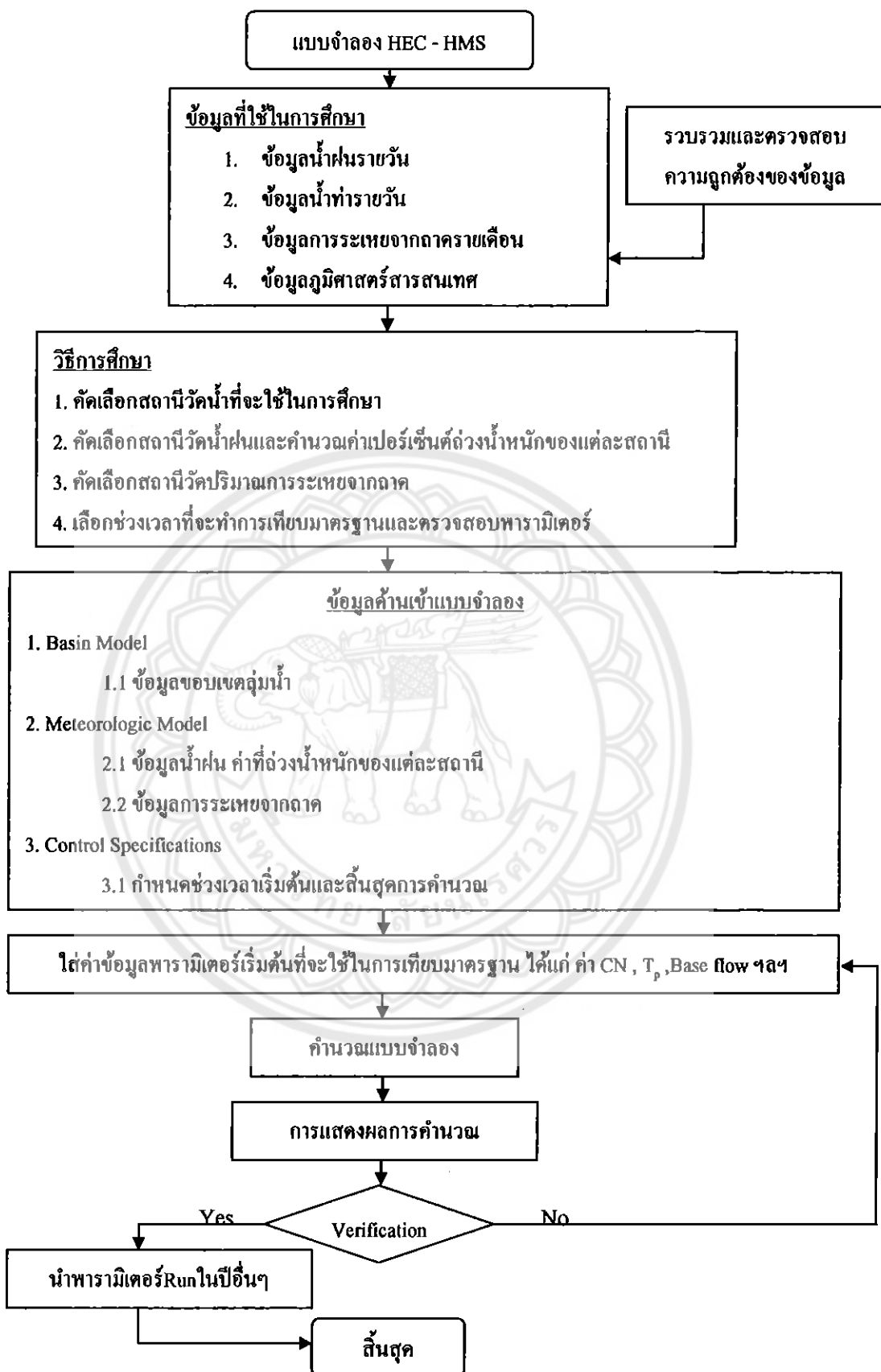
3.1 อุปกรณ์

1. เครื่องไมโครคอมพิวเตอร์ CPU Pentium และเครื่องพิมพ์ 1 ชุด
2. โปรแกรมระบบปฏิบัติการคอมพิวเตอร์ Microsoft Windows XP
3. โปรแกรมแบบจำลองคณิตศาสตร์ HEC-HMS Version 3.5
4. ข้อมูล GIS ของพื้นที่อุ่มน้ำในเขตอุ่มน้ำน่าน
5. โปรแกรมคอมพิวเตอร์ Quantum GIS (1.6.0)
6. โปรแกรมคอมพิวเตอร์ Ms Office
7. ข้อมูล อุตุ-อุทกวิทยา และข้อมูลคณิตศาสตร์ของอุ่มน้ำน่าน

3.2 ขั้นตอนการปฏิบัติการ

การศึกษาสภาพอุตุกวิทยาของอุ่มน้ำ โดยใช้แบบจำลองคณิตศาสตร์ HEC-HMS ตามแผนผังที่แสดงในรูปที่ 3.1 ประกอบด้วยวิธีการศึกษา 4 ขั้นตอน คือ

1. รวบรวมและวิเคราะห์ข้อมูล
2. ทำการสอนเทียบและตรวจสอบแบบจำลอง
3. เสนอผลที่ได้และวิจารณ์
4. สรุปและข้อเสนอแนะ



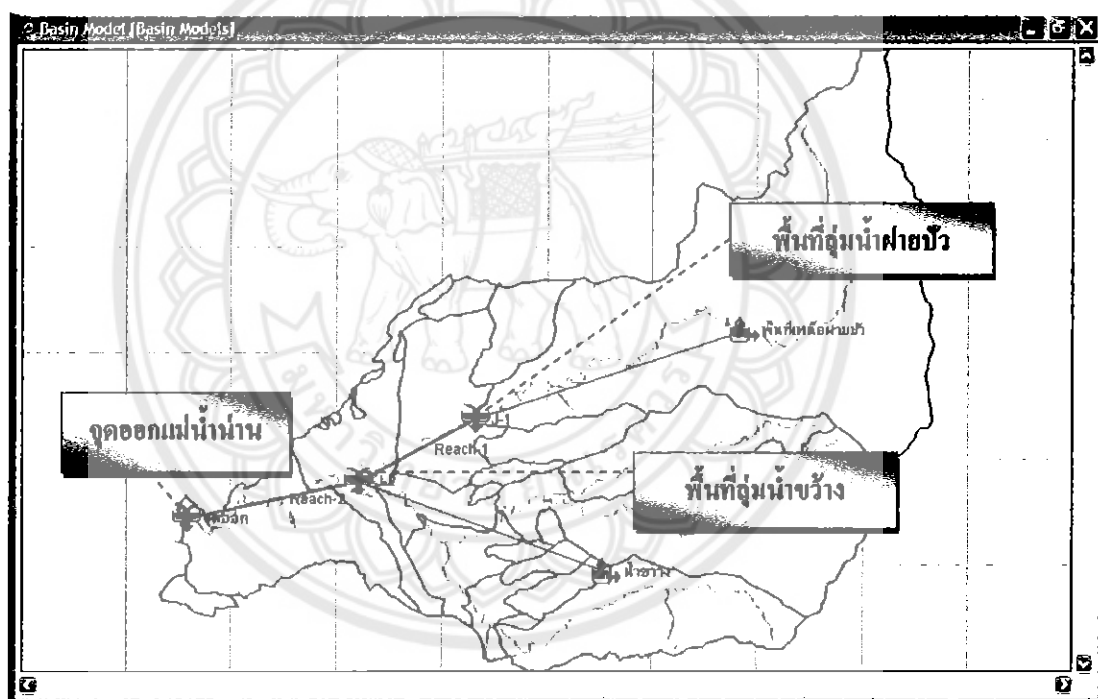
รูปที่ 3.1 แผนผังวิธีการศึกษาสภาพอุทกภัยของลั่มน้ำน่านโดยแบบจำลองคอมพิวเตอร์

3.3 การรวบรวมข้อมูล

การรวบรวมข้อมูลที่ใช้ในการวิเคราะห์สามารถแบ่งออกเป็นข้อมูลลักษณะภูมิประเทศ (Topography), ข้อมูลน้ำฝนรายวัน (Dairy Rainfall Data), ข้อมูลน้ำท่ารายวัน (Dairy Runoff Data), ข้อมูลสารสนเทศภูมิศาสตร์ (GIS) ชั้นต่าง ๆ, ข้อมูลการวิเคราะห์หมายเลขโถงน้ำท่า (CN), ข้อมูลสถิติภูมิอากาศ (Climatologically), ข้อมูลปริมาณน้ำไหลเข้า เพื่อเป็นข้อมูลด้านเข้า (Input Data) ของแบบจำลองคอมพิวเตอร์ HEC-HMS

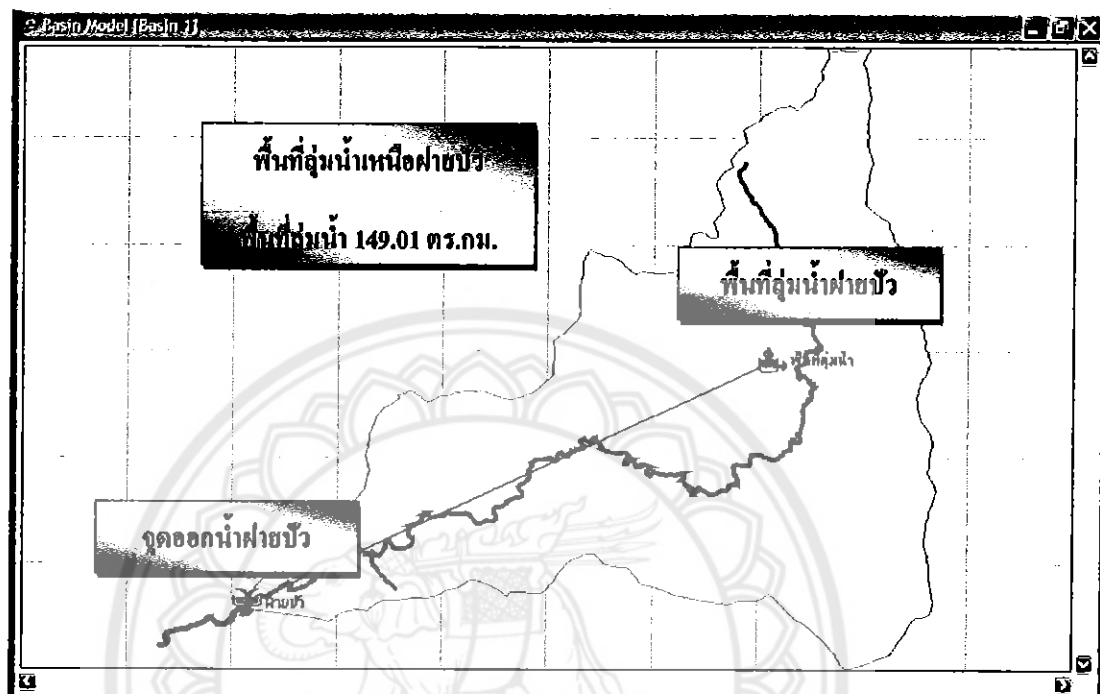
3.3.1 ข้อมูลลักษณะภูมิประเทศ (Topography Data)

ข้อมูลลักษณะภูมิประเทศทางกายภาพของสภาพพื้นที่คุ่มน้ำอ.ปัว แบ่งพื้นที่รับน้ำออกเป็น ลุ่มน้ำย่อยต่าง ๆ จำนวน 3 พื้นที่คุ่มน้ำย่อย ข้อมูลทางกายภาพของพื้นที่คุ่มน้ำย่อยประกอบด้วย



รูปที่ 3.2 ที่ตั้งของพื้นที่คุ่มน้ำและจุดทดสอบแบบจำลอง

3.3.1.1 ข้อมูลพื้นที่รับน้ำฝนของคุณน้ำย้อยที่ทำการทดสอบเลือกใช้พื้นที่คุณน้ำหนึ่งฟายปัว คำบลสถาน อำเภอปัว จังหวัดน่าน ใช้ในการสอนเที่ยบค่าพารามิเตอร์ โดยมีขนาดพื้นที่รับน้ำฝน 149.01 ตารางกิโลเมตร



รูปที่ 3.3 พื้นที่คุณน้ำย้อยฟายปัว

155116/6

ก/5.

3.3.1.2 รายละเอียดการแบ่งพื้นที่ในแต่ละคุณน้ำย้อยน้ำพิจารณาอำเภอที่มีขอบเขตอยู่ ที่ 843/ฯ ในพื้นที่แต่ละคุณน้ำย้อย เพื่อมาเฉลี่ยรายอ่างให้เป็นค่าเริ่มนันท์ของค่าหมายเลข โถงน้ำท่า(CN)

2553

3.3.2 ข้อมูลน้ำฝน (Rainfall Data)

การรวบรวมข้อมูลสถิติน้ำฝน ที่ใช้ในการวิเคราะห์ ซึ่งแบบจำลอง HEC-HMSสามารถนำเข้าข้อมูลน้ำฝนที่มีความละเอียดของข้อมูลตั้งแต่รายนาทีจนถึงรายหนึ่งวัน ในการศึกษาครั้งนี้ ใช้ข้อมูลน้ำฝนรายวันจากสถานีวัดน้ำฝนของกรมชลประทาน จำนวน 1 สถานี คือ สถานีวัดน้ำฝนอุทาณฯภูคา และ กรมทรัพยากรน้ำจำนวน 1 สถานี คือ สถานีวัดน้ำฝนบ้านนาฝาง ที่ครอบคลุมพื้นที่คุณน้ำอำเภอปัว นิช่วงของข้อมูลเดือนธันวาคม พ.ศ. 2551 โดยกำหนดรหัสแทนชื่อสถานีวัดน้ำฝนประกอบด้วยตัวเลข 5 ตัว เลขหลักหนึ่งและหลักพัน หมายถึงชื่อจังหวัด เลขหลักร้อย และหลักสิบ หมายถึง ชื่อสถานีวัดน้ำฝน เลขหลักหน่วย หมายถึง ชื่อหน่วยงานเจ้าของสถานีโดยแบ่งเป็น 2 กรณี คือ

3.3.2.1 ใช้ข้อมูลน้ำฝนของสถานีวัดน้ำฝนอุทัยนาฯ ภาครอบคุณพื้นที่ทั้งหมดของอุ่มน้ำเหนือฝ่ายป้า

3.3.2.2 ใช้ข้อมูลน้ำฝนเป็นค่าที่ถ่วงน้ำหนักของ สถานีวัดน้ำฝนอุทัยนาฯ ภาคตะวันออกและสถานีวัดน้ำฝนบ้านนาฝางรอบคุณพื้นที่ทั้งหมดของอุ่มน้ำเหนือฝ่ายป้า

ตารางที่ 3.1 แสดงที่ตั้งตำแหน่งของสถานีวัดน้ำฝนที่ใช้ในการศึกษาปี 2551

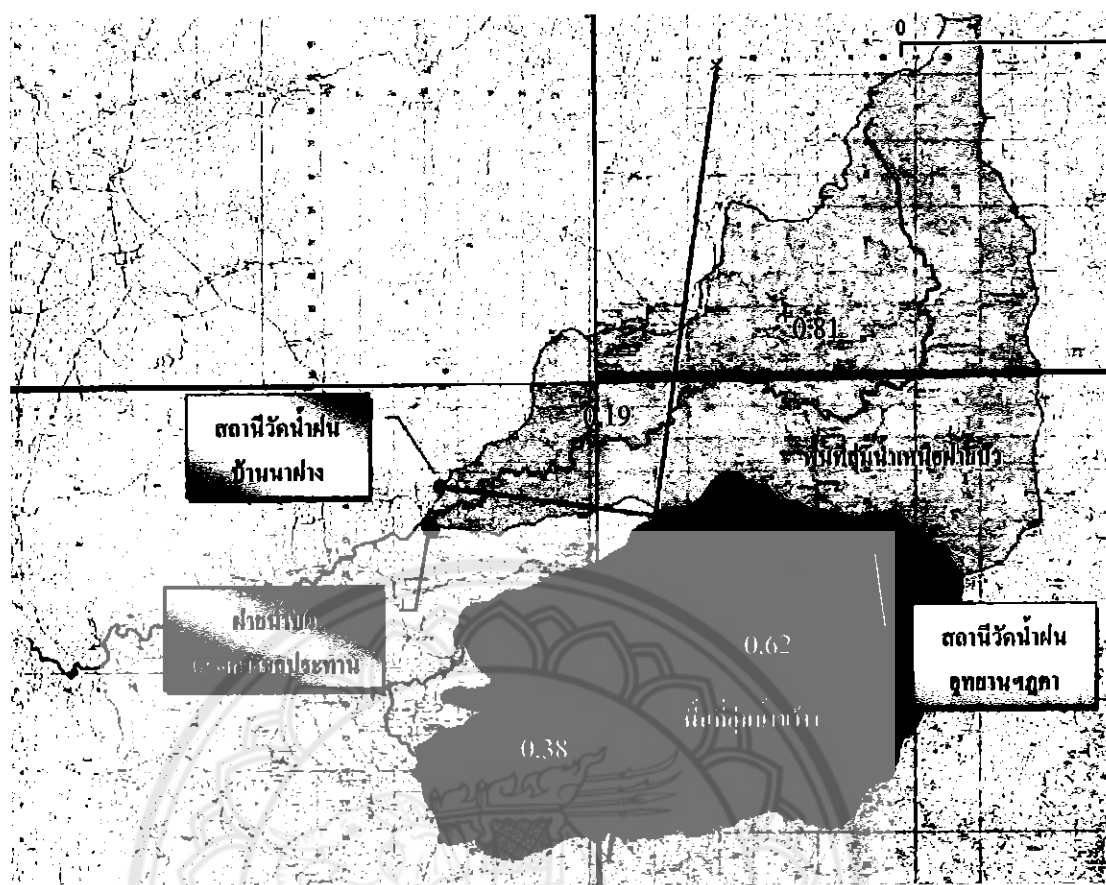
รหัส สถานี	ที่ตั้ง		ตำแหน่ง		ผ่านตลอดปี (มม.)
	ชื่อสถานี	จังหวัด	Latitude	Longitude	
28164	อุทัยนาแห่งชาติคอยภูคา	น่าน	19 12 17	101 04 52	2797.8

ที่มา: กรมชลประทาน

ตารางที่ 3.2 แสดงที่ตั้งตำแหน่งของสถานีวัดน้ำฝนที่ใช้ในการศึกษาปี 2551

รหัส สถานี	ที่ตั้ง		ตำแหน่ง		ผ่านตลอดปี (มม.)
	ชื่อสถานี	จังหวัด	Latitude	Longitude	
090201	บ้านนาฝาง	น่าน	19 13 20	100 57 13	1753.5

ที่มา: กรมทรัพยากรน้ำ



รูปที่ 3.4 แสดง โครงข่ายสถานีวัดน้ำฝนที่ใช้ในการแลกเปลี่ยนข้อมูลน้ำท่า ระหว่างน้ำหนักธีโอสเสน

3.3.3 ข้อมูลน้ำท่า (Runoff Data)

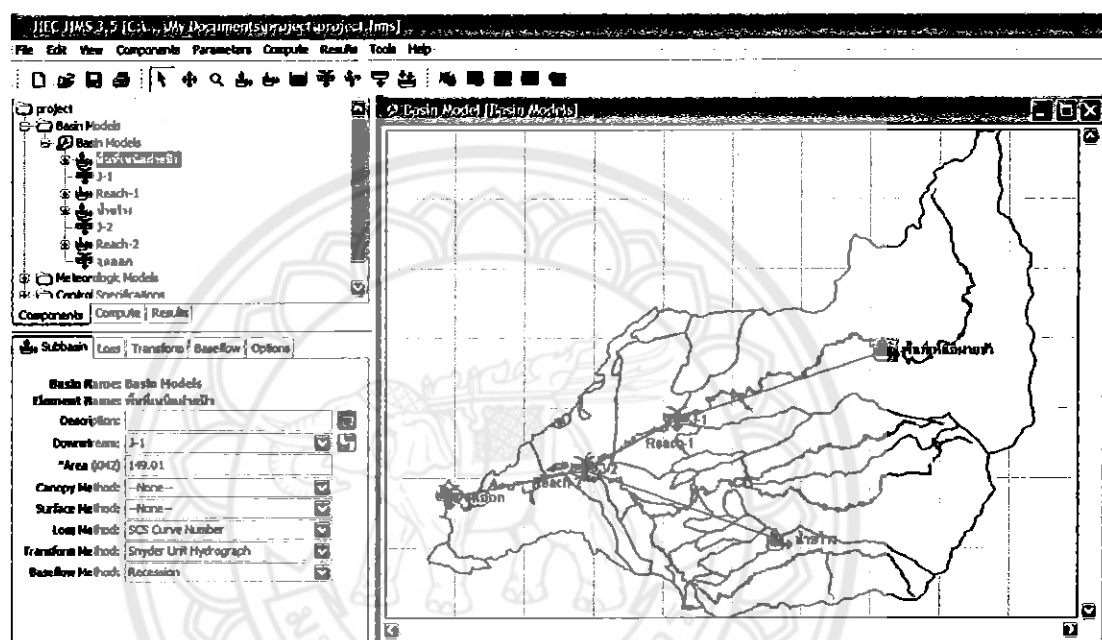
การรวบรวมข้อมูลสถิติน้ำท่าที่ใช้ในการศึกษารั้งนี้ เป็นข้อมูลปริมาณน้ำท่ารายวันเพื่อนำมาเป็นข้อมูลเบริบเนที่ขึ้นกับผลการคำนวณปริมาณการไหล รวมรวมจากสถานีวัดน้ำท่าในเขตอุ่มน้ำ南岸 ซึ่งเป็นสถานีของกรมทรัพยากร โดยจะคัดเลือกสถานีที่อยู่ในลำน้ำหลัก หัวน้ำเพื่อใช้ในการปรับเทียบให้ครอบคลุมพื้นที่อุ่มน้ำอย่างทั่วถึงและเพื่อเป็นการศึกษาสภาพอุทกวิทยาหัวน้ำ น้ำซึ่งได้คัดเลือกสถานีวัดน้ำท่าจำนวน 1 สถานี โดยเราได้เลือกใช้สถานีวัดน้ำท่าบ้านนาฝางหรือสถานีวัดน้ำท่าป้า จำปา ป้า จังหวัด น่าน

ตารางที่ 3.3 แสดงที่ตั้งตำแหน่งของสถานีวัดน้ำท่าที่ใช้ในการศึกษาปี 2551

รหัส สถานี	ที่ตั้ง		ตำแหน่ง		น้ำท่าตลอดปี (ลบ.ม./วินาที)
	ชื่อสถานี	จังหวัด	Latitude	Longitude	
090201	บ้านนาฝาง	น่าน	19 13 20	100 57 13	4947.8

3.3.4 ข้อมูลสารสนเทศภูมิศาสตร์(GIS) ชั้นต่าง ๆ

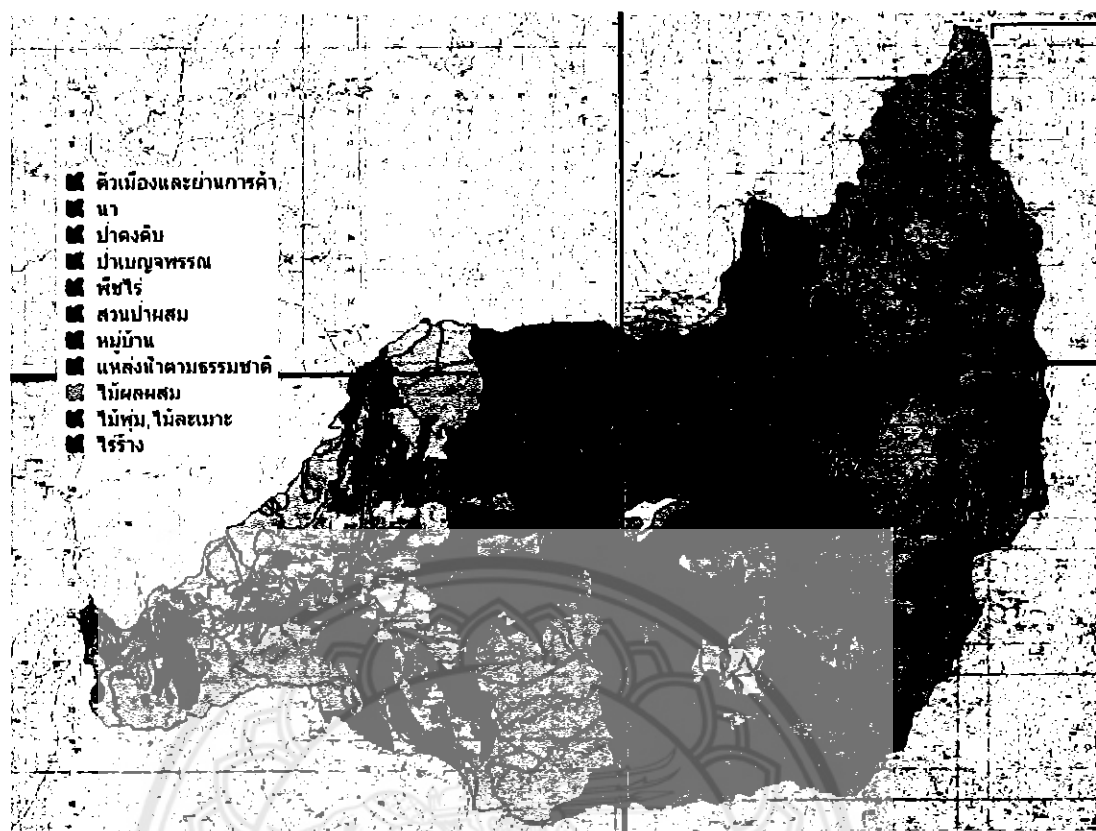
รวบรวมข้อมูลจากชั้นข้อมูลสารสนเทศภูมิศาสตร์ (GIS) ซึ่งต้องจัดทำชั้นข้อมูล (Layer) ของเขตอุ่นน้ำในรivers ขอบเขตแต่ละอุ่นน้ำย่อเป็นเส้นดำน้ำหลัก เส้นดำน้ำย่อย เพื่อทำให่องเหินภาพรวมและ Schematic ของอุ่นน้ำในได้ชัดเจนขึ้น ด้วยโปรแกรม Quantum GIS และทำการแปลงเป็น Background เพื่อใช้ในแบบจำลองคณิตศาสตร์ HEC-HMS นอกจากนี้ขอบเขตอาจจำลองจังหวัด เพื่อใช้ในการวิเคราะห์ค่า CN เริ่มต้น



รูปที่ 3.5 แสดงหน้าจอโปรแกรม HEC-HMS ในโหมด Basin Model

3.3.5 ข้อมูลแผนที่จำแนกสภาพการใช้พื้นที่ในเขตอุ่นน้ำใน (Land Use Classification)

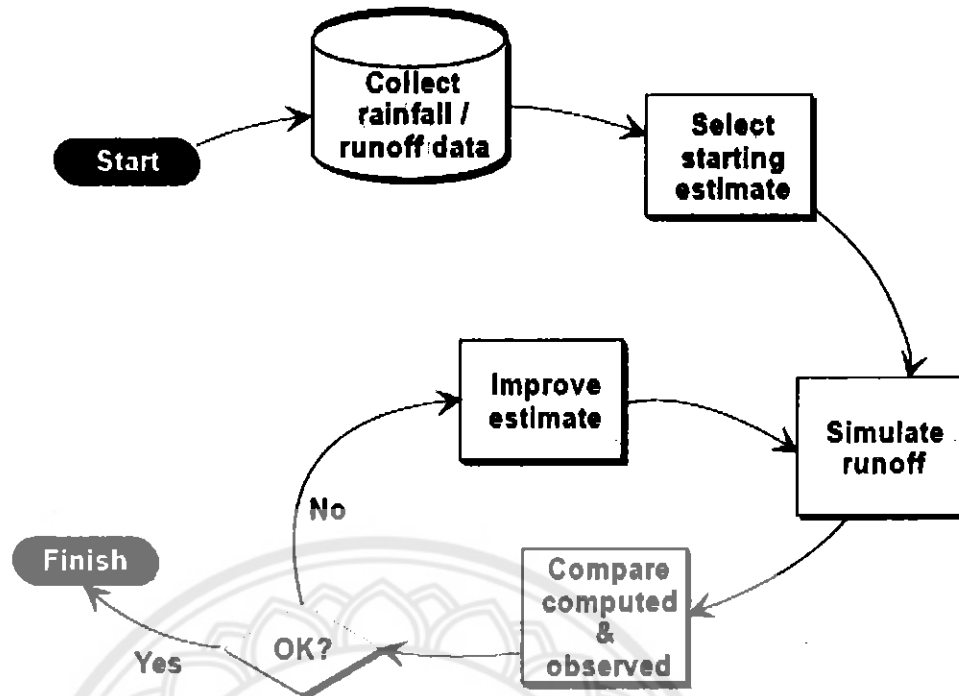
เป็นการรวบรวมข้อมูลของที่ดินและสภาพการใช้ที่ดิน(Land Used) ใช้ในการวิเคราะห์ ข้อมูลการจำแนกถาวรและคงทน และสภาพการใช้ที่ดิน เป็นข้อมูลในรูปของฐานข้อมูล (Database) จากฐานข้อมูลสารสนเทศภูมิศาสตร์ (GIS) ดังแสดงในรูปที่ 3.6



รูปที่ 3.6 แสดงการใช้ประโยชน์ที่ดินในลุ่มน้ำอ่ามหาปัว

3.4 การสอนเที่ยบและตรวจสอบแบบจำลอง (Model Calibration)

การสอนเที่ยบแบบจำลอง (Model Calibration) จะใช้วิธี Trail & Error โดยค่าเริ่มต้นเป็นค่าที่อยู่ในช่วงที่ยอมรับได้ของพารามิเตอร์แต่ละตัว ซึ่งได้ทำการสนับสนุนค่าตัวแปร (Parameter) ที่ต้องการสอนเที่ยบป้อนเข้าโปรแกรม ทดลองการ Run โปรแกรมในการคำนวณการครั้งนี้ Loss Method เลือกใช้วิธี SCS Curve Number, Transform Method เลือกใช้วิธี Snyder Unit Hydrograph และ Baseflow Method เลือกใช้วิธี Recession การปรับเที่ยบค่า Parameter เลือกกระทำในปี 2551 ช่วงเวลาตั้งแต่ วันที่ 1 กรกฎาคม – 30สิงหาคม เลือกช่วงเวลาในการ Run เป็นราย 1 วัน หน่วยที่ใช้ในการคำนวณเป็นหน่วย Metric ผลที่ได้คือกราฟน้ำท่า ทำการสอนเที่ยบผลที่ได้จากการคำนวณ (Calculate) และค่าปริมาณน้ำท่าที่วัด ได้จากสถานะ (Observe) ทำการปรับค่าพารามิเตอร์ตัวอื่นและ Run โปรแกรม สังเกตปริมาณน้ำท่าที่ได้จากการคำนวณ (Calculate) และค่าปริมาณน้ำท่าที่วัดจากสถานะ (Observe) อิอกครั้ง และปรับพารามิเตอร์ตัวอื่นๆ ดูว่าพารามิเตอร์ตัวไหนมีผลต่อ Hydrograph น้อยที่สุดก็คงที่ไว้และเปลี่ยนค่าพารามิเตอร์ตัวอื่นไปจนกว่าจะครบถ้วน เพื่อหาค่าที่เหมาะสมที่สุด ตามรูปที่ 3.7 และมีข้อจำกัดของค่าตัวแปรตามตารางที่ 3.4



รูปที่ 3.7 แสดงขั้นตอนการสอบเทียบตัวแปรของแบบจำลอง
ที่มา: HEC-HMS Technical Reference Manual (2000)

ตารางที่ 3.4 ข้อจำกัดของค่าตัวแปรของแบบจำลองต่างๆ ในโปรแกรม HEC-HMS

Mode	Parameter	Minimum	Maximum
Initial and Constantrate loss	Initial loss	0 mm.	500 mm.
	Constant loss rate	0 mm/hr.	300 mm./hr.
Snyder's UH	Lag	0.1 hr.	500 hr.
	Cp	0.1	1
Base flow	Initial baseflow	0 m. ³ /s	100000 m. ³ /s
	Recession factor	0.000011	-
	Flow to peak ratio	0	1
Muskingum routing	K	0.1 hr.	150 hr.
	X	0	0.5
	Number of step	1	100

3.5 ลักษณะการวิเคราะห์โดยใช้โปรแกรม HEC - HMS

โปรแกรม HEC – HMS (หรือแบบจำลอง HEC – HMS) เป็นโปรแกรมที่มีความสามารถในการวิเคราะห์ความสัมพันธ์ระหว่างปริมาณน้ำฝน – น้ำท่า และแสดงผลที่ได้ในรูปแบบของกราฟที่แสดงการแปรผันของปริมาณน้ำตามเวลาที่ผ่านไปหรือเรียกว่ากราฟน้ำท่า

โครงการนี้ได้ประยุกต์ใช้โปรแกรม HEC – HMS เพื่อวิเคราะห์ความสัมพันธ์ระหว่างพื้นที่อุ่นน้ำกับปริมาณน้ำฝนที่เปลี่ยนเป็นน้ำท่าในพื้นที่อุ่นน้ำปัวได้เป็นดังนี้

3.5.1 การวิเคราะห์ค่า Parameter ของอุ่นน้ำ

การปรับเทียบค่า Parameter จะต้องคำนึงถึงสภาพความเป็นจริงของลักษณะทางกายภาพของพื้นที่อุ่นน้ำและเปรียบเทียบผลของกราฟน้ำท่าที่ได้จากการปรับเทียบกับกราฟน้ำท่าที่ได้จากข้อมูล ซึ่งในการศึกษาร่องนี้มีหลักในการปรับเทียบค่า Parameter สำหรับวิธีการที่เลือกใช้ดังนี้

3.5.1.1 วิธี SCS Curve Number เป็นวิธีที่ใช้คำนวนปริมาณฝนส่วนเกินที่หักปริมาณการสูญเสียต่างๆออกแล้ว (อยู่ในส่วนของ Loss Method) ประกอบด้วยค่า Parameter คือ Initial Abstraction, Curve Number และ % Impervious ซึ่งค่า Parameter เหล่านี้จะพิจารณาจากลักษณะของเนื้อดินและการใช้ที่ดินในบริเวณพื้นที่อุ่นน้ำ ผลการวิเคราะห์ลักษณะเนื้อดิน การใช้ที่ดิน และค่า CN เคลื่อนย้ายในพื้นที่อุ่นน้ำปัว

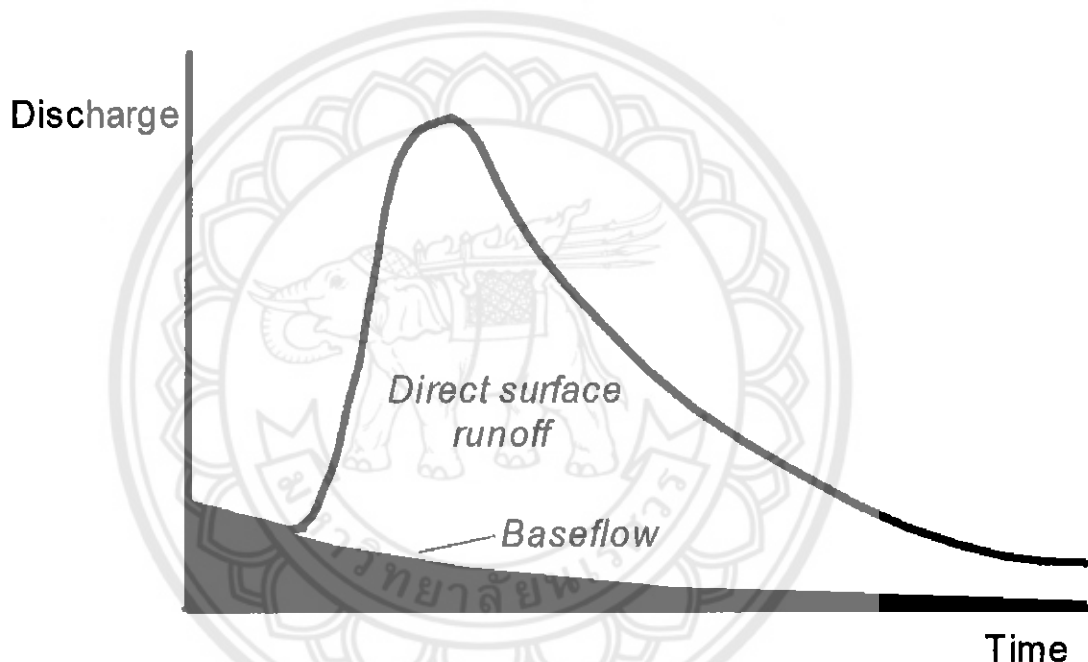
3.5.1.2 วิธี Snyder Unit Hydrograph เป็นวิธีที่ใช้ในการสร้างกราฟน้ำท่า ประกอบด้วย Parameter คือ Standard Lag Time และ Peaking Coefficient การปรับเทียบค่า Standard Lag Time จะพิจารณาช่วงเวลาที่เกิดอัตราการไหลสูงสุดของกราฟน้ำท่าที่ได้จากโปรแกรม และ น้ำท่าไหลที่ได้จากข้อมูล ว่าช่วงเวลาดังกล่าวใกล้เคียงกันหรือไม่ ในส่วนของ Peaking Coefficient จะพิจารณาจากกราฟน้ำท่าที่ได้จากโปรแกรมว่าอัตราการไหลมีความใกล้เคียงกับกราฟน้ำท่าที่ได้จากข้อมูลหรือไม่

3.5.1.3 วิธี Recession เป็นวิธีที่ใช้ในการหาการไหลพื้นฐานที่เกิดขึ้น ประกอบด้วย Parameter คือ Initial Flow, Recession Constant และ Threshold ratio-to-peak ซึ่งจะพิจารณาจากกราฟของการไหลพื้นฐานที่เป็นเส้นประสานต่อและการปรับเทียบค่า Parameter จะต้องพิจารณาจากกราฟของการไหลพื้นฐานร่วมกับกราฟน้ำท่าและเปรียบเทียบผลของกราฟน้ำท่าที่ได้จากโปรแกรม และกราฟน้ำท่าที่ได้จากข้อมูลให้มีความใกล้เคียงกันมากที่สุด

Chow et al. (1988) กล่าวว่า การจำลองการไหลพื้นฐานวิธีการลดด้อย มักใช้ในการอธิบายการระบายน้ำจากระบบเก็บกักตามธรรมชาติในพื้นที่ลุ่มน้ำ โดยการหาความสัมพันธ์ดังต่อไปนี้

$$Q_t = Q_0 k^t \quad (3.1)$$

- เมื่อ Q_t คือ ปริมาณการไหลพื้นฐาน ที่เวลา t ใดๆ
- Q_0 คือ ปริมาณการไหลพื้นฐานเริ่มต้น(ที่เวลา $t = 0$)
- K คือ เลขคงที่ยกกำลัง



รูปที่ 3.8 กราฟแสดง Initial Baseflow Recession

ที่มา: HEC-HMS Technical Reference Manual (2000)

จากรูปที่ 3.8 พื้นที่ที่แลง เป็นตัวแทนของการไหลพื้นฐาน ซึ่งมีการลดลงแบบยกกำลังจากปริมาณเริ่มต้น ปริมาณการไหลทั้งหมด คือ ผลรวมของการไหลพื้นฐานและการไหลของน้ำท่าผิวดิน

บทที่ 4

ผลการทดสอบและวิเคราะห์

4.1 ผลการวิเคราะห์ข้อมูลเบื้องต้น

ในการสอบเทียบแบบจำลองและตรวจสอบพารามิเตอร์ในปี 2551 ได้นำเข้าข้อมูลน้ำฝนและข้อมูลน้ำท่า เพื่อจะเลือกช่วงเวลาสอบเทียบ โดยได้ใช้ข้อมูลดังนี้

ตารางที่ 4.1 ข้อมูลน้ำเข้าท่าใช้ในการสอบเทียบโปรแกรมปี 2551

รหัสสถานี	ชื่อสถานี	ประเภทข้อมูล	ปีที่สอบเทียบ	ปริมาณน้ำทั้งปี	
				มม./ปี	มม./วัน
28164	อุทยานฯ acula	ฝนรายวัน	2551	2797.8 มม./ปี	7.67 มม./วัน
90201	บ้านนาฝาง	ฝนรายวัน	2551	1753.5 มม./ปี	4.80 มม./วัน
90201	บ้านนาฝาง	น้ำท่ารายวัน	2551	4947.8 ลบ.ม./วินาที	427 ล้าน ลบ.ม.

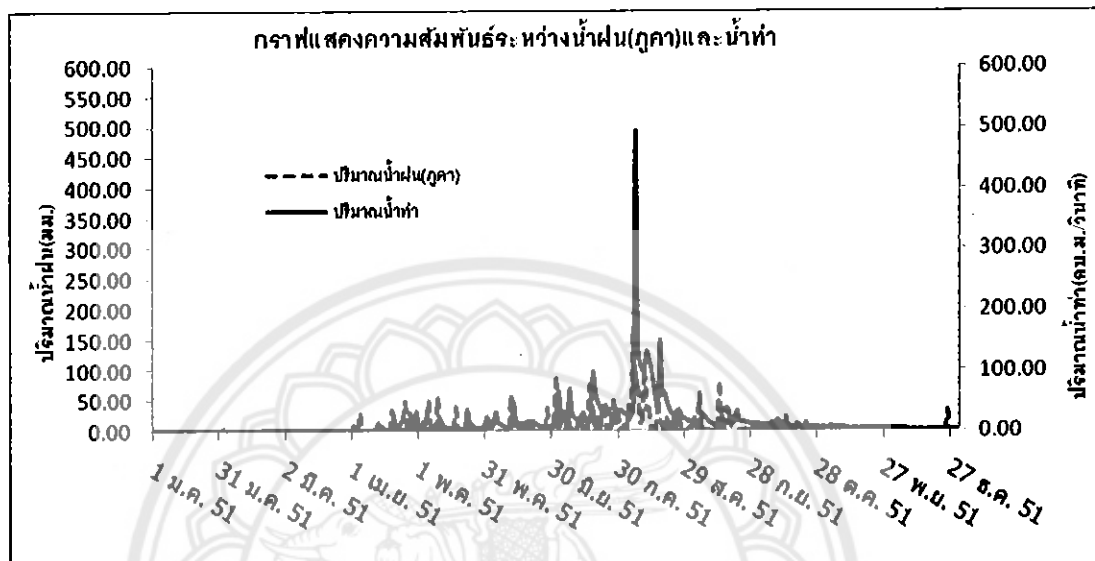
ในการสอบเทียบแบบจำลองแบ่งการนำเข้าข้อมูลน้ำฝนเป็น 2 กรณี

4.1.1 กรณีที่ 1 นำเข้าข้อมูลน้ำฝนของสถานีวัดน้ำฝนอุทยานฯ ภาครอบคุณพันที่ห้องหมุดของรุ่มน้ำหนึ่งอย่างปัจจุบันเป็นกรณีแรก โดยมีปริมาณฝนตลอดทั้งปี 2797.8 มม./ปี คิดเป็นปริมาณฝนเฉลี่ย 7.67 มม./วัน เมริบันเทียบกับข้อมูลปริมาณน้ำท่าบ้านนาฝาง โดยมีปริมาณน้ำท่าตลอดทั้งปี 4947.8 ลบ.ม./วินาที คิดเป็นปริมาณน้ำท่า 427 ล้าน ลบ.ม.

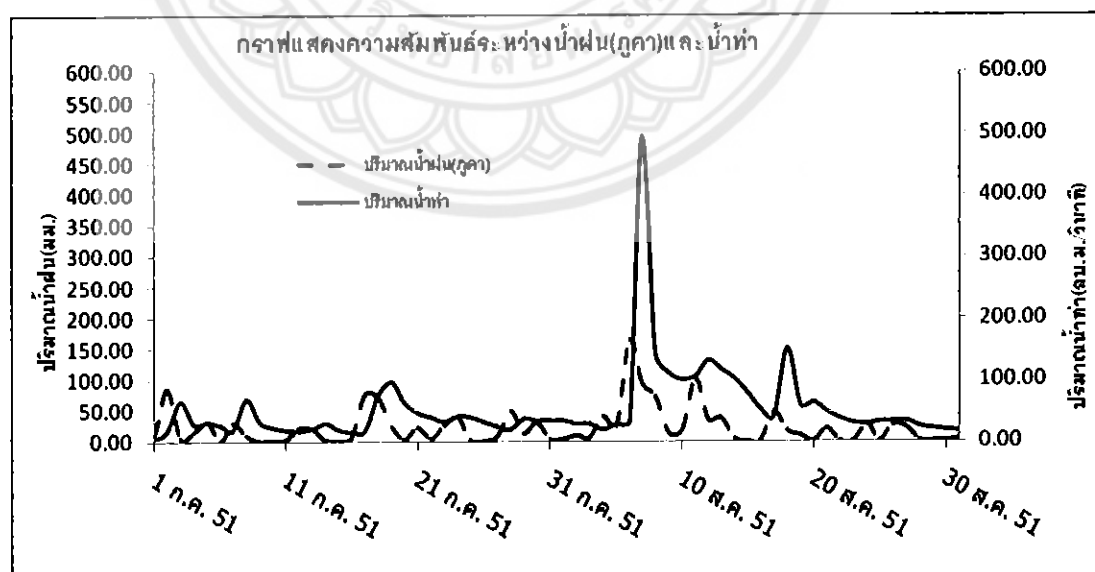
รูปที่ 4.1 แสดงปริมาณข้อมูลน้ำฝนของสถานีวัดน้ำฝนอุทยานฯ ภาครอบคุณพันที่ห้องหมุดของสถานีวัดน้ำบ้านนาฝางจะเห็นว่าช่วงที่มีปริมาณน้ำฝนและน้ำท่าสูงสุดคือ ช่วงเดือนกรกฎาคม ถึงเดือนกันยายน ค้างน้ำนึง ได้เลือกช่วงเวลาดังกล่าวเพื่อนำไปวิเคราะห์โดยใช้โปรแกรม HEC-HMS โดยช่วงเวลาที่เลือกคือตั้งแต่วันที่ 1 กรกฎาคม–31 สิงหาคม มีปริมาณน้ำฝนรวมในช่วงเวลาดังกล่าวของปี 2551 มีค่าเท่ากับ 1412 มม. น้ำฝนสูงสุด 164.2 มม. ในวันที่ 6 สิงหาคม และ ปริมาณน้ำท่ารวม มีค่าเท่ากับ 3290 ลบ.ม./วินาที น้ำท่าสูงสุด 493 ลบ.ม./วินาที ในวันที่ 7 สิงหาคม ความสัมพันธ์ของข้อมูลน้ำฝนของสถานีวัดน้ำฝนอุทยานฯ ภาครอบคุณพันที่ห้องหมุดน้ำท่าของสถานีบ้านนาฝางในช่วงเวลาดังกล่าวเป็นคังรูปที่ 4.2

ตารางที่ 4.2 ข้อมูลน้ำเข้าที่ใช้ในการสอบเทียบโปรแกรมกรณีที่ 1

รหัสสถานี	ชื่อสถานี	ประเภทข้อมูล	ปริมาณน้ำรวม	ปริมาณน้ำสูงสุด	ว-ค-ป
28164	อุทยานฯภูคา	ฝนรายวัน	1412 มม.	164.2 มม.	6-ส.ค.-51
90201	บ้านนาฝาง	น้ำท่ารายวัน	3290 ลบ.ม./วินาที	493 ลบ.ม./วินาที	7-ส.ค.-51



รูปที่ 4.1 แสดงปริมาณข้อมูลน้ำฝนของสถานีวัดน้ำฝนอุทยานฯภูคาเปรียบเทียบกับข้อมูลน้ำท่าของสถานีบ้านนาฝาง ปี 2551 กรณีที่ 1



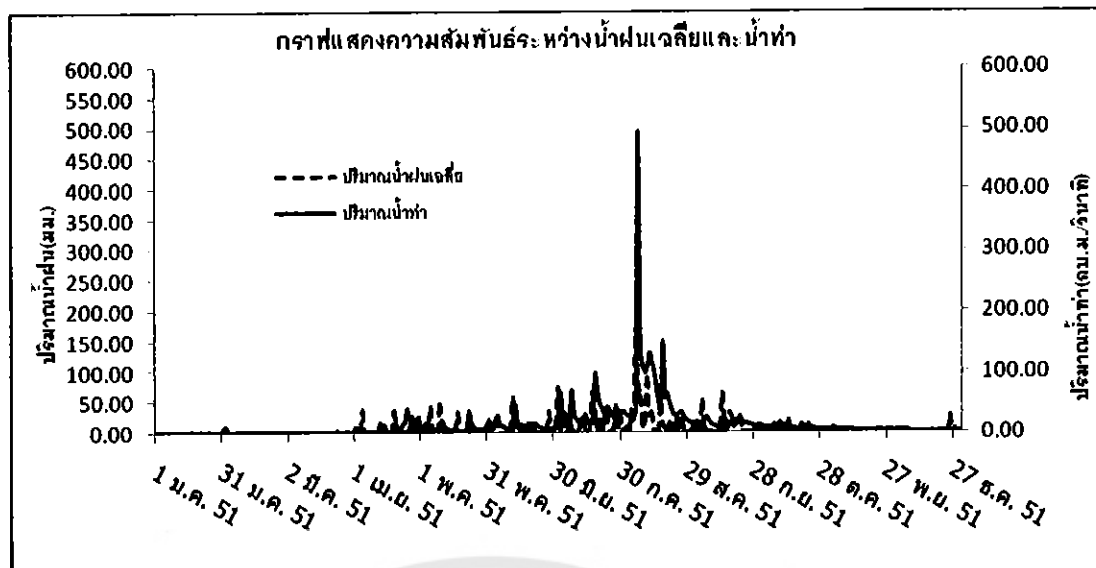
รูปที่ 4.2 แสดงปริมาณข้อมูลน้ำฝนของสถานีวัดน้ำฝนอุทยานฯภูคาเปรียบเทียบกับข้อมูลน้ำท่าของสถานีบ้านนาฝางช่วงวันที่ 01 ก.ค. – 31 ส.ค. ของอุ่มน้ำปั่ว ปี 2551 กรณีที่ 1

4.1.2 กรณีที่ 2 ใช้ข้อมูลน้ำฝนเป็นค่าที่ถ่วงน้ำหนักของ สถานีวัดน้ำฝนอุทัยฯฯ และสถานีวัดน้ำฝนบ้านนาฝางครอบคลุมพื้นที่ทั้งหมดของลุ่มน้ำเนื่องฝายปัว โดยมีปริมาณฝนเฉลี่ยตลอดทั้งปี 2600 ㎜./ปี คิดเป็นปริมาณฝนเฉลี่ย 7.12 ㎜./วัน ส่วนเทียบกับข้อมูลปริมาณน้ำท่าบ้านนาฝาง โดยมีปริมาณน้ำท่าตลอดทั้งปี 4947.8 ลบ.ม./วินาที คิดเป็นปริมาณน้ำท่า 497 ล้ำ ลบ.

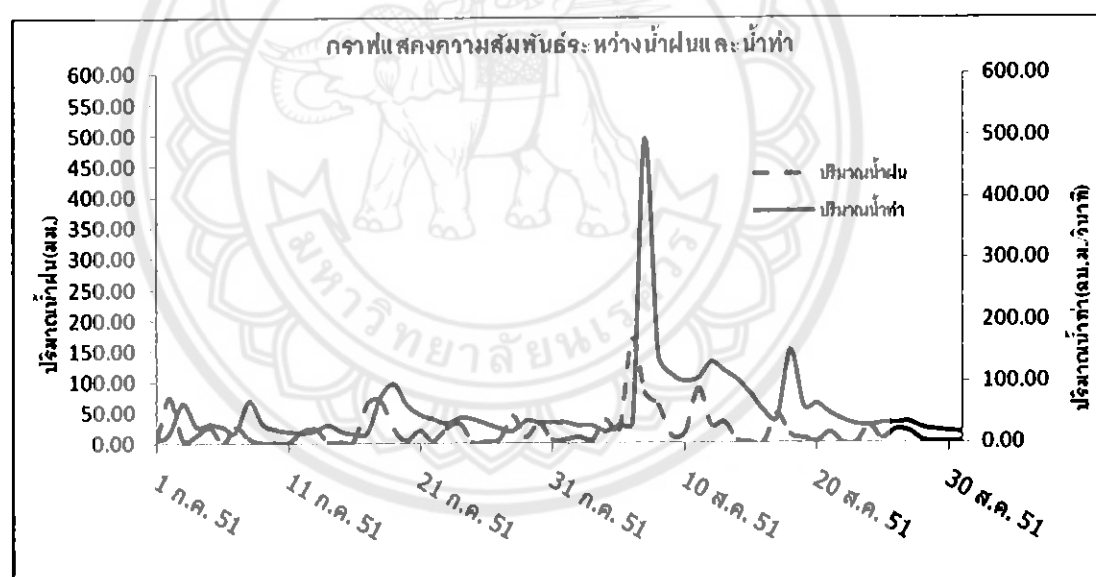
รูปที่ 4.3 แสดงปริมาณข้อมูลน้ำฝนเฉลี่ยของสถานีวัดน้ำฝนอุทัยฯฯ และสถานีวัดน้ำฝนบ้านนาฝางเปรียบเทียบกับข้อมูลน้ำท่าของสถานีบ้านนาฝางจะเห็นว่าช่วงที่มีปริมาณน้ำฝนและน้ำท่าสูงสุดคือ ช่วงเดือนกรกฎาคมถึงเดือนกันยายน ดังนั้นจึงได้เลือกช่วงเวลาดังกล่าวเพื่อนำไปวิเคราะห์โดยใช้โปรแกรม HEC-HMS โดยช่วงเวลาที่เลือกคือตั้งแต่วันที่ 1 กรกฎาคม-31 สิงหาคม ปริมาณน้ำฝนรวมในช่วงเวลาดังกล่าวของปี 2551 มีค่าเท่ากับ 1290 ㎜.น้ำฝนสูงสุด 169.2 ㎜. ในวันที่ 6 สิงหาคม และปริมาณน้ำท่ารวม มีค่าเท่ากับ 3290 ลบ.ม./วินาที น้ำท่าสูงสุด 493 ลบ.ม./วินาที ในวันที่ 7 สิงหาคม ความสัมพันธ์ของข้อมูลน้ำฝนเฉลี่ยของสถานีวัดน้ำฝนอุทัยฯฯ และสถานีวัดน้ำฝนบ้านนาฝางเปรียบเทียบกับข้อมูลน้ำท่าของสถานีบ้านนาฝางในช่วงเวลาดังกล่าวเป็นดังรูปที่ 4.4

ตารางที่ 4.3 ข้อมูลน้ำเข้าที่ใช้ในการสอนเทียบโปรแกรมกรณีที่ 2

รหัสสถานี	ชื่อสถานี	ประเภทข้อมูล	ปริมาณน้ำรวม	ปริมาณน้ำสูงสุด	ว-ค-ป
28164	อุทัยฯฯ	ฝนรายวันเฉลี่ย	1290 ㎜.	169.2 ㎜.	6-ส.ค.-51
90201	บ้านนาฝาง	น้ำท่ารายวัน	3290 ลบ.ม./วินาที	493 ลบ.ม.	7-ส.ค.-51



รูปที่ 4.3 แสดงปริมาณข้อมูลน้ำฝนเฉลี่ยของสถานีวัดน้ำฝนอุทัยนาภูมิและสถานีวัดน้ำฝนบ้านนาฝางเปรียบเทียบกับข้อมูลน้ำท่าของสถานีบ้านนาฝาง ปี 2551 กรณีที่ 2



รูปที่ 4.4 แสดงการเดือกดช่วงปริมาณข้อมูลน้ำฝนเฉลี่ยของสถานีวัดน้ำฝนอุทัยนาภูมิและสถานีวัดน้ำฝนบ้านนาฝางเปรียบเทียบกับข้อมูลน้ำท่าของสถานีบ้านนาฝางช่วงวันที่ 01 ก.ค. – 31 ส.ค. ของคุณน้ำปี 2551 กรณีที่ 2

ตารางที่ 4.4 ลักษณะการใช้ที่ดินบริเวณพื้นที่ถุ่มน้ำป่า

การใช้ที่ดิน	พื้นที่ (ตรกม.)	% (ของพื้นที่ทั้งหมด)
ป่า	62.2	41.74
ทำนา (ແຄວຕາມຮະດັບພື້ນທີ່)	-	-
ทำไร่ (ແຄວຕາມຮະດັບພື້ນທີ່)	86.82	58.26
ทำสวน (ສິ່ງປົກຄຸມດິນ 50 - 75 %)	-	-
ทื่ອງຢ່າຍ	-	-

ตารางที่ 4.5 ชุดคิดที่พืบบริเวณพื้นที่ถุ่มน้ำป่า

ชุดคิด	% (ของพื้นที่ทั้งหมด)	ลักษณะเนื้อที่ดิน	อัตราการซึม	กสุ่น
62	100	ดินจากการผุพังสลายตัวของหินดินกำเนิด	ดี,ปานกลาง	B

หมายเหตุ : A = อัตราการซึมสูง

B = อัตราการซึมปานกลาง

C = อัตราการซึมต่ำ

D = อัตราการซึมต่ำมาก

ตารางที่ 4.6 ค่า CN เฉลี่ย ของพื้นที่ถุ่มน้ำป่า กรณี AMC II และ $I_n = 0.2S$

ลักษณะการใช้ที่ดิน	% ของพื้นที่ทั้งหมด	Hydrologic Soil Group		
		B (100%)		
		%	CN	Product
ป่า	62.2	41.74	60	25.04
ทำนา (ແຄວຕາມຮະດັບພື້ນທີ່)	-	-	-	-
ทำไร่ (ແຄວຕາມຮະດັບພື້ນທີ່)	86.82	58.26	75	43.69
ทำสวน (ສິ່ງປົກຄຸມດິນ 50 - 75 %)	-	-	-	-
ทื่ອງຢ່າຍ,ສິ່ງປົກສ່າງ	-	-	-	-
Total		100		68.74

ค่า CN เฉลี่ยที่ได้จากตารางที่ 4.6 เป็นในกรณี Average AMC II ซึ่งมีค่า 68.74 สามารถปรับเทียบ เป็นในกรณี Wet AMC III ตารางผนวกที่ ค2

$$\text{จะได้ } \quad \text{CN(III)} = 83.49$$

ตารางที่ 4.7 ค่า Parameter ที่ได้จากการสอนเที่ยบโดยวิธี SCS Curve Number จากข้อมูล ปี 2551

ค่า Parameter ของแบบจำลองการสูญเสีย (Loss Parameter)		
การสูญเสียเริ่มต้น(Initial Abstraction) (ลบ.ม./วินาที)	ค่าโค้งตัวเลข (Curve Number)	เปอร์เซ็นต์พื้นที่ทึบบกน้ำ (Impervious %)
10.04	83.49	0.2

4.1.3 แบบจำลองการสูญเสียของน้ำท่า (Loss Model)

4.1.3.1 ค่าหมายเลข ให้กับน้ำท่าของ SCS(CN) พบว่าค่าหมายเลข ให้กับน้ำท่าของ SCS(CN) ได้ค่า CN 83.49 พบว่าในสภาพพื้นที่ที่เป็นพื้นที่ทำไร่และป่าไม้ จากช่วงเวลาที่ได้เริ่มการจำลองในวันที่ 1 กรกฎาคม และสิ้นสุดวันที่ 31 สิงหาคม ของช่วงปีที่ศึกษา คือ 2551 ดังนั้นในช่วงเวลาที่เริ่มการจำลองจึงเป็นสภาพความชื้นที่เปลี่ยนแปลง ทำให้ค่า CN มีค่ามาก

4.1.3.2 ค่าการสูญเสียเริ่มต้น(I_s) ผลการศึกษาพบว่าค่า I_s มีค่า 10.04 จากการประมาณ

0.2S

ตารางที่ 4.8 ค่า Parameter ที่ได้จากการสอนเที่ยบโดยวิธี Snyder Unit Hydrograph จากข้อมูล ปี 2551

ค่า Parameter ของแบบจำลองการแปลง (Transform Parameter)					
พื้นที่คุณน้ำปั่ว (ตร.กม.)	L (กม.)	L _c (กม.)	t _p (Standard Lag) (ชั่วโมง)	c _p (Peaking Coefficient)	c _l
149.01	33	20	23	0.57	4.37

4.1.4 การจำลองน้ำท่าที่ให้บนผิวดิน (Models of direct runoff)

ค่าช่วงระยะเวลาการตอบสนองคุณน้ำ (Standard Lag) นี้ค่าประมาณ 23 ชั่วโมง เนื่องจากข้อมูลน้ำฝนที่ใช้เป็นแบบรายวัน สามารถคำนวณค่า C_p จากสมการ (2.15) และจากช่วงเวลาที่ทำการ Optimization ได้ค่า C_p 0.57

ตารางที่ 4.9 ค่า Parameter ที่ได้จากการสอนเทียนโดยวิธี Recession จากข้อมูลปี 2551

ค่า Parameter ของแบบจำลองการไหลพื้นฐาน (Baseflow Parameter)		
อัตราการไหลเริ่มต้น (Initial Flow) (ลบ.ม./วินาที)	ค่าคงที่ของการลดลง (Recession Constant)	จุดเริ่มต้นการไหลพื้นฐาน (Threshold ratio-to-peak)
30.9	0.64	0.977

4.1.5 การจำลองการไหลพื้นฐาน (Models of baseflow)

4.1.5.1 ค่าเริ่มต้นของการไหล(Initial flow) เป็นค่าอัตราการไหลเริ่มต้นจากข้อมูลของสถานีวัดน้ำบ้านนาฝางก่อนเกิดอัตราการไหลสูงสุด

4.1.5.2 อัตราส่วนของการลดลง(Recession Ratio) มีค่า 0.64 จากช่วงเวลาที่ทำการ Optimization

4.1.5.3 ค่าจุดเริ่มต้นของการไหลพื้นฐาน (Threshold flow) มีค่า 0.977 จากช่วงเวลาที่ทำการOptimization

ตารางที่ 4.10 ค่า Parameter ที่ได้จากการสอนเทียนโดยวิธี Muskingum จากข้อมูลปี 2551

ค่า Parameter ของแบบจำลองการเคลื่อนตัวในลำน้ำ (Reach)		
Routing	ช่วงเวลาการเคลื่อนตัวผ่านช่วงลำน้ำที่พิจารณา (K) (ชั่วโมง)	ค่าคงที่ (X)
Reach - 1	1.1	0.2
Reach - 2	6.84	0.2

4.1.6 การจำลองการไหลพื้นฐาน (Models of baseflow)

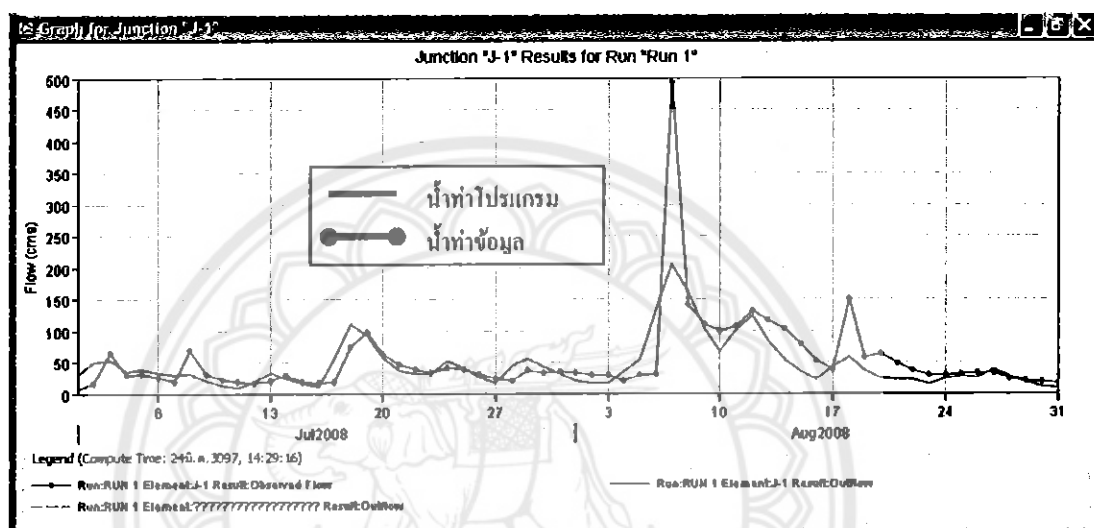
4.1.4.1 ค่าช่วงเวลาการเคลื่อนตัวผ่านช่วงลำน้ำที่พิจารณา (K) ของวิธี Muskingum มีค่า 1.1และ 6.84 ชั่วโมง จากช่วงเวลาที่ทำการ Optimization

4.1.4.2 ค่าคงที่ของ Muskingum (x) มีค่า 0.2 ซึ่งเป็นค่าที่นิยมใช้ในลำน้ำทั่วไป

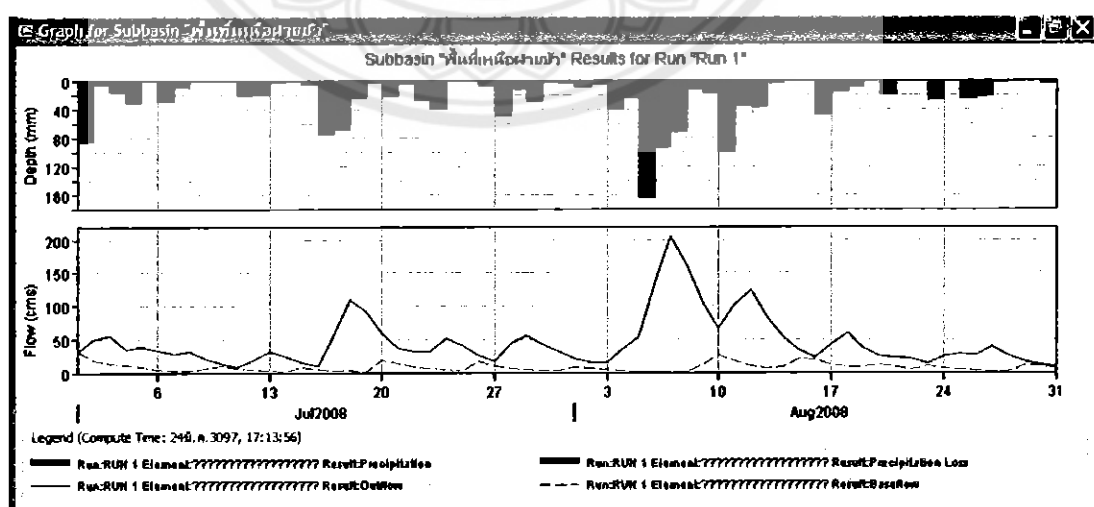
4.2 การสอนเทียบนำ้ำท่าข้อมูลกับนำ้ำท่าจากโปรแกรม ณ สถานีวัดนำ้ำบ้านนาฝาง(J-1) ในปี 2551

ในการสอนเทียบแบบจำลองแบ่งการนำเข้าข้อมูลน้ำฝนเป็น 2 กรณี

4.2.1 กรณีที่ 1 นำเข้าข้อมูลน้ำฝนของสถานีวัดน้ำฝนอุทัยานฯ ค่าครอบคลุมพื้นที่ทั้งหมดของ คุ่นน้ำหนึ่งป่า



รูปที่ 4.5 ผลสอนเทียบโปรแกรมระหว่างกราฟนำ้ำท่าข้อมูลและนำ้ำท่าจากโปรแกรม คุ่นน้ำป่า(J-1)ปี 2551 กรณีที่ 1

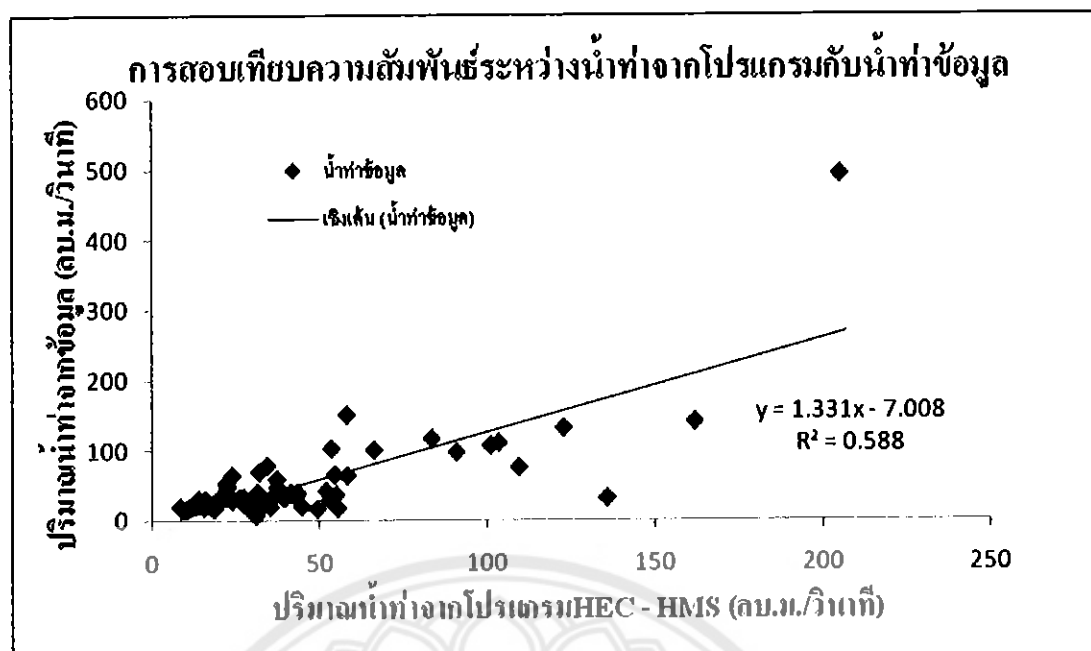


รูปที่ 4.6 ข้อมูลน้ำฝนอุทัยานฯ ค่าสอนเทียบกราฟนำ้ำท่าที่ได้จากโปรแกรม HEC – HMS ของคุ่น น้ำป่า ปี 2551 กรณีที่ 1

ตาราง 4.11 ตัวอย่างผลสอบเทียบการคำนวณน้ำท่าที่ให้ผลผ่านสถานีวัดน้ำข้านาฬัง (J-1) จากโปรแกรมกับข้อมูลปี 2551 ในกรณีที่

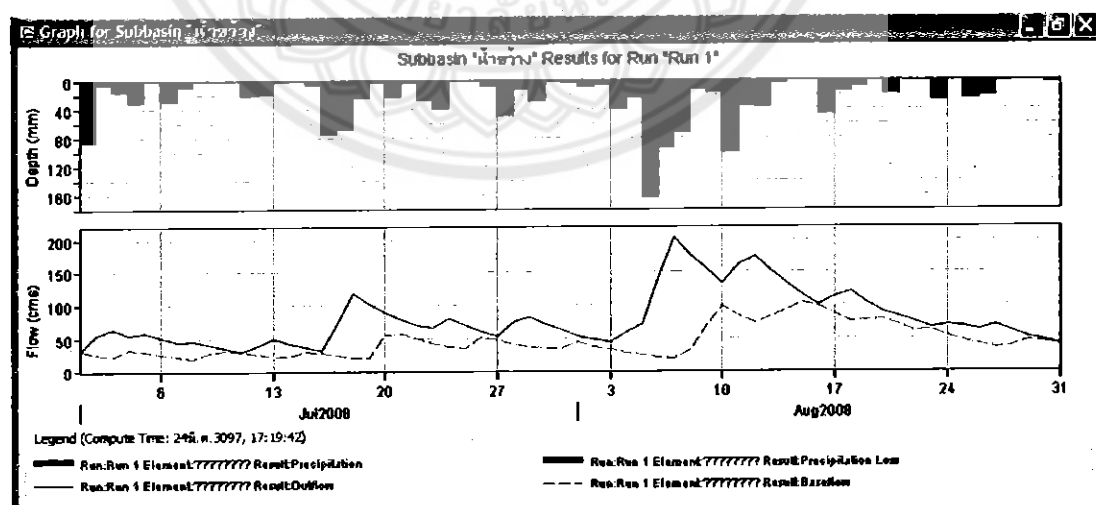
ว-ด-ป	ฝน (มม.)	ผลการคำนวณน้ำท่า HEC-HMS (ลบ.ม./วินาที)	ข้อมูล น้ำท่า (ลบ.ม./วินาที)
1-ส.ค.-51	3.7	20.4	33.2
2-ส.ค.-51	9.2	15.9	28.5
3-ส.ค.-51	5.2	15.5	28.5
4-ส.ค.-51	41.2	35.1	19.2
5-ส.ค.-51	24.3	52.9	28.5
6-ส.ค.-51	164.2	135.6	30.9
7-ส.ค.-51	93.8	204.9	493
8-ส.ค.-51	72.0	161.7	140
9-ส.ค.-51	12.8	103.5	110
10-ส.ค.-51	18.3	66.2	100
11-ส.ค.-51	100.7	101	106
12-ส.ค.-51	35.6	122.7	131
13-ส.ค.-51	37.9	83.5	116
14-ส.ค.-51	4.5	53.4	102

เมื่อนำปริมาณน้ำท่าที่ได้จากการโปรแกรมและปริมาณน้ำท่าที่ได้จากข้อมูลกรณีที่ 1 ในปี 2551 มาพื้อตัวฟทางความสัมพันธ์ ดังแสดงในรูปที่ 4.7 โดยกำหนดให้แกน x คือน้ำท่าที่ได้จากการโปรแกรม และแกน y คือน้ำท่าที่ได้จากข้อมูล ค่า R^2 ที่ได้ในกรณีแรก มีค่าเท่ากับ 0.588 ซึ่งแสดงให้เห็นว่าค่า R^2 ในปี 2551 มีความสัมพันธ์ปานกลาง โดยปริมาณน้ำท่าสูงสุดที่ได้จากการสอบเทียบโปรแกรม มีค่าเท่ากับ 204.9 ลบ.ม./วินาที ซึ่งเกิดขึ้นในวันที่ 7 สิงหาคม 2551 ตรงกับวันที่เกิดปริมาณน้ำท่าสูงสุดที่ได้จากข้อมูล ก็คือเป็นผลต่างระหว่างน้ำท่าข้อมูลกับน้ำท่าที่ได้จากการสอบเทียบโปรแกรมร้อยละ 58.44



รูปที่ 4.7 การสอบเที่ยบความสัมพันธ์น้ำท่าจากโปรแกรม HEC – HMS และจากข้อมูล ปี 2551
กรณีที่ 1

4.2.1.1 นำเข้าพารามิเตอร์ที่ได้จากการสอบเที่ยบในพื้นที่เห็นอฝายปัวมาใช้ในการ Run โปรแกรมในพื้นที่น้ำขวางเพื่อหาปริมาณน้ำท่าที่ไหลออกจากพื้นที่น้ำขวางในกรณีที่ 1



รูปที่ 4.8 ข้อมูลน้ำฝนอุทกายน้ำขวางเทียบกราฟน้ำท่าที่ได้จากโปรแกรมHEC – HMS ของลุ่มน้ำขวาง ปี2551 กรณีที่ 1

ตาราง 4.12 ตัวอย่างผลการคำนวณปริมาณน้ำท่าจากโปรแกรมในพื้นที่สูมน้ำขวางข้อมูลปี 2551 ในกราฟที่ 1

ว-ด-ป	ฝน (มม.)	ผลการคำนวณน้ำท่า HEC-HMS (ลบ.ม./วินาที)
1-ส.ค.-51	3.7	53.7
2-ส.ค.-51	9.2	46.9
3-ส.ค.-51	5.2	43.5
4-ส.ค.-51	41.2	58.1
5-ส.ค.-51	24.3	71.2
6-ส.ค.-51	164.2	142.9
7-ส.ค.-51	93.8	202.8
8-ส.ค.-51	72.0	176.3
9-ส.ค.-51	12.8	153.4
10-ส.ค.-51	18.3	133.4
11-ส.ค.-51	100.7	160.6
12-ส.ค.-51	35.6	174.5
13-ส.ค.-51	37.9	151.8
14-ส.ค.-51	4.5	132.1

4.2.1.2 นำเข้าพารามิเตอร์ที่ได้จากการสอบเทียบในพื้นที่เหนือฝ่ายปีวมาใช้ในการ Run โปรแกรมเพื่อหาปริมาณน้ำท่าจากสถานีวัดน้ำบ้านนาฝาง (J-1) รวมกับปริมาณน้ำท่าที่ไฟลจากจุดของลำน้ำขวางรวมกันที่จุด Junction-2(J-2) โดยที่ดำเนินการไฟลของลำน้ำปีวคือ (Reach-1)

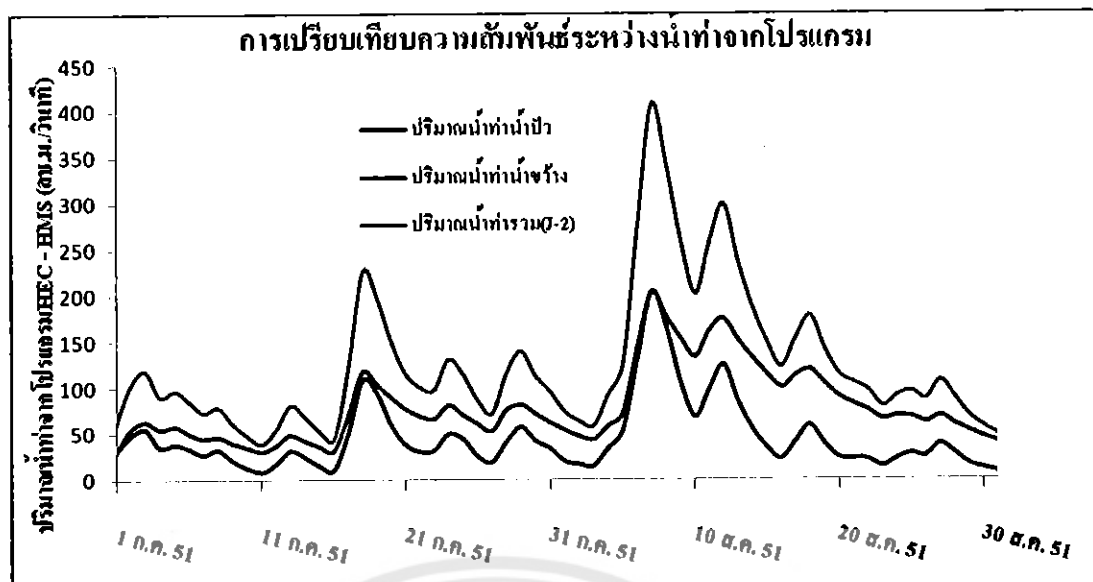
ตาราง 4.13 ตัวอย่างการเปรียบเทียบความสัมพันธ์ระหว่างกราฟน้ำท่าที่ Run จากโปรแกรม HEC-HMS ในปี 2551 ในการที่ 1 ณ จุดรวมน้ำปีวและน้ำขวาง

ว-ด-ป	ปริมาณน้ำท่าฝ่ายปีว (ลบ.ม./วินาที)	ปริมาณน้ำท่าน้ำขวาง (ลบ.ม./วินาที)	ปริมาณน้ำท่ารวม(J-2) (ลบ.ม./วินาที)
1-ส.ค.-51	19.8	53.7	73.5
2-ส.ค.-51	16.8	46.9	63.7
3-ส.ค.-51	14.8	43.5	58.3
4-ส.ค.-51	34.1	58.1	92.2
5-ส.ค.-51	52.3	71.2	123.5
6-ส.ค.-51	129.1	142.9	272
7-ส.ค.-51	204.6	202.8	407.4
8-ส.ค.-51	165.7	176.3	342
9-ส.ค.-51	105.1	153.4	258.4
10-ส.ค.-51	68.1	133.4	201.5
11-ส.ค.-51	96.5	160.6	257.1
12-ส.ค.-51	124.8	174.5	299.3
13-ส.ค.-51	85.1	151.8	236.9
14-ส.ค.-51	54.7	132.1	186.8

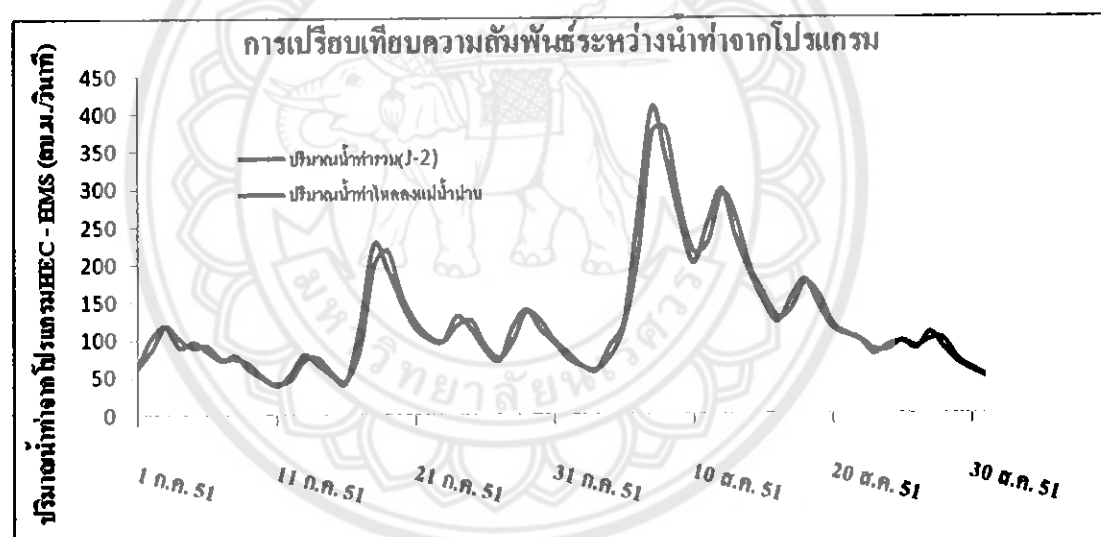
4.2.1.3 นำเข้าพารามิเตอร์ที่ได้จากการสอบเทียบในพื้นที่เหนือฝ่ายปัจมาใช้ในการ Run โปรแกรมเพื่อหาปริมาณน้ำท่าที่ให้จากชุดรวมปริมาณน้ำท่านาไปกับปริมาณน้ำท่านาขวางที่จุด Junction-2(J-2) ออกสู่ชุมชนลดลงแม่น้ำ่น่าน

ตาราง 4.14 ตัวอย่างการเปรียบเทียบความถันพันธ์ระหว่างกราฟน้ำท่าที่ Run จากโปรแกรม HEC-HMS ในปี 2551 กรณีที่ 1 ณ จุดออกแม่น้ำ่น่าน

ว-ด-ป	ปริมาณน้ำท่ารวม(J-2) (ลบ.ม./วินาที)	ปริมาณน้ำท่าไหลลงแม่น้ำ่น่าน(ลบ.ม./วินาที)
1-ส.ค.-51	73.5	81.2
2-ส.ค.-51	63.7	64.7
3-ส.ค.-51	58.3	60.1
4-ส.ค.-51	92.2	78.3
5-ส.ค.-51	123.5	116.4
6-ส.ค.-51	272	216.5
7-ส.ค.-51	407.4	375.2
8-ส.ค.-51	342	379.6
9-ส.ค.-51	258.4	277
10-ส.ค.-51	201.5	216.8
11-ส.ค.-51	257.1	229.6
12-ส.ค.-51	299.3	293
13-ส.ค.-51	236.9	263.7
14-ส.ค.-51	186.8	196.4

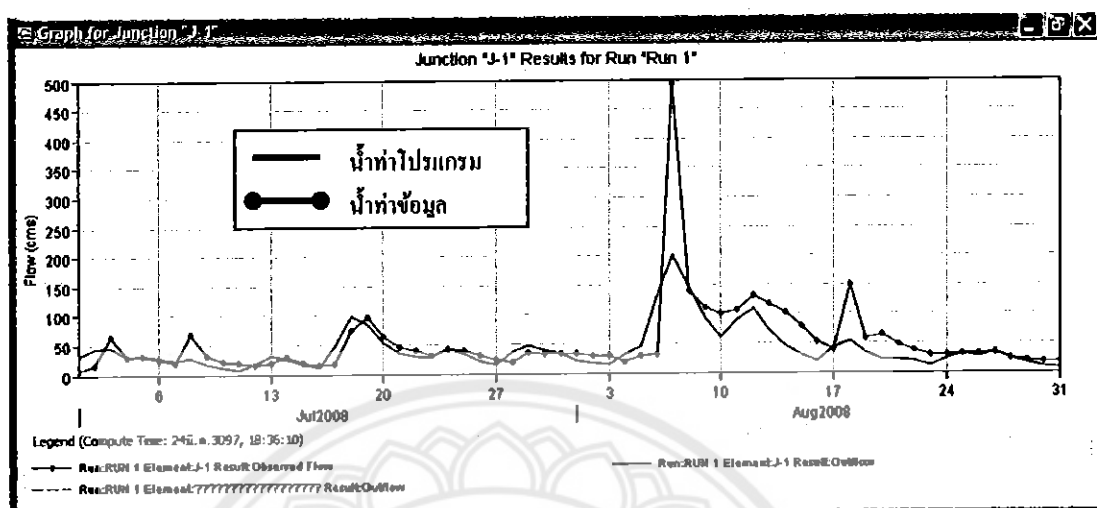


รูปที่ 4.9 ผลการเปรียบเทียบความสัมพันธ์ระหว่างกราฟน้ำท่าจากโปรแกรมในกรณีที่ 1

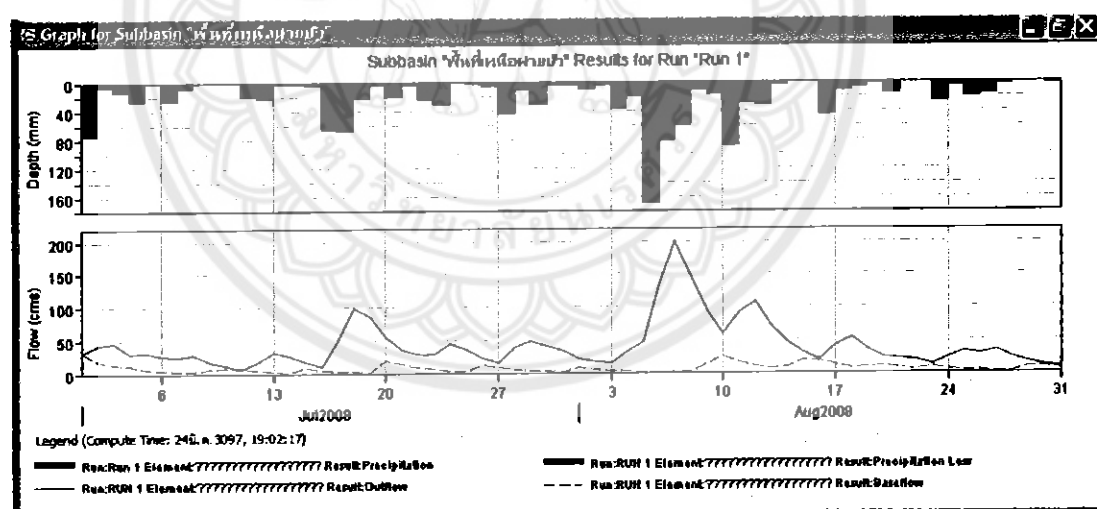


รูปที่ 4.10 ผลการเปรียบเทียบความสัมพันธ์ระหว่างกราฟน้ำท่าจากโปรแกรม ณ จุดอุกแม่น้ำแม่น้ำในกรณีที่ 1

4.2.2 กรณีที่ 2 นำเข้าข้อมูลน้ำฝนเป็นค่าที่ถ่วงน้ำหนักของ สถานีวัดน้ำฝนอุทยานฯ ภูฯ และ สถานีวัดน้ำฝนบ้านนาฝางครอบคลุมพื้นที่ทั้งหมดของดุลยน้ำหนึ่งกันฝาปิด



รูปที่ 4.11 ผลสอบเทียบ โปรแกรมระหว่าง Graf น้ำท่าข้อมูลและน้ำท่าจาก โปรแกรม
ดุลยน้ำป้า(J-1) ปี 2551 กรณีที่ 2

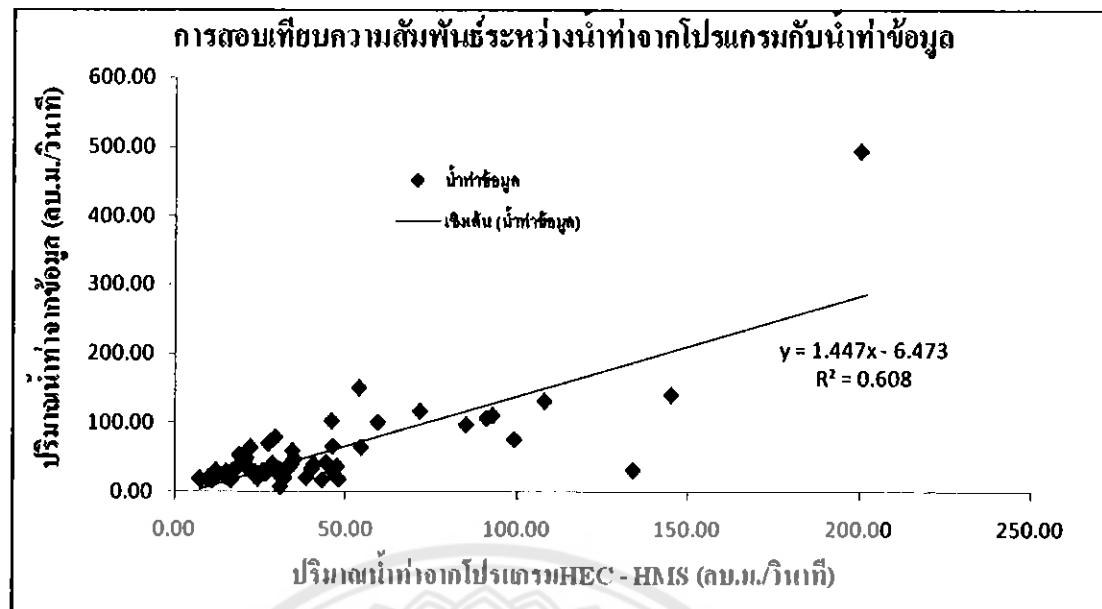


รูปที่ 4.12 ข้อมูลน้ำฝนและปรับเทียบ Graf น้ำท่าที่ได้จาก โปรแกรม HEC – HMS ของดุลยน้ำป้า
ปี 2551 กรณีที่ 2

ตาราง 4.15 ตัวอย่างผลสอนเทียบการคำนวณน้ำท่าที่ให้ผลผ่านสถานีวัดน้ำบ้านนาฝาง (J-1) จากโปรแกรมกับข้อมูลปี 2551 ในกรณีที่ 2

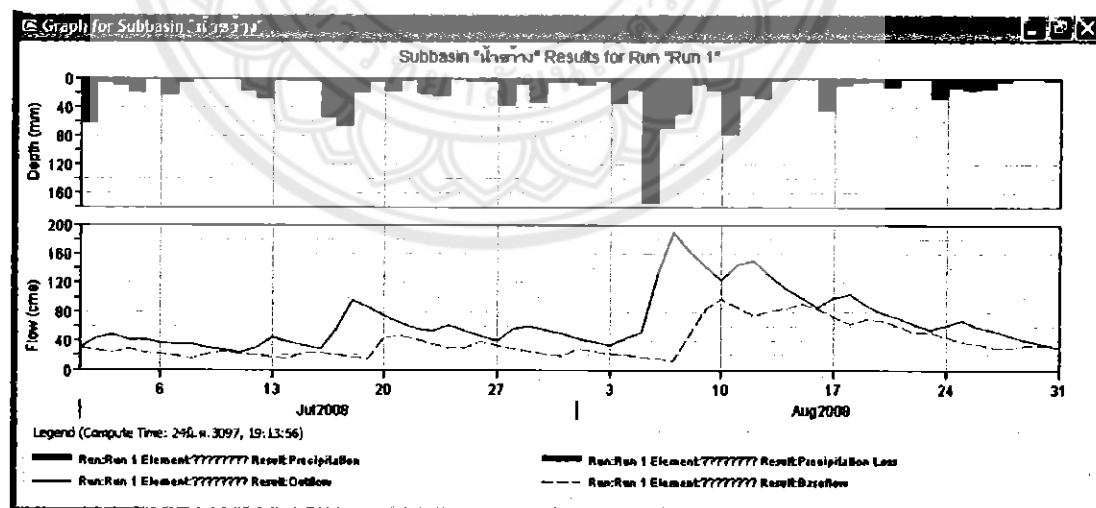
ว-ด-ป	ฝน (มม.)	ผลการคำนวณน้ำท่า HEC-HMS (ลบ.ม./วินาที)	ข้อมูล น้ำท่า (ลบ.ม./วินาที)
1-ส.ค.-51	4.99	21.40	33.20
2-ส.ค.-51	9.41	16.60	28.50
3-ส.ค.-51	4.38	14.90	28.50
4-ส.ค.-51	37.32	31.60	19.20
5-ส.ค.-51	19.78	46.30	28.50
6-ส.ค.-51	169.18	133.90	30.90
7-ส.ค.-51	81.83	200.10	493.00
8-ส.ค.-51	60.37	145.00	140.00
9-ส.ค.-51	10.50	92.80	110.00
10-ส.ค.-51	16.82	59.40	100.00
11-ส.ค.-51	89.34	91.00	106.00
12-ส.ค.-51	28.89	107.90	131.00
13-ส.ค.-51	32.68	71.70	116.00
14-ส.ค.-51	3.65	45.90	102.00

เมื่อนำปริมาณน้ำท่าที่ได้จากการโปรแกรมและปริมาณน้ำท่าที่ได้จากข้อมูลกรณีที่ 2 ในปี 2551 มาพื้อตัวภาพหาความสัมพันธ์ ดังแสดงในรูปที่ 4.7 โดยกำหนดให้แกน x คือน้ำท่าที่ได้จากโปรแกรม และแกน y คือน้ำท่าที่ได้จากข้อมูล ค่า R^2 ที่ได้ในกรณีแรก มีค่าเท่ากับ 0.608 ซึ่งแสดงให้เห็นว่าค่า R^2 ในปี 2551 มีความสัมพันธ์ปานกลาง โดยปริมาณน้ำท่าสูงสุดที่ได้จากการสอนเทียบโปรแกรม มีค่าเท่ากับ 200.1 ลบ.ม./วินาที ซึ่งเกิดขึ้นในวันที่ 7 สิงหาคม 2551 ตรงกับวันที่เกิดปริมาณน้ำท่าสูงสุดที่ได้จากข้อมูล คิดเป็นผลต่างระหว่างน้ำท่าข้อมูลกับน้ำท่าที่ได้จากการสอนเทียบโปรแกรมร้อยละ 59.41 โดยสังเกตได้ว่า ปริมาณน้ำฝนข้อมูลในกรณีหนึ่งและกรณีสองที่มีความใกล้เคียงกันทั้งปริมาณน้ำท่าสูงสุดจากการ Run โปรแกรม และค่า R^2



รูปที่ 4.13 การสอนเที่ยบความสัมพันธ์น้ำท่าจากโปรแกรม HEC – HMS และจากข้อมูล ปี 2551
กราฟที่ 2

4.2.2.1 นำเข้าพารามิเตอร์ที่ได้จากการสอนเที่ยบในพื้นที่เห็นอ่อนฝายปัจมุฯ ใช้ในการ Run โปรแกรมในพื้นที่น้ำขวางเพื่อหาปริมาณน้ำท่าที่ไหลออกจากร่องน้ำที่น้ำขวางในกราฟที่ 2



รูปที่ 4.14 ข้อมูลน้ำฝนและเปรียบเที่ยบกราฟน้ำท่าที่ได้จากโปรแกรม HEC – HMS ของคุณน้ำขวาง ปี 2551 กราฟที่ 2

ตาราง 4.16 ตัวอย่างผลการคำนวณปริมาณน้ำท่าจากโปรแกรมในพื้นที่อุ่นน้ำขวางข้อมูลปี 2551 ใน
กราฟที่ 2

ว-ด-ป	ฝน (มม.)	ผลการคำนวณน้ำท่า HEC-HMS (ลบ.ม./วินาที)
1-ส.ค.-51	6.28	43.70
2-ส.ค.-51	9.62	38.10
3-ส.ค.-51	3.57	33.30
4-ส.ค.-51	33.45	43.60
5-ส.ค.-51	15.26	52.10
6-ส.ค.-51	174.16	133.50
7-ส.ค.-51	69.86	188.60
8-ส.ค.-51	48.74	163.80
9-ส.ค.-51	8.20	142.50
10-ส.ค.-51	15.34	124.00
11-ส.ค.-51	77.98	144.50
12-ส.ค.-51	22.19	149.40
13-ส.ค.-51	27.45	130.00
14-ส.ค.-51	2.79	113.10

4.2.2.2 นำเข้าพารามิเตอร์ที่ได้จากการสอบเทียบในพื้นที่เหนือฝ่ายปั่วน้ำใช้ในการ Run โปรแกรมเพื่อหาปริมาณน้ำท่าจากสถานีวัดน้ำบ้านนาฝาง (J-1) รวมกับปริมาณน้ำท่าที่ให้มาจากชุดของคำน้ำขวางรวมกันที่จุด Junction-2(J-2) โดยที่เส้นทางการไหลของคำน้ำปั่วคือ (Reach-1)

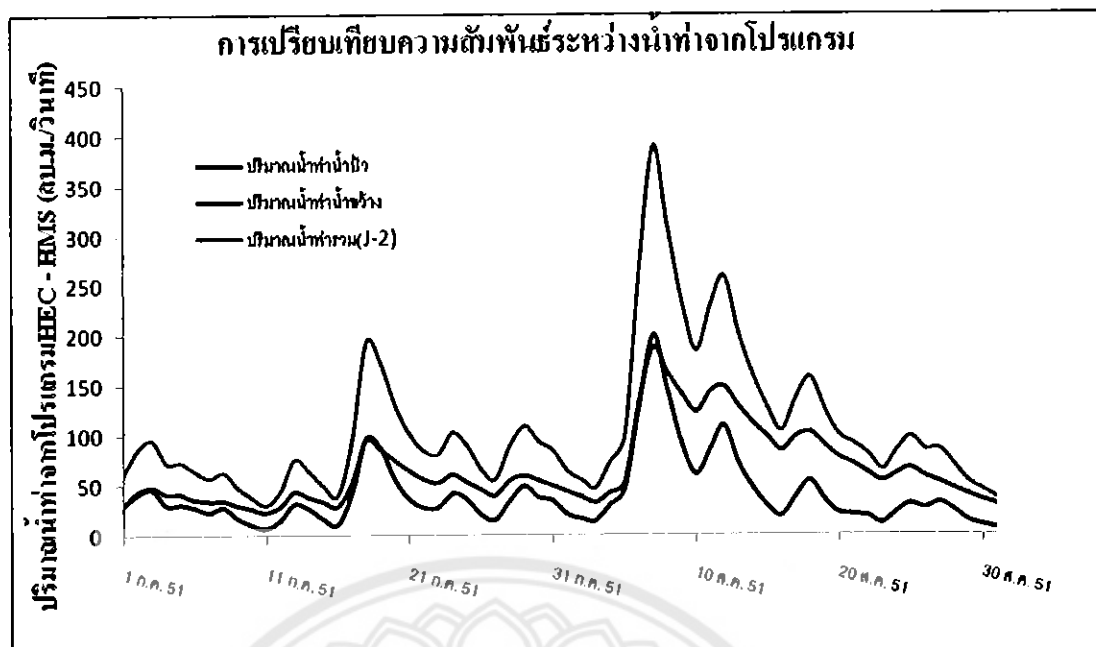
ตาราง 4.17 ตัวอย่างการเปรียบเทียบความสัมพันธ์ระหว่างกราฟน้ำท่าที่ Run จากโปรแกรม HEC-HMS ในปี 2551 ในการณ์ที่ 2 ณ จุดรวมน้ำปั่วและน้ำขวาง

ว-ด-ป	ปริมาณน้ำท่าหน้าปั่ว(ลบ. ม./วินาที)	ปริมาณน้ำท่าหน้าขวาง(ลบ. ม./วินาที)	ปริมาณน้ำท่ารวม(J-2)(ลบ.ม./วินาที)
1-ส.ค.-51	21.1	43.70	64.8
2-ส.ค.-51	17.3	38.10	55.3
3-ส.ค.-51	14.4	33.30	47.7
4-ส.ค.-51	30.6	43.60	74.2
5-ส.ค.-51	45.9	52.10	98
6-ส.ค.-51	126.7	133.50	260.2
7-ส.ค.-51	200.6	188.60	389.3
8-ส.ค.-51	149.3	163.80	313.1
9-ส.ค.-51	93.6	142.50	236.1
10-ส.ค.-51	61.6	124.00	185.6
11-ส.ค.-51	86.4	144.50	230.9
12-ส.ค.-51	110.4	149.40	259.8
13-ส.ค.-51	72.6	130.00	202.6
14-ส.ค.-51	47.3	113.10	160.3

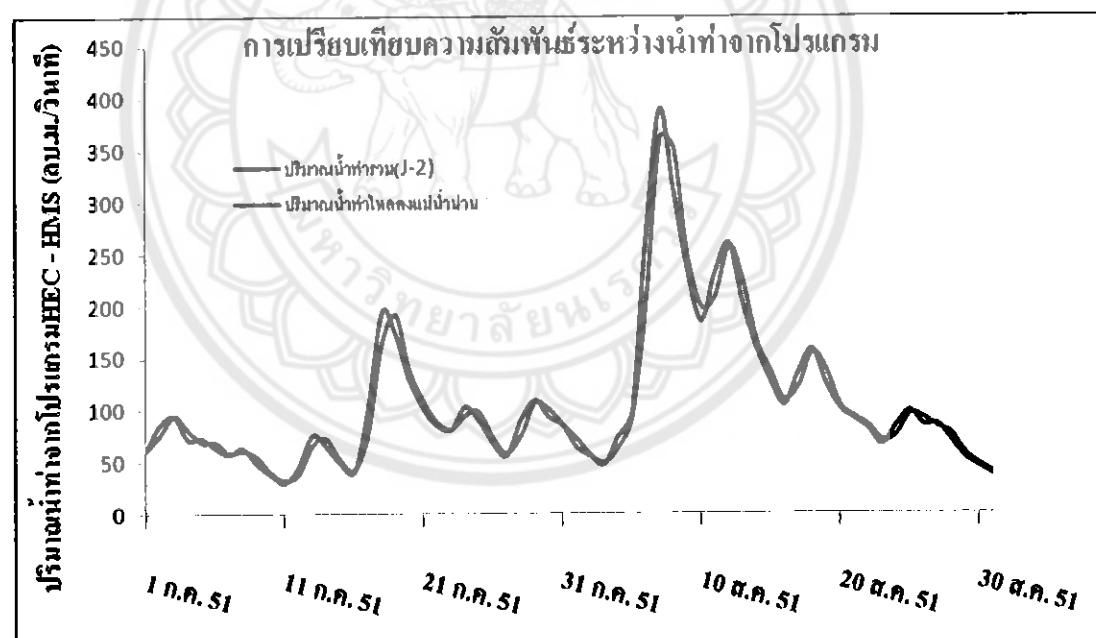
4.2.2.3 นำเข้าพารามิเตอร์ที่ได้จากการสอบถามเทียบในพื้นที่เหนือฝายปั่วมาใช้ในการ Run โปรแกรมเพื่อหาปริมาณน้ำท่าที่ให้ลากจากจุดรวมปริมาณน้ำท่าน้ำปีกับปริมาณน้ำท่าน้ำขวางที่จุด Junction-2(J-2) ออกสู่ชุดไฟลลงแม่น้ำน่าน

ตาราง 4.18 ตัวอย่างการเปรียบเทียบความสัมพันธ์ระหว่างกราฟน้ำท่าที่ Run จากโปรแกรม HEC-HMS ในปี 2551 ในการน้ำที่ 2 ณ จุดออกแม่น้ำน่าน

ว-ด-ป	ปริมาณน้ำท่ารวม(J-2) (ลบ.ม./วินาที)	ปริมาณน้ำท่าไฟลลงแม่น้ำน่าน(ลบ.ม./วินาที)
1-ส.ค.-51	64.8	72.6
2-ส.ค.-51	55.3	56.2
3-ส.ค.-51	47.7	50.4
4-ส.ค.-51	74.2	62.9
5-ส.ค.-51	98	92.9
6-ส.ค.-51	260.2	198.6
7-ส.ค.-51	389.3	361.7
8-ส.ค.-51	313.1	353.2
9-ส.ค.-51	236.1	251.3
10-ส.ค.-51	185.6	199.7
11-ส.ค.-51	230.9	207.9
12-ส.ค.-51	259.8	257.1
13-ส.ค.-51	202.6	226
14-ส.ค.-51	160.3	168.1



รูปที่ 4.15 ผลการเปรียบเทียบความสัมพันธ์ระหว่างกราฟน้ำท่าจากโปรแกรมในกรณีที่ 2



รูปที่ 4.16 ผลการเปรียบเทียบความสัมพันธ์ระหว่างกราฟน้ำท่าจากโปรแกรม ณ จุดอุกแม่น้ำน่าน ในกรณีที่ 2

4.3 ผลการทดสอบโปรแกรมของปี 2549

ตารางที่ 4.19 ข้อมูลน้ำเข้าที่ใช้ในการทดสอบโปรแกรมปี 2549

รหัสสถานี	ชื่อสถานี	ประเภทข้อมูล	ปีที่ทดสอบเทียบ	ปริมาณน้ำทั้งปี	
28164	อุทบานฯญา	ฝนรายวัน	2549	2100.4 มน./ปี	5.75 มน./วัน
90201	บ้านนาฝาง	ฝนรายวัน	2549	1543.5 มน./ปี	4.23 มน./วัน
90201	บ้านนาฝาง	น้ำท่ารายวัน	2549	3904.2 ลบ.ม./วินาที	337 ล้าน ลบ.ม.

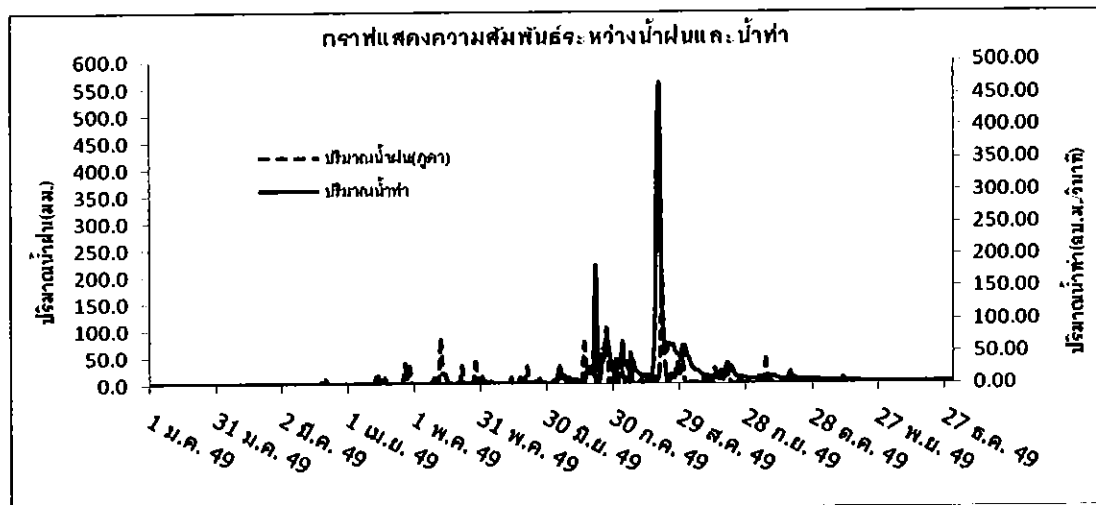
ในการทดสอบแบบจำลองแบ่งการนำเข้าข้อมูลน้ำฝนเป็น 2 กรณี

4.3.1 กรณีที่ 1 นำเข้าข้อมูลน้ำฝนของสถานีวัดน้ำฝนอุทบานฯญาครอบคลุมพื้นที่ทั้งหมดของถุ่มน้ำแห่งนี้อย่างปัวเป็นกรณีแรก โดยมีปริมาณฝนตลอดทั้งปี 2100.4 มน./ปี คิดเป็นปริมาณฝนเฉลี่ย 5.75 มน./วัน เปรียบเทียบกับข้อมูลปริมาณน้ำท่าบ้านนาฝาง โดยมีปริมาณน้ำท่าตลอดทั้งปี 3904.2 ลบ.ม./วินาที คิดเป็นปริมาณน้ำท่า 337 ล้าน ลบ.ม.

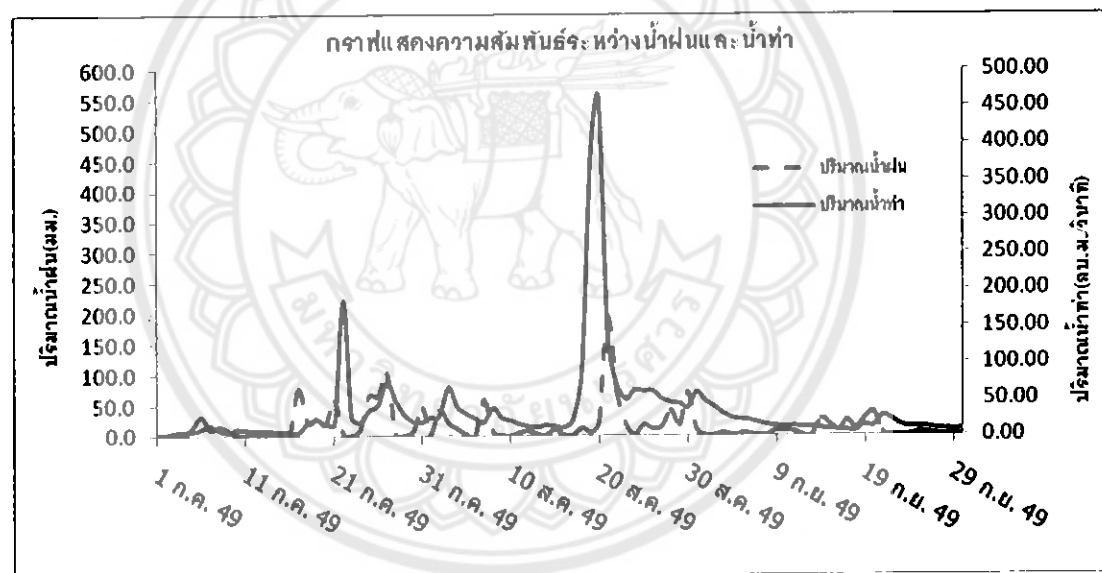
รูปที่ 4.11 แสดงปริมาณข้อมูลน้ำฝนของสถานีวัดน้ำฝนอุทบานฯญาเปรียบเทียบกับข้อมูลน้ำท่าของสถานีวัดน้ำบ้านนาฝางจะเห็นว่าช่วงที่มีปริมาณน้ำฝนและน้ำท่าสูงสุดคือ ช่วงเดือนกรกฎาคมถึงเดือนกันยายน ดังนั้นจึงได้เลือกช่วงเวลาดังกล่าวเพื่อนำมาไปวิเคราะห์โดยใช้โปรแกรม HEC-HMS โดยช่วงเวลาที่เลือกคือตั้งแต่วันที่ 1 กรกฎาคม-30 กันยายน มีปริมาณน้ำฝนรวมในช่วงเวลาดังกล่าวของปี 2549 มีค่าเท่ากับ 1478.9 มน.น้ำฝนสูงสุด 193.5 มน. ในวันที่ 21 สิงหาคม และ ปริมาณน้ำท่ารวม มีค่าเท่ากับ 3180.9 ลบ.ม./วินาที น้ำท่าสูงสุด 461 ลบ.ม. ในวันที่ 20 สิงหาคม ความสัมพันธ์ของข้อมูลน้ำฝนของสถานีวัดน้ำฝนอุทบานฯญาเปรียบเทียบกับข้อมูลน้ำท่าของสถานีบ้านนาฝางในช่วงเวลาดังกล่าวเป็นดังรูปที่ 4.12

ตารางที่ 4.20 ข้อมูลน้ำเข้าที่ใช้ในการทดสอบโปรแกรมกรณีที่ 1

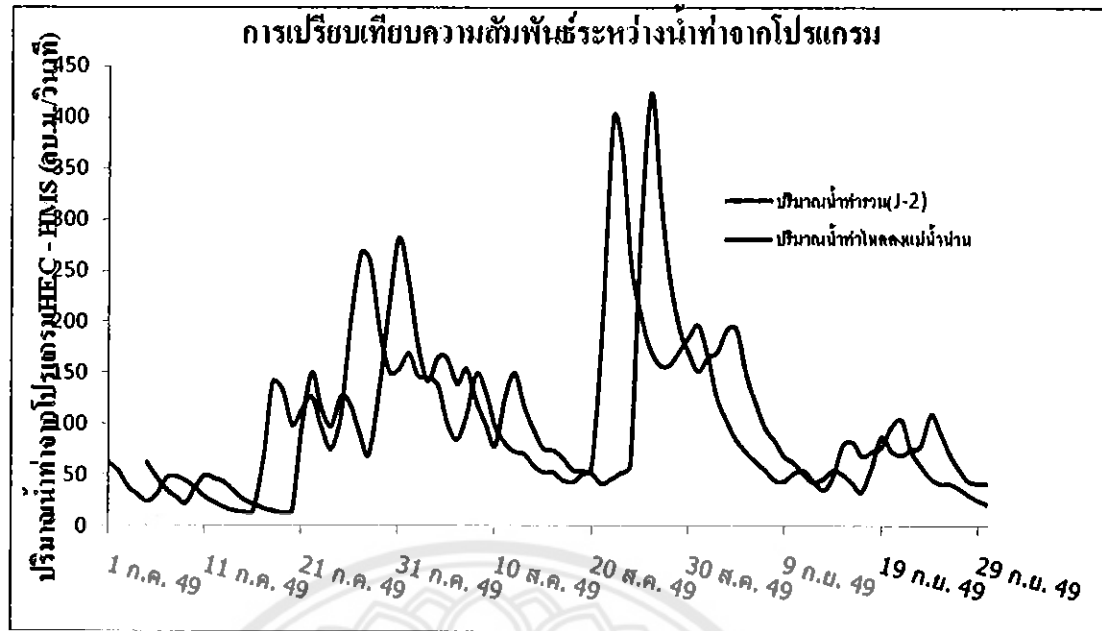
รหัสสถานี	ชื่อสถานี	ประเภทข้อมูล	ปริมาณน้ำรวม	ปริมาณน้ำสูงสุด	ว.ค.-ป
28164	อุทบานฯญา	ฝนรายวัน	1478.9 มน.	193.5 มน.	21 ส.ค.49
90201	บ้านนาฝาง	น้ำท่ารายวัน	3180.9 ลบ.ม./วินาที	461 ลบ.ม.	20 ส.ค.49



รูปที่ 4.17 แสดงปริมาณข้อมูลน้ำฝนของสถานีวัดน้ำฝนอุทบานฯ ภูคานเปรียบเทียบกับข้อมูลน้ำท่าของสถานีบ้านนาฝาง ปี 2549 กรณีที่ 1



รูปที่ 4.18 แสดงปริมาณข้อมูลน้ำฝนของสถานีวัดน้ำฝนอุทบานฯ ภูคานเปรียบเทียบกับข้อมูลน้ำท่าของสถานีบ้านนาฝางช่วงวันที่ 01 ก.ค. – 30 ก.ย. ของอุ่มน้ำปี 2549 กรณีที่ 1



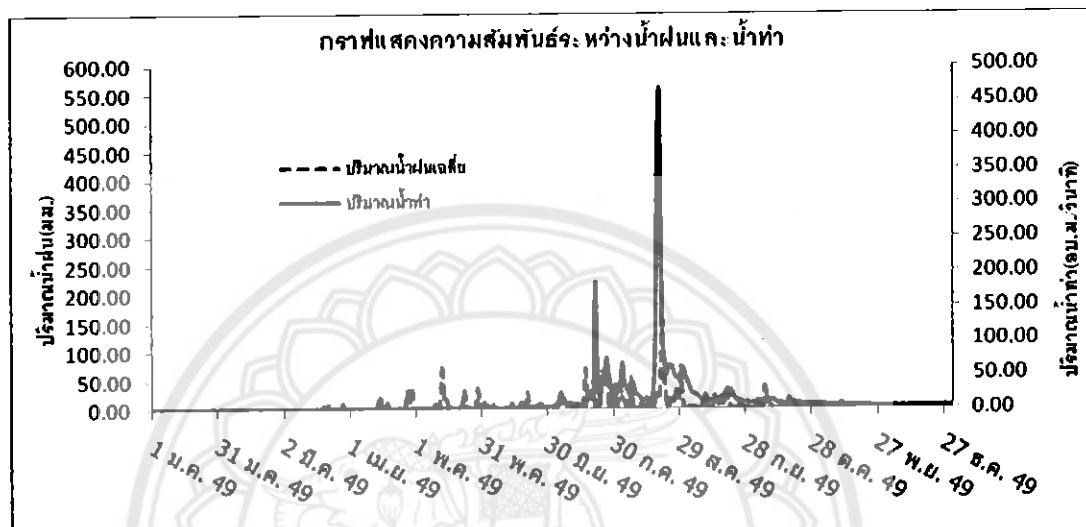
รูปที่ 4.19 ผลการเปรียบเทียบความสัมพันธ์ระหว่างกราฟน้ำท่าจากโปรแกรม ณ จุดออกแม่น้ำท่าใน ปี 2549 ในกรณีที่ 1

4.3.2 กรณีที่ 2 ใช้ข้อมูลน้ำฝนเป็นค่าที่ถ่วงน้ำหนักของ สถานีวัดน้ำฝนอุทัยฯฯ และ สถานีวัดน้ำฝนบ้านนาฝางครอบคลุมพื้นที่ทั้งหมดของอุ่มน้ำเหนือฝายปัว โดยมีปริมาณฝนเฉลี่ยตลอดทั้งปี 2000.1 ลบ.ม./ปี คิดเป็นปริมาณฝนเฉลี่ย 5.48 ลบ.ม./วัน เปรียบเทียบกับข้อมูลปริมาณน้ำท่าบ้านนาฝาง โดยมีปริมาณน้ำท่าตลอดทั้งปี 3904.2 ลบ.ม./วินาที คิดเป็นปริมาณน้ำท่า 337 ล้าน ลบ.ม.

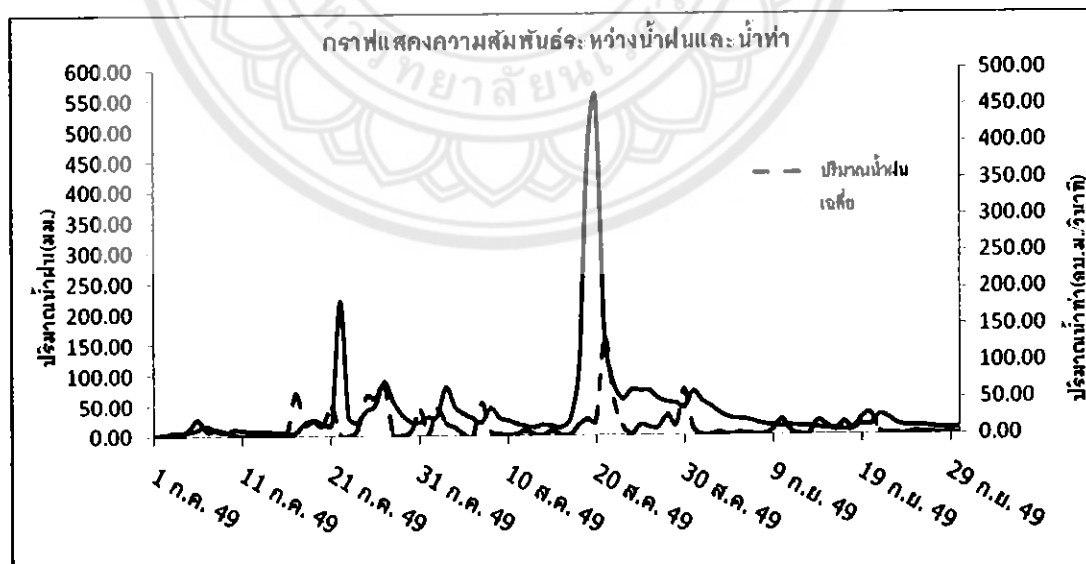
รูปที่ 4.13 แสดงปริมาณข้อมูลน้ำฝนเฉลี่ยของสถานีวัดน้ำฝนอุทัยฯฯ และสถานีวัดน้ำฝนบ้านนาฝางเปรียบเทียบกับข้อมูลน้ำท่าของสถานีบ้านนาฝางจะเห็นว่าช่วงที่มีปริมาณน้ำฝนและน้ำท่าสูงสุดคือ ช่วงเดือนกรกฎาคมถึงเดือนกันยายน ดังนั้นจึงได้เลือกช่วงเวลาดังกล่าวเพื่อนำไปวิเคราะห์โดยใช้โปรแกรม HEC-HMS โดยช่วงเวลาที่เลือกคือตั้งแต่วันที่ 1 กรกฏาคม–30 กันยายน ปริมาณน้ำฝนรวมในช่วงเวลาดังกล่าวของปี 2549 มีค่าเท่ากับ 1379.9 ลบ.ม. น้ำฝนสูงสุด 157 ลบ.ม. ในวันที่ 21 สิงหาคม และ ปริมาณน้ำท่ารวม มีค่าเท่ากับ 3180.9 ลบ.ม./วินาที น้ำท่าสูงสุด 461 ลบ.ม./วินาที ในวันที่ 20 สิงหาคม ความสัมพันธ์ของข้อมูลน้ำฝนเฉลี่ยของสถานีวัดน้ำฝนอุทัยฯฯ และสถานีวัดน้ำฝนบ้านนาฝางเปรียบเทียบกับข้อมูลน้ำท่าของสถานีบ้านนาฝางในช่วงเวลาดังกล่าว เป็นดังรูปที่ 4.14

ตารางที่ 4.21 ข้อมูลน้ำเข้าที่ใช้ในการทดสอบโปรแกรมกรณีที่ 2

รหัสสถานี	ชื่อสถานี	ประเภทข้อมูล	ปริมาณน้ำรวม	ปริมาณน้ำสูงสุด	ว-ค-ป
28164	อุทยานฯภูคา	ฝนรายวันเฉลี่ย	1379.9 มม.	157 มม.	21 ส.ค. 49
90201	บ้านนาฝาง	น้ำท่ารายวัน	3180.9 ลบ.ม./วินาที	461ลบ.ม.	20 ส.ค. 49

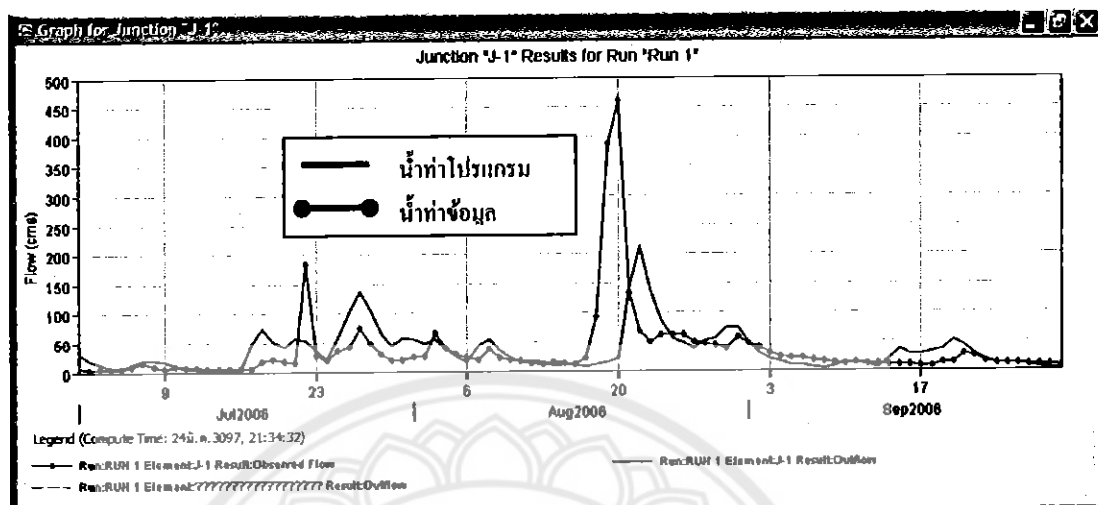


รูปที่ 4.20 แสดงปริมาณข้อมูลน้ำฝนเฉลี่ยของสถานีวัดน้ำฝนอุทยานฯภูคาและสถานีวัดน้ำฝนบ้านนาฝางเปรียบเทียบกับข้อมูลน้ำท่าของสถานีบ้านนาฝาง ปี 2549 กรณีที่ 2

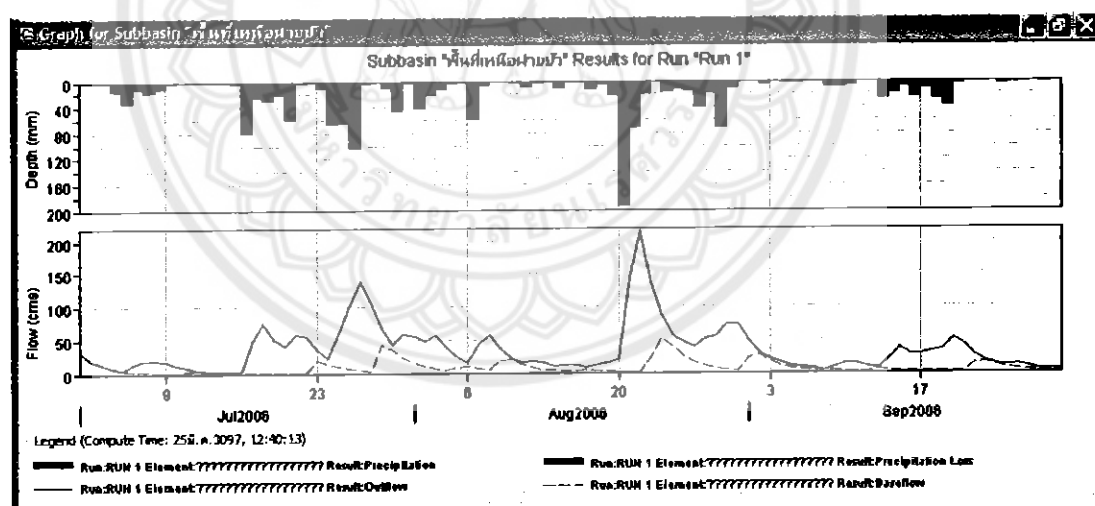


รูปที่ 4.21 แสดงการเลือกช่วงปริมาณข้อมูลน้ำฝนเฉลี่ยของสถานีวัดน้ำฝนอุทยานฯภูคาและสถานีวัดน้ำฝนบ้านนาฝางเปรียบเทียบกับข้อมูลน้ำท่าของสถานีบ้านนาฝางช่วงวันที่ 01 ก.ค. – 30 กันยายน ของคุณน้ำปี 2549 กรณีที่ 2

**4.3.3 กรณีที่ 1 นำเข้าข้อมูลน้ำฝนของสถานีวัดน้ำฝนอุทัยฯภูมิภาครอบคุณพันธ์ทั้งหมดของ
อุณหภูมิน้ำท่าปีawa**



**รูปที่ 4.22 ผลทดสอบโปรแกรมระหว่างกราฟน้ำท่าข้อมูลและน้ำท่าจากโปรแกรมอุณหภูมิน้ำท่าปีawa(J-1)
ปี 2549 กรณีที่ 1**

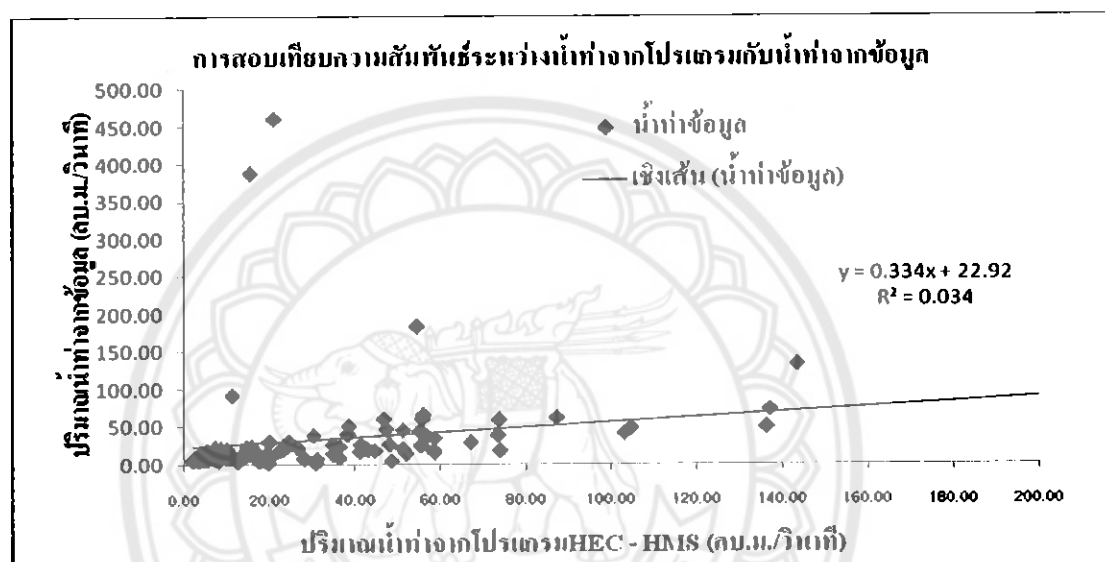


รูปที่ 4.23 ข้อมูลน้ำฝนอุทัยฯภูมิภาคตีบกราฟน้ำท่าที่ได้จากโปรแกรมHEC – HMS ของอุณหภูมิน้ำท่าปีawa ปี 2549 กรณีที่ 1

ตาราง 4.22 ตัวอย่างผลการคำนวณน้ำท่าที่ให้ผลผ่านสถานีวัดน้ำข้านาฝาง (J-1) จากโปรแกรมกัน
ข้อมูลปี 2549 ใน กรฉบับที่ 1

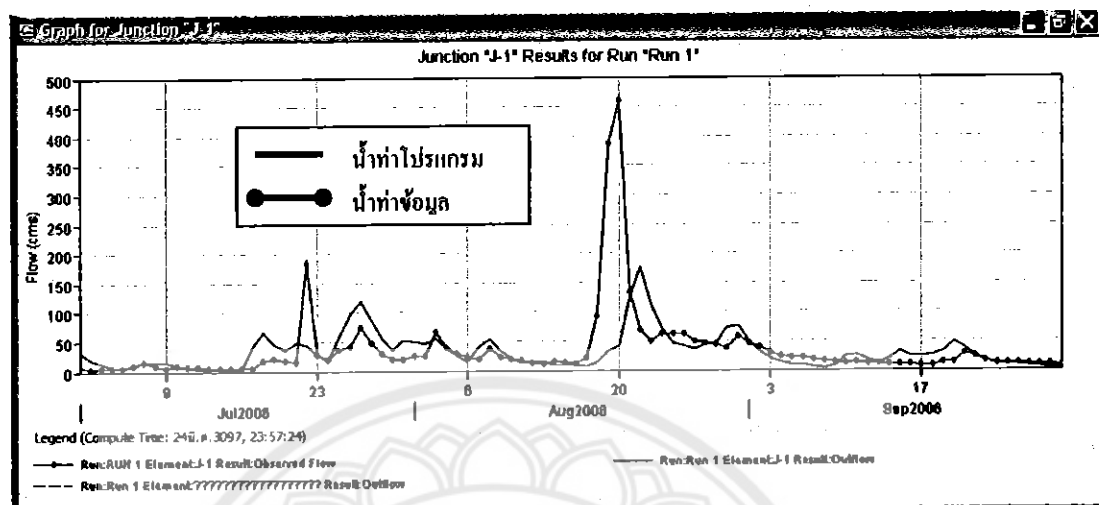
ว-ด-ป	ฝน (มม.)	ผลการคำนวณน้ำท่า HEC-HMS (ลบ.ม./วินาที)	ข้อมูล น้ำท่า (ลบ.ม./วินาที)
15-ส.ค.-49	10.4	10.80	13.20
16-ส.ค.-49	0.6	11.40	11.10
17-ส.ค.-49	0.0	7.30	22.10
18-ส.ค.-49	12.5	11.20	91.70
19-ส.ค.-49	4.8	15.40	388.00
20-ส.ค.-49	20.5	21.10	461.00
21-ส.ค.-49	193.5	143.40	133.00
22-ส.ค.-49	70.4	213.10	69.00
23-ส.ค.-49	18.6	136.40	49.70
24-ส.ค.-49	0.5	87.30	62.40
25-ส.ค.-49	16.5	55.80	61.20
26-ส.ค.-49	11.2	46.80	61.20
27-ส.ค.-49	14.3	38.40	50.80
28-ส.ค.-49	40.5	51.10	45.70
29-ส.ค.-49	17.5	55.30	43.60
30-ส.ค.-49	70.7	73.50	38.30
31-ส.ค.-49	10.8	73.80	58.80

เมื่อนำปริมาณน้ำท่าที่ได้จากการโปรแกรมและปริมาณน้ำท่าที่ได้จากข้อมูลกรณีที่ 1 ในปี 2549 มาพล็อตกราฟหาความสัมพันธ์ ดังแสดงในรูปที่ 4.17 โดยกำหนดให้แกน x คือน้ำท่าที่ได้จากการโปรแกรม และแกน y คือน้ำท่าที่ได้จากข้อมูล ค่า R^2 ที่ได้ในการพิจารณา มีค่าเท่ากับ 0.034 ซึ่งแสดงให้เห็นว่าค่า R^2 ในปี 2549 มีความสัมพันธ์น้อยมาก เนื่องจากปริมาณน้ำท่าสูงสุดที่ได้จากการเปรียบเทียบโปรแกรม มีค่าเท่ากับ 213. ลบ.ม./วินาที ซึ่งเกิดขึ้นในวันที่ 22 สิงหาคม 2549 ซึ่งไม่ตรงกับวันที่เกิดปริมาณน้ำท่าสูงสุดที่ได้จากข้อมูลที่เกิดก่อนหน้า 2 วัน สาเหตุเนื่องจากข้อมูลฝนที่ใช้ในการนำเข้าเกิดปริมาณสูงสุดในวัน 21 สิงหาคม ทำให้ไม่สามารถคิดคือร้อยละความแตกต่างได้

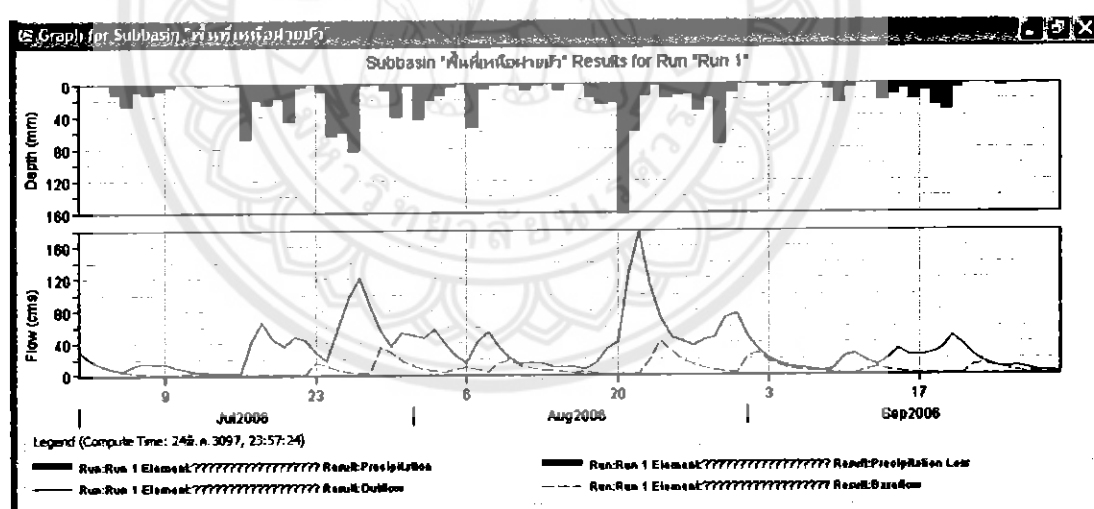


รูปที่ 4.24 การเปรียบเทียบความสัมพันธ์น้ำท่าจากโปรแกรม HEC - HMS และจากข้อมูล ปี 2549
กรณีที่ 1

4.3.4 กรณีที่ 2 นำเข้าข้อมูลน้ำฝนเป็นค่าที่ถ่วงน้ำหนักของ สถานีวัดน้ำฝนอุทบานฯ ภูคา และ สถานีวัดน้ำฝนบ้านนาฝางครอบคลุมพื้นที่ทั้งหมดของคุ่มน้ำหนึ่งน้ำหนึ่งฝายปัว



รูปที่ 4.25 ผลเปรียบเทียบโปรแกรมระหว่างกราฟน้ำท่าข้อมูลและน้ำท่าจากโปรแกรมคุ่มน้ำปัว(J-1)ปี 2549 กรณีที่ 2

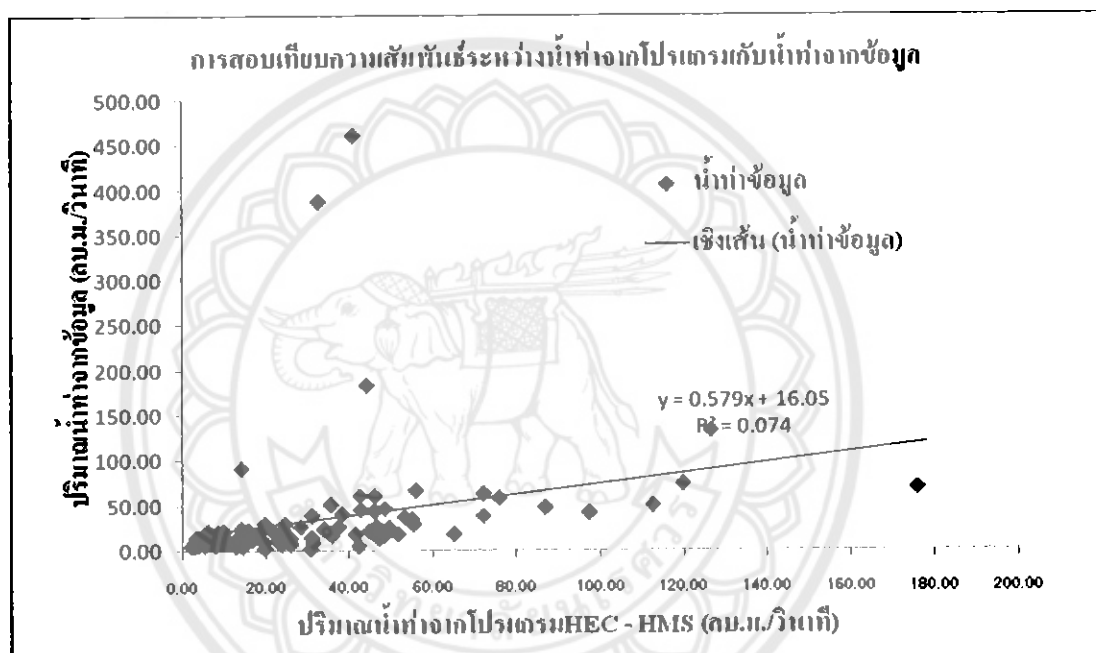


รูปที่ 4.26 ข้อมูลน้ำฝนเฉลี่ยเปรียบเทียบกราฟน้ำท่าที่ได้จากโปรแกรม HEC – HMS ของคุ่มน้ำปัว ปี 2549 กรณีที่ 2

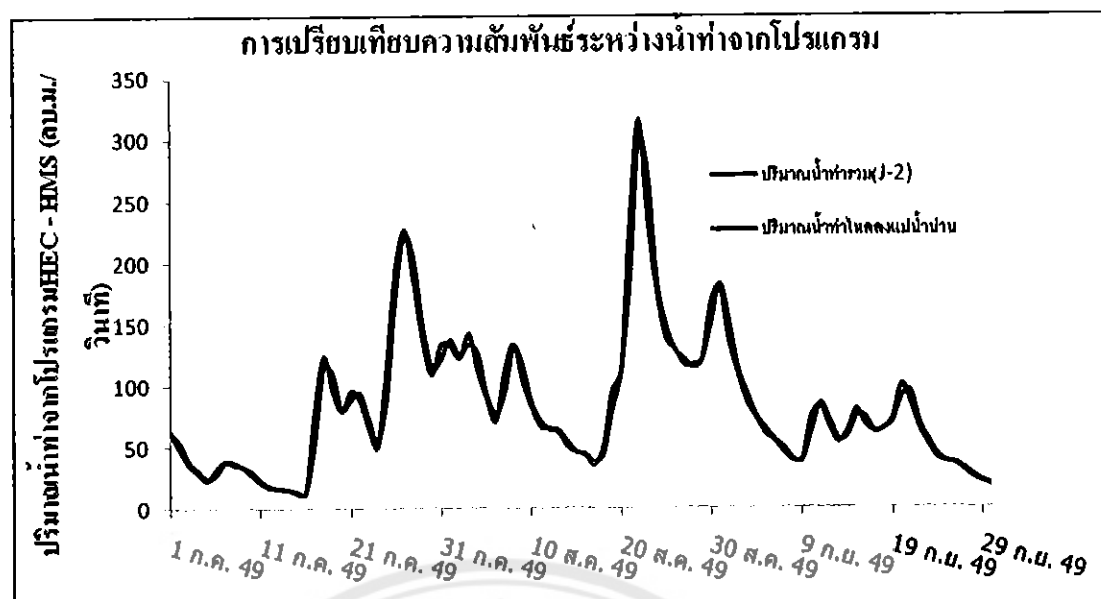
ตาราง 4.23 ตัวอย่างผลการคำนวณน้ำท่าที่ไฟล์ผ่านสถานีวัดน้ำบ้านนาฝาง (J-1) จากโปรแกรมกัน
ช้อมูลปี 2549 ในกรณีที่ 2

ว-ค-ป	ฝน (มม.)	ผลการคำนวณน้ำท่า HEC-HMS (ลบ.ม./วินาที)	ช้อมูล น้ำท่า (ลบ.ม./วินาที)
15-ส.ค.-49	8.48	9.60	13.20
16-ส.ค.-49	0.81	9.70	11.10
17-ส.ค.-49	1.10	6.20	22.10
18-ส.ค.-49	17.12	14.10	91.70
19-ส.ค.-49	26.35	32.70	388.00
20-ส.ค.-49	22.55	41.10	461.00
21-ส.ค.-49	157.50	126.50	133.00
22-ส.ค.-49	58.79	176.00	69.00
23-ส.ค.-49	15.58	112.60	49.70
24-ส.ค.-49	2.17	72.10	62.40
25-ส.ค.-49	16.67	46.10	61.20
26-ส.ค.-49	14.09	42.50	61.20
27-ส.ค.-49	12.89	35.70	50.80
28-ส.ค.-49	32.81	42.90	45.70
29-ส.ค.-49	16.53	46.20	43.60
30-ส.ค.-49	74.12	72.00	38.30
31-ส.ค.-49	11.33	75.90	58.80

เมื่อนำปริมาณน้ำท่าที่ได้จากการโปรแกรมและปริมาณน้ำท่าที่ได้จากข้อมูลกรณีที่ 2 ในปี 2549 มาพิจารณาพบว่าความสัมพันธ์ ดังแสดงในรูปที่ 4.20 โดยกำหนดให้แกน x คือน้ำท่าที่ได้จากการโปรแกรม และแกน y คือน้ำท่าที่ได้จากข้อมูล ค่า R^2 ที่ได้ในการผิวแรก มีค่าเท่ากับ 0.074 ซึ่งแสดงให้เห็นว่าค่า R^2 ในปี 2549 มีความสัมพันธ์น้อยมาก เนื่องจากปริมาณน้ำท่าสูงสุดที่ได้จากการเปรียบเทียบโปรแกรม มีค่าเท่ากับ 176 ลบ.ม./วินาที ซึ่งเกิดขึ้นในวันที่ 22 สิงหาคม 2549 ซึ่งไม่ตรงกับวันที่เกิดปริมาณน้ำท่าสูงสุดที่ได้จากข้อมูลที่เกิดก่อนหน้า 2 วัน ทำให้ไม่สามารถศึกษาอย่างลึกซึ้ง แต่ต่างได้ โดยสังเกตได้ว่า ปริมาณน้ำฝนข้อมูลในกรณีที่ 1 และกรณีที่ 2 มีความใกล้เคียงกันทั้งปริมาณน้ำท่าสูงสุดจากการ Run โปรแกรม และค่า R^2



รูปที่ 4.27 การสอบเทียบความสัมพันธ์น้ำท่าจากโปรแกรม HEC – HMS และจากข้อมูล ปี 2549



รูปที่ 4.28 ผลการทดสอบความสัมพันธ์ระหว่างกราฟน้ำท่าจากโปรแกรม ณ จุดอุกเม่น้ำน่าน ในกรณีที่ 2

ตาราง 4.24 สรุปผลการทดสอบโปรแกรมปี 2551 และปี 2549 ในกรณีที่ 1 นำเข้าข้อมูลน้ำฝน อุทัยธานี ภาคและ กรณีที่ 2 นำเข้าฝนเดลลี่

สรุปผลการทดสอบเทียบในปี 2551 ช่วงเวลา 1 ก.ค. - 31 ส.ค.					
กรณี	ปริมาณฝน รวม(มม.)	ปริมาณน้ำท่า ข้อมูล (ล้าน ลบ.ม.)	ปริมาณน้ำท่า โปรแกรม (ล้าน ลบ.ม.)	อัตราการไหล สูงสุดจากข้อมูล (ลบ.ม./วินาที)	อัตราการไหล สูงสุดจาก โปรแกรม (ลบ.ม./วินาที)
1	1412.00	746.5	241.6	493.00	204.90
2	1290.00	746.5	220.3	493.00	200.10

ตาราง 4.24(ต่อ)

สรุปผลการสอนเที่ยบในปี 2549 ช่วงเวลา 1 ก.ค. - 30 กันยายน					
กรณี	ปริมาณผู้ รวม(น.m.)	ปริมาณน้ำท่า ข้อมูล (ล้าน ลบ.ม.)	ปริมาณน้ำท่า โปรแกรม (ล้าน ลบ.ม.)	อัตราการไหล สูงสุดจากข้อมูล (ลบ.ม./วินาที)	อัตราการไหล สูงสุดจาก โปรแกรม (ลบ.ม./วินาที)
1	1479.80	274.8	276.6	461.00	213.10
2	1379.90	274.8	253.8	461.00	176.00

สรุป ผลที่ได้จากการสอนเที่ยบในพื้นที่ดุลน้ำหนึ่งฝ่ายปัจวัน ที่เลือกทำการทดสอบในช่วงปี 2551 ชั่งช่วงที่เกิดอัตราการไหลสูงสุด ค่าที่ได้จากข้อมูลกับการ Run โปรแกรมมีความแตกต่างกัน ค่อนข้างสูง เมื่อได้คัดเลือกค่าพารามิเตอร์ความสัมพันธ์ผลลัพธ์ระหว่างข้อมูลกับผลการ Run จาก โปรแกรม ใกล้เคียงกันมากที่สุด และ ได้ค่า R² เฉลี่ยประมาณ 0.6 แม้จะได้พยากรณ์ปรับแก้ ค่าพารามิเตอร์ต่างๆแล้ว แต่ผลของกราฟปริมาณน้ำท่าที่ได้จากโปรแกรมในส่วนก่อนและหลังที่ เกิดอัตราการไหลสูงสุดมีค่าที่ใกล้เคียงกันตามช่วงเวลาการชี้-ลงของ โถงน้ำท่ามีความสัมพันธ์ สองคดีองกันคือ ดังจะเห็นว่า ปริมาณของน้ำท่าที่ได้จากโปรแกรมมีค่าต่ำกว่าอัตราการไหลของ น้ำท่าที่ได้จากข้อมูล ซึ่งเมื่อนำค่า พารามิเตอร์เหล่านี้ไปใช้ในการทดสอบในปี 2549 ความสัมพันธ์ ผลลัพธ์ระหว่างข้อมูลกับผลการ Run โปรแกรม ข้อมูลน้ำท่าลดลงเหลือ R² 0.03-0.07 พร้อมทั้งอาจ เกิดจากลักษณะทางกายภาพของพื้นที่ ทั้งในเรื่องความลาดชัน สภาพความชื้นของพื้นที่ ที่มีลักษณะ ความลาดชันมากและมีความชื้นที่สูงกว่า ค่าที่กำหนดให้ใช้จากตารางค่าโถงตัวเลข (CN)

บทที่ 5

บทสรุปและข้อเสนอแนะ

5.1 บทสรุป

การศึกษาสภาพอุทกิจภายนอกของลุ่มน้ำ อำเภอปัว โดยแบบจำลองคณิตศาสตร์ HEC-HMS ที่มีความสามารถในการประเมินปริมาณน้ำท่ารายวัน จากข้อมูลน้ำฝนรายวัน และค่าเงื่อนไขเริ่มต้น ของแบบจำลอง การปรับเทียบแบบจำลองในแต่ละขั้นตอนเป็นการหาค่าพารามิเตอร์ต่าง คือ การจำลองการสูญเสียของน้ำท่า (Loss Model) ใน การศึกษานี้ใช้วิธีของ SCS Curve Number พารามิเตอร์คือ Initial Abstraction, Curve Number, Impervious การจำลองน้ำท่าที่ไหลบนผิวดิน (Direct Runoff Model) ใช้วิธีของ Snyder Unit Hydrograph พารามิเตอร์คือ Standard Lag และ Peaking Coefficient การจำลองการไหลพื้นฐาน(Base flow Model) ใช้วิธีของ Recession พารามิเตอร์คือ Initial flow, Recession Ratio และ Threshold flow การจำลองการเคลื่อนตัวในลำน้ำ ใช้วิธีของ Muskingum พารามิเตอร์คือ K,X

ในการประเมินปริมาณน้ำท่ารายวันนี้ ได้ประยุกต์กับสถานีวัดน้ำท่าบ้านนาฝาง โดยได้การนำเข้าข้อมูลน้ำฝน 2 กรณี คือ กรณีที่ 1 ใช้ข้อมูลน้ำฝนของสถานีวัดน้ำฝนอุทยานฯ ครอบคลุมพื้นที่ทั้งหมดของลุ่มน้ำหน่อฟายปัว และ กรณีที่ 2 ใช้ข้อมูลน้ำฝนเป็นค่าที่ถ่วงน้ำหนักของ สถานีวัดน้ำฝนอุทยานฯ กذا และสถานีวัดน้ำฝนบ้านนาฝางครอบคลุมพื้นที่ทั้งหมดของลุ่มน้ำหน่อฟายปัว ช่วงเวลาที่ทำการสอนที่ยึดปริมาณน้ำท่าบริเวณพื้นที่หน่อฟายปัวในแบบจำลองใช้ปี 2551 ห้อง 2 กรณี และทำการประเมินปริมาณน้ำท่าทั้งระบบของลุ่มน้ำปัวช่วงเวลาในการจำลองใช้เวลา 2 ปี คือ ปี 2551 และ ปี 2549 ข้อมูลที่ใช้คือ ปริมาณน้ำฝนรายวันซึ่งมีสถานีวัดน้ำฝนจำนวน 2 สถานี จากการประยุกต์ใช้แบบจำลองคณิตศาสตร์ HEC-HMS ผลการศึกษาได้ค่าพารามิเตอร์ต่างๆ ของลุ่มน้ำดังนี้ การจำลองการสูญเสียน้ำท่า (Loss Model) ของ SCS คือ CN มีค่า และ Ia 83.49 มีค่า 10.04 นม. การจำลองน้ำท่าที่ไหลบนผิวดิน(Direct Runoff Model) SCS คือ ประมาณ 23 ชั่วโมง การจำลองการไหลพื้นฐาน(Base flow Model) วิธีการจำลองแบบ Recession คือ Initial flow มีค่า 30.9 ลบ.ม./วินาที, Recession Ratio และ Threshold flow มีค่า 0.67 และ 0.977 ตามลำดับ การจำลองการเคลื่อนตัวในลำน้ำ วิธี Muskingum คือ K และ X มีค่า 1.1-6.8 ชั่วโมง, 0.2 ตามลำดับ ค่า R^2 ที่ได้ของปี 2551 กรณีที่ 1 มีค่าเท่ากับ 0.0580 กรณีที่ 2 มีค่าเท่ากับ 0.608 และปี 2549 กรณีที่ 1 0.034 กรณีที่ 2 0.074 ซึ่งถือว่ามีความสัมพันธ์กับปานกลางทั้ง 2 กรณี ในปี 2551 และมีความสัมพันธ์กันน้อยทั้ง 2 กรณี ในปี 2549 อันเนื่องมาจากการขาดทุน ข้อมูลที่นำเข้าในแบบจำลองทั้งเป็นข้อมูลที่มีการขาดช่วง

ในการเก็บข้อมูล จึงทำให้ข้อมูลน้ำฝนและข้อมูลน้ำฝนเฉลี่ย มีการคลาดเคลื่อน และสถานที่ตั้งของสถานีวัดน้ำฝนที่ไม่ออกจากสถานานี้วัดน้ำท่า

อีกสาเหตุหนึ่งอาจเกิดจากปริมาณตะกอนที่ทับถมซึ่งเป็นปัญหาหลักที่เกิดในลุ่มน้ำ ทำให้อัตราการไหลที่วัดได้มีความคลาดเคลื่อนไปจากปริมาณฝนที่ได้จากข้อมูล ซึ่งสังเกตได้จากในช่วงปริมาณที่ฝนตกไม่สูง ปริมาณอัตราไหลจะมีค่าใกล้เคียงกับการ Run โปรแกรม

5.2 ข้อเสนอแนะ

จากการดำเนินการโดยใช้โปรแกรม HEC – HMS เพื่อวิเคราะห์ความสัมพันธ์ของน้ำฝน น้ำท่า และข้อมูลสภาพอุทกวิทยาของลุ่มน้ำ ทำให้ทราบถึงเทคนิคและสิ่งที่ต้องปรับปรุงแก้ไข ดังนี้

- เนื่องจากความคลาดเคลื่อนของผลการทดลองที่เกิดขึ้นเป็นผลมาจากสถานานี้วัดน้ำฝนที่เลือกใช้ไม่ครอบคลุมพื้นที่ลุ่มน้ำ ดังนั้นจึงควรมีการติดตั้งสถานานี้วัดน้ำฝนในพื้นที่ลุ่มน้ำ และให้มีการจดบันทึกข้อมูลน้ำฝนเป็นรายชั่วโมง เพื่อได้ข้อมูลที่มีความละเอียดมากขึ้น

- ข้อมูลน้ำฝนที่ในการศึกษาในบางสถานานี้ขาดความต่อเนื่อง การศึกษานี้จึงแบ่งเป็น 2 กรณี โดยแบ่งเป็นการใช้ฝน 1 สถานี และการเฉลี่ยของฝน 2 สถานี ทำให้มีผลต่อการกระจายตัวของฝน และการประเมินปริมาณน้ำท่าจึงเกิดการผิดพลาดได้

- ควรให้ความสำคัญของฐานข้อมูล มีการตรวจสอบและบำรุงรักษาสถานานี้วัดน้ำท่า สถานานี้วัดน้ำฝน ของทุกหน่วยงานที่เกี่ยวข้อง เพื่อความถูกต้องและต่อเนื่องของข้อมูล

- ควรทำการจำลองกราฟน้ำท่าในลุ่มน้ำย่อยด้วยวิธีอื่นที่มีอยู่ในแบบจำลอง HEC-HMS เพิ่มเติมเพื่อเปรียบเทียบกัน ทั้งนี้เพื่อในแบบจำลอง HEC-HMS มีวิธีการคำนวณให้เลือกหลายวิธี

- การปรับเทียบค่า Parameter ควรทำครั้งละค่าแล้ววัดผลที่ได้จากการปรับค่า Parameter นั้น ในควรปรับพร้อมกันที่ละหลายค่า เมื่อจากจะทำให้ไม่สามารถออกถึงการเปลี่ยนแปลงของกราฟน้ำท่าได้ชัดเจน เพราะการปรับค่า Parameter บางค่าอาจให้ผลตรงข้ามกัน โดยการปรับค่า Parameter ในการศึกษาครั้งนี้ เมื่อจากมีค่าเป็น Wet Condition (AMC III) สภาพดินมีความชื้นที่สูง ส่งผลให้การปรับเทียบค่า Parameter อื่นๆ มีความคลาดเคลื่อนได้

- ควรทำการปรับเทียบและตรวจสอบตัวแปรในช่วงปีที่ใกล้เคียงกับปัจจุบัน เพราะจะทำให้พำนัยปริมาณน้ำท่าในอนาคต ได้ใกล้เคียงกับความเป็นจริง เนื่องจากการเปลี่ยนแปลงของสภาพไว้ที่ดิน อดีตเป็นพื้นที่ป่าไม้ แต่ในปัจจุบันเป็นพื้นที่เกษตรกรรมหรือชุมชนเมือง

- ผลที่ได้จากการวิเคราะห์โดยโปรแกรม HEC – HMS นอกจากระได้กราฟน้ำท่าและปริมาณน้ำท่าแล้ว ยังสามารถทราบถึงองค์ประกอบของน้ำท่าได้แก่ Baseflow, Precipitation Loss, Excess Precipitation, Cumulative Excess Precipitation และ Cumulative Precipitation Loss ซึ่งจะแสดงผลในรูปของกราฟทำให้ไม่ต้องคำนวณค่าเหล่านั้นอีก

เอกสารอ้างอิง

- ดร.วีระพล แต้สมบัติ (2528). หลักอุทกวิทยา. กรุงเทพฯ : ภาควิชาวิศวกรรมทรัพยากรน้ำ คณะวิศวกรรมศาสตร์ มหาวิทยาลัยเกษตรศาสตร์
- วีโรจน์ ชัยธรรม. (2546). อุทกวิทยา. กรุงเทพฯ : ภาควิชาวิศวกรรมโยธา คณะวิศวกรรมศาสตร์ มหาวิทยาลัยขอนแก่น
- ฝ่ายน้ำป่า โครงการชลประทานน่าน. ข้อมูลดักษณะฝาย. สืบคันเมื่อ 18 ตุลาคม 2553
- ศูนย์อุทกวิทยาและบริหารน้ำภาคเหนือตอนบน กรมชลประทาน,สภาพภูมิอากาศลุ่มน้ำทุ่งช้าง,ลุ่มน้ำท่าวังพา,ลุ่มน้ำภูคา สืบคันเมื่อ 4 มกราคม 2554, จาก :
<http://hydro-1.com/index.php?id=1>
- ภูมิสารสนเทศคืนและการใช้ประโยชน์ที่ดิน,สืบคันเมื่อ 20 ธันวาคม 2553
- US Army Corps of Engineers Hydrologic Engineering Center. User's Manual HEC – HMS Version 3.4. U.S.A



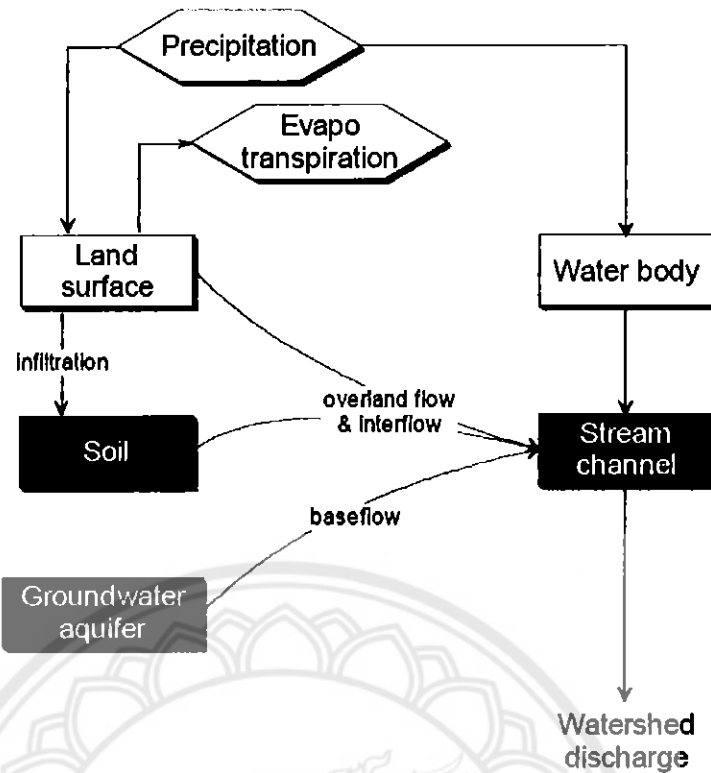
ภาคผนวก ก

ภาพรวมของโปรแกรม HEC-HMS

หน่วยงาน Hydrologic Engineering Center, U.S. Army Corps of Engineers. (1998) ได้แนะนำโปรแกรม HEC-HMS ที่สามารถแยกออกเป็นแบบจำลองส่วนต่าง ของวงจรน้ำท่า ได้ดังนี้

- แบบจำลองสำหรับคำนวณปริมาณน้ำท่า (Direct Runoff Model) ต้องการข้อมูล เกี่ยวกับปริมาณฝนที่ตกในพื้นที่รับน้ำ, ปริมาณการซึมลงสู่ผิวดิน, ปริมาณน้ำท่าที่ผ่านผิวดินได้, ปริมาณน้ำท่าที่ไม่สามารถผ่านผิวดินได้ หรือเมื่อไหร่จะเกิดน้ำท่า
- แบบจำลองสำหรับการไหลออกผิวดิน (Direct Runoff Model) เนพาะการไหลตามผิว(Over flow) และการไหลเสริม(Inter Flow) แสดงถึงน้ำที่ไม่ซึมลงดินหรือน้ำที่ค้างอยู่บนพื้นที่รับน้ำหรือน้ำที่อยู่ใต้พื้นที่รับน้ำ
- แบบจำลองของการไหลออกพื้นฐาน (Base Flow Model) ซึ่งจำลองการระบายน้ำย่างช้าๆ ของน้ำได้ผ่านดินลงสู่ล้ำน้ำ
- แบบจำลองการไหลในล้ำน้ำ(Open Channel Flow Model) สามารถจำลองการไหลในล้ำน้ำ 1 มิติ
- และ HEC-HMS ได้เพิ่มแบบจำลองสำหรับอาคารควบคุมน้ำ (Water Control Structure) เช่น การก่อสร้างเขื่อนเก็บน้ำเบี่ยงเบนทางน้ำ, อ่างเก็บน้ำ เป็นต้น

แบบจำลอง HEC-HMS สามารถจะคำนวณหาปริมาณน้ำท่าด้วยการคำนวณปริมาณน้ำที่ถูกดูดซับโดยพืช(Interception) ปริมาณน้ำที่ไหลซึมลงสู่ดิน(Infiltration) ปริมาณน้ำที่ถูกกักเก็บไว้ในอ่างเก็บน้ำหน่องนึง(Storage) ปริมาณน้ำที่ระเหย(Evaporation) หรือปริมาณน้ำที่หายออกมากของพืช(Transpiration) แล้วนำมาหักออกจากปริมาณน้ำฝน (Precipitation) ดังที่ปรากฏในภาพที่ ก 1 การดักและ การกักเก็บน้ำบนดิน เป็นตัวชี้ให้เห็นถึงการกักเก็บน้ำบนดินโดยต้นไม้ ในสัญญาการกักเก็บของน้ำได้ผิวน้ำร้อยแต่ก็ รอษร้าวตามที่จ่อรถ หรือบนหลังคา หรือบริเวณพื้นผิวที่น้ำไม่มีอิสระ ใน การเคลื่อนไหวเมื่อการไหลตามพื้นผิว การไหลซึมลงสู่ดินแสดงให้เห็นถึงการเคลื่อนที่ของน้ำไปสู่ใต้ผิวดิน การดัก การซึม การกักเก็บ การระบายน้ำทั้งหมดนี้ในโปรแกรม HEC-HMS คือ การสูญเสียของท่าน้ำ (Loss rate)



รูปที่ ก1 แสดงรูปแบบการคำนวณน้ำท่าจากพื้นที่รับน้ำในแบบจำลอง HEC-HMS

ที่มา HEC-HMS Technical Reference Manual (March 2000)

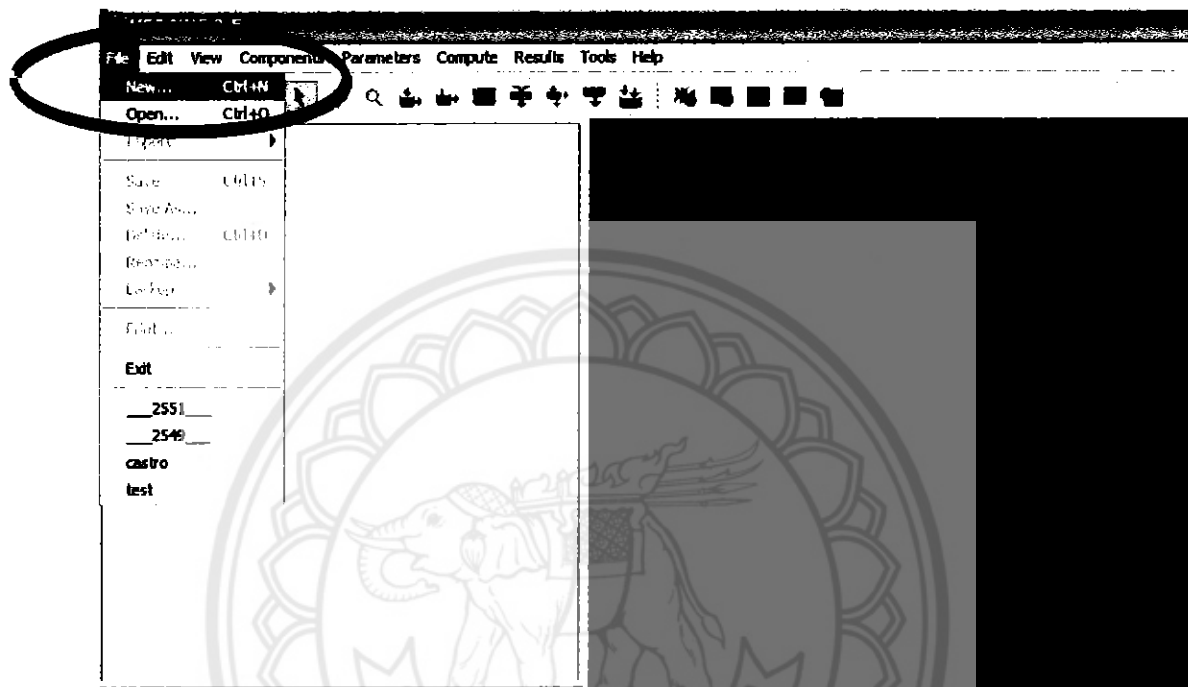
ในแต่ละแบบจำลอง จะหาค่าปริมาณน้ำฝนที่สูญเสียในแต่ละรอบเวลาที่ใช้คำนวณ (Time interval) และหักลบออกจากปริมาณน้ำฝนแล้วไปพื้นที่ร่องน้ำๆ ผลลัพธ์ที่ได้คือปริมาณน้ำฝนสาวกนกนที่เหลืออยู่ เรียกว่า ท่าน้ำ และมีการกระจายไม่สม่ำเสมอตลอดพื้นที่รับน้ำ

ซึ่งต่อไปจะกล่าวถึงแบบจำลองการสูญเสียของน้ำท่า (Loss models) ในโปรแกรม HEC-HMS และวิธีการใช้แบบจำลองเหล่านี้ในการคำนวณหาปริมาณน้ำท่า

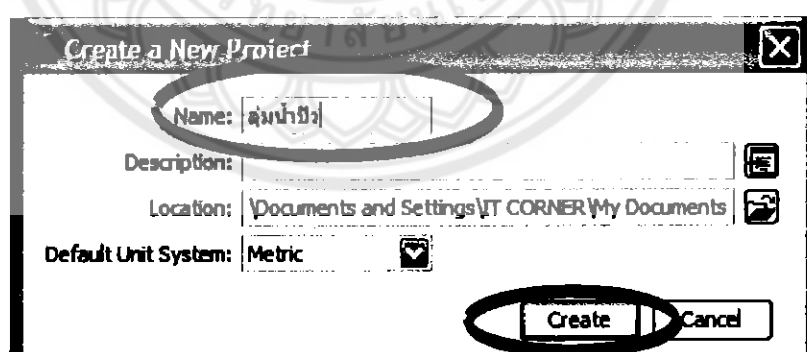
ภาคผนวก ข

ขั้นตอนการใช้โปรแกรม HEC-HMS

- สร้าง Project ใหม่โดยเปิดโปรแกรมขึ้นมาแล้วเลือก File \rightarrow New... พิมพ์ชื่อ Project และส่วนของรายเพิ่มเติม (ถ้ามี) แล้วเดือกด้วยเมาส์ที่อยู่ของไฟล์และหน่วยที่ใช้ใน Project จากนั้นเลือก Create

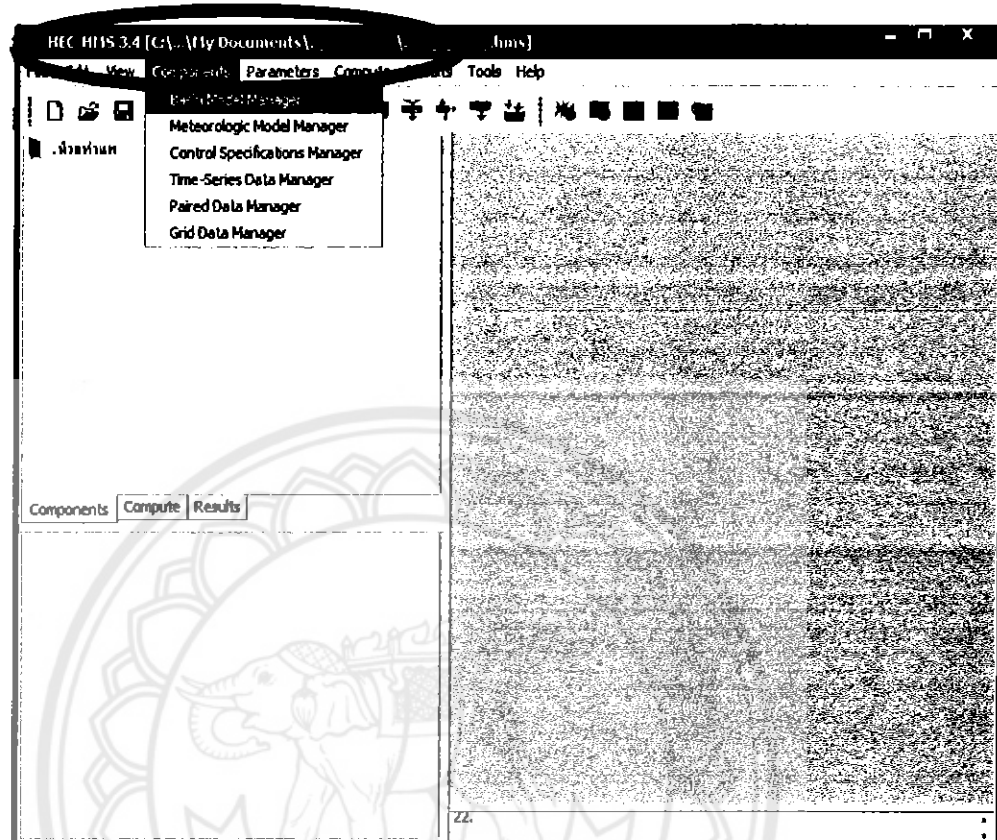


รูปที่ ข1 Create a new project

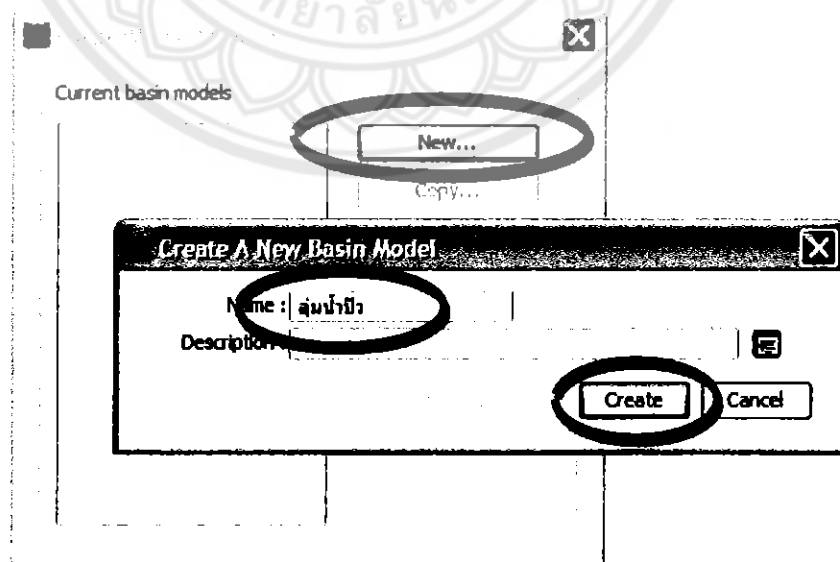


รูปที่ ข2 Enter a project name, a project description, location of project files, and the default unit system

2. สร้าง Basin model โดยเลือก Components \Rightarrow Basin Model Manager จากนั้นเลือก New และพิมพ์ชื่อ Basin mode ที่ต้องการ และส่วนอธิบาย (ถ้ามี) จากนั้นเลือก Create

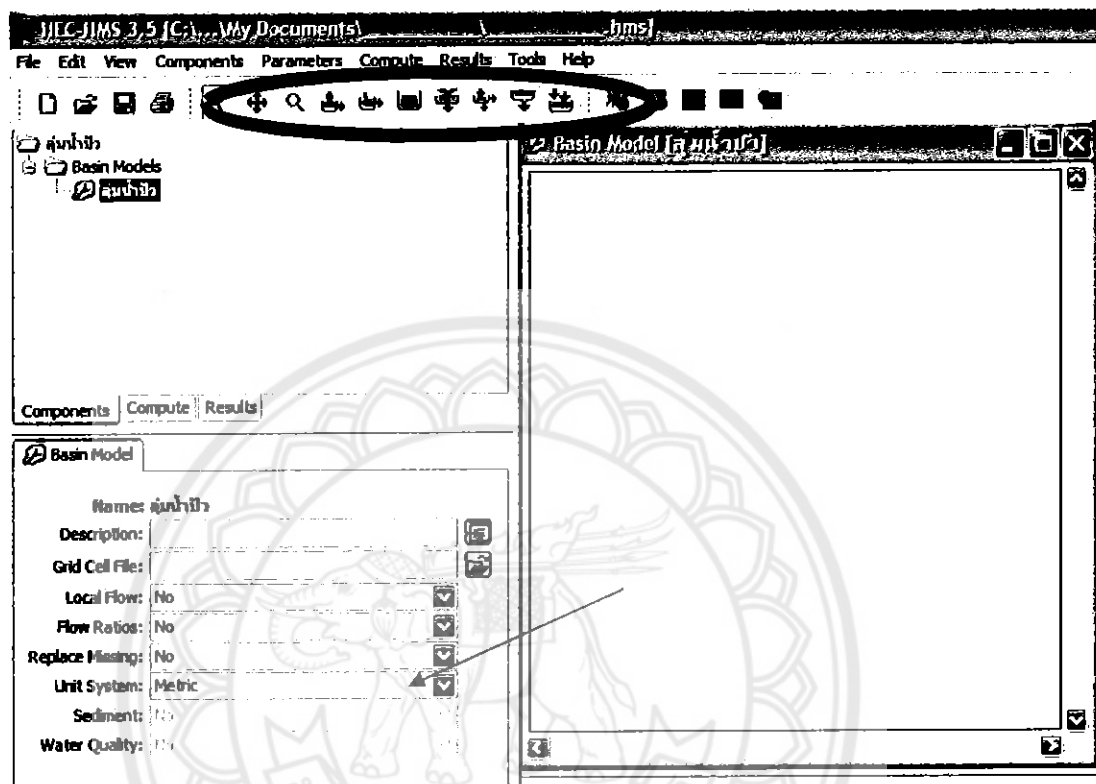


รูปที่ ๖๓ Open the basin model manager



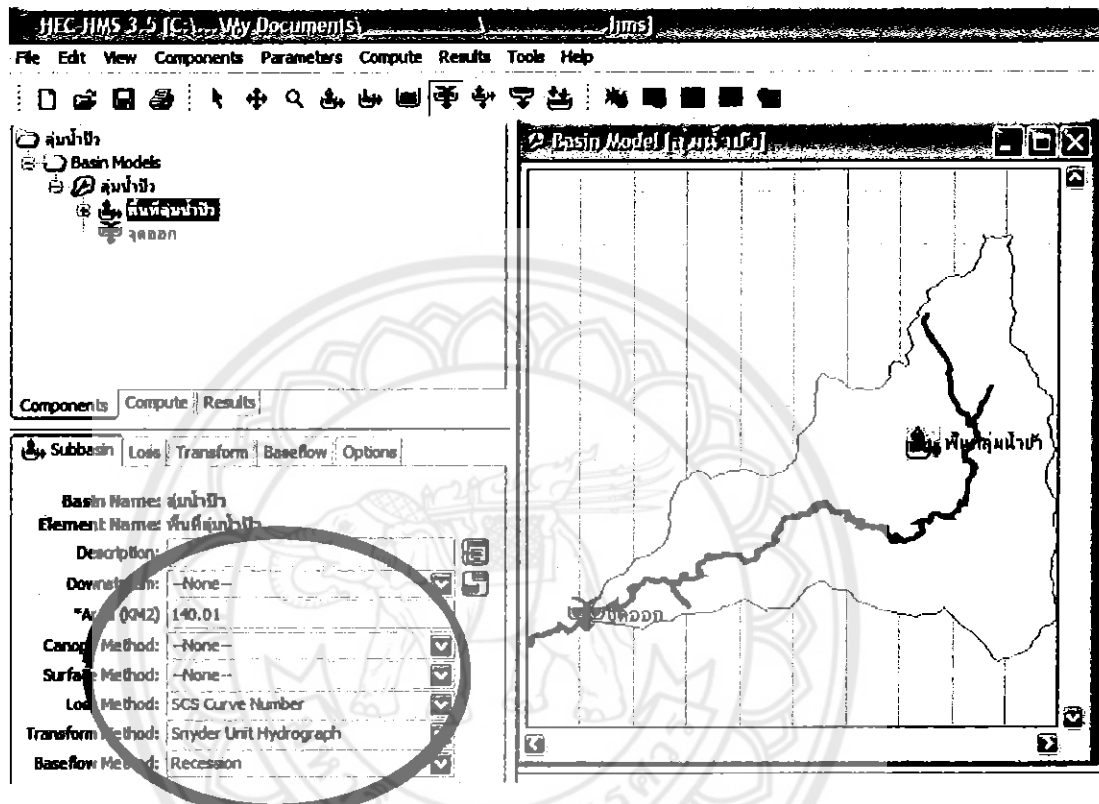
รูปที่ ๖๔ Create a new basin model.

เลือกหน่วยที่ใช้ในการคำนวณ (ในที่นี่ใช้หน่วย Metric) จากนั้นเลือกชนิดของ Basin model (ในที่นี่เลือก Subbasin ) จาก tool bar และทำการเชื่อมต่อกับชุดออก (ในที่นี่เลือก Junction ) โดยเลือก Connect Downstream

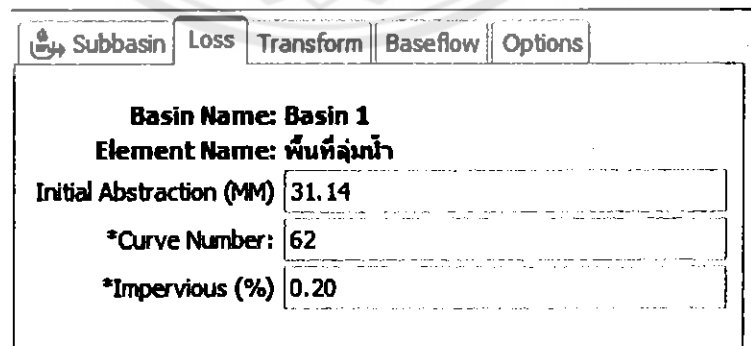


รูปที่ ๖๕ Hydrologic element tools.

ใส่ข้อมูลขนาดพื้นที่ดูน้ำ (หน่วยเป็นตารางกิโลเมตร) จากนั้นเลือกวิธีการที่ใช้ในการคำนวณกราฟน้ำท่าได้แก่ Loss Method (ในที่นี้เลือกใช้วิธี SCS Curve Number), Transform method (ในที่นี้เลือกใช้วิธี Snyder Unit Hydrograph) และ Base flow Method (ในที่นี้ เลือกใช้วิธี Recession) รายละเอียดแสดงในรูปที่ ๗๖



รูปที่ ๗๖ Component editor for a subbasin element.



รูปที่ ๗๗ ค่า Parameter โดยวิธี SCS Curve Number.

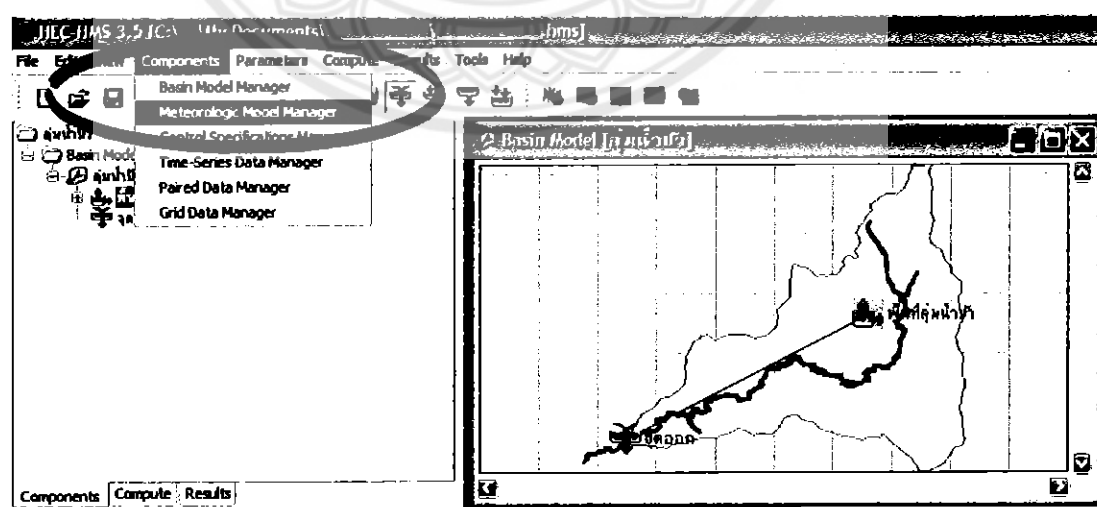
Basin Name: Basin 1
Element Name: ลักษณะน้ำ
Method: Standard
***Standard Lag (HR)**: 27.41
***Peaking Coefficient:** 0.5

รูปที่ ข8 ค่า Parameter โดยวิธี Snyder Unit Hydrograph.

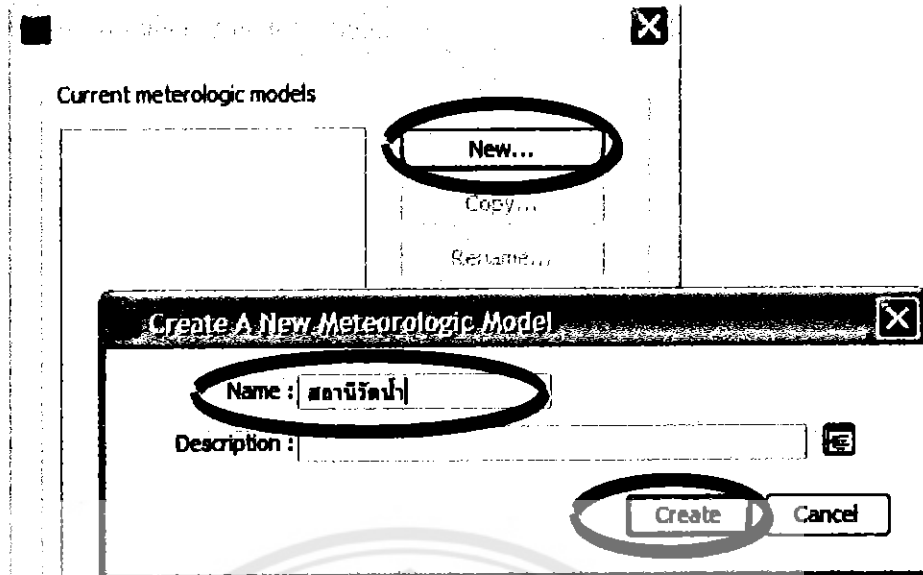
Basin Name: Basin 1
Element Name: ลักษณะน้ำ
Initial Type: Discharge
***Initial Discharge (M3/S)**: 3.6
***Recession Constant:** 0.87
Threshold Type: Ratio To Peak
***Ratio:** 0.997

รูปที่ ข9 ค่า Parameter โดยวิธี Recession.

3. สร้าง Meteorologic Model โดยเลือก Components → Meteorologic Model Manager จากนั้นเดือก New แล้วพิมพ์ชื่อ Meteorologic Model ที่ต้องการ และส่วนอธิบาย (ถ้ามี) จากนั้นเดือก Create

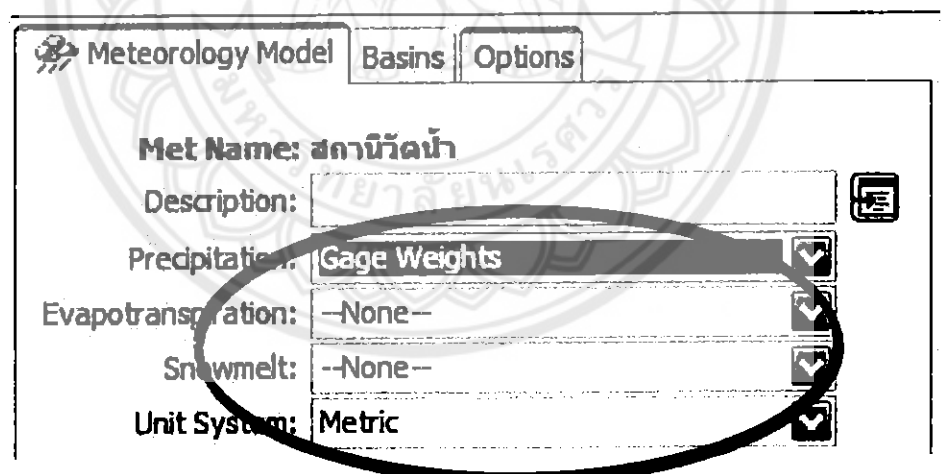


รูปที่ ข10 Open the meteorologic model manager

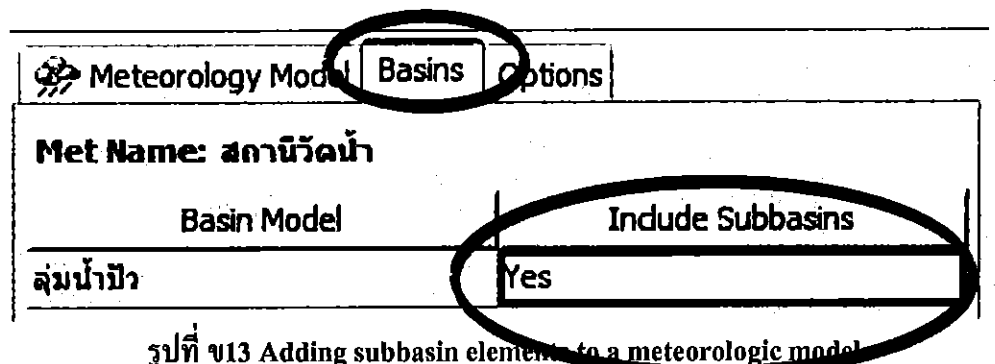


รูปที่ ช11 Create a new meteorologic model.

เลือกรูปแบบการนำเข้าข้อมูล (ในที่นี้เลือก Gage Weights) จากนั้นทำการเชื่อมข้อมูลกับพื้นที่อุ่มน้ำ โดยเลือก Yes ในช่อง Include Subbasin รายละเอียดังแสดงในรูปที่ ช12 และรูปที่ ช13

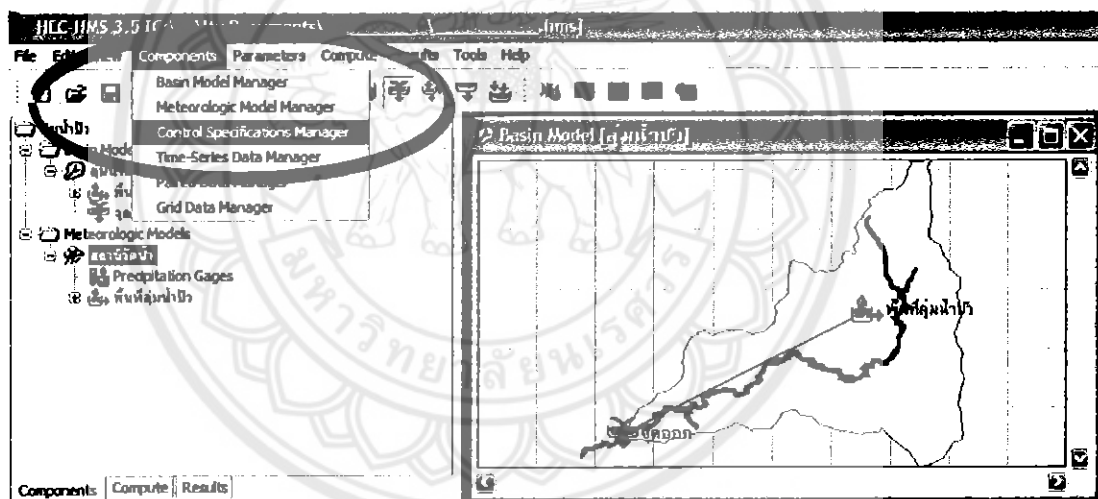


รูปที่ ช12 Component editor for a meteorologic model.

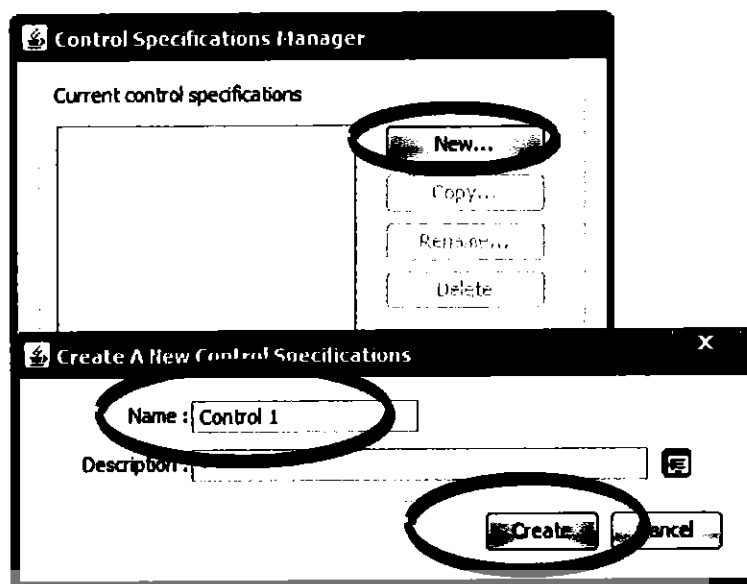


4. สร้าง Control Specifications โดยเลือก Components → Control Specifications

Manager จากนั้นเลือก New และพิมพ์ชื่อ Control Specifications ที่ต้องการ และส่วนอธิบาย (ถ้ามี) จากนั้นเลือก Create และเลือกวันและเวลาเริ่มต้น – สิ้นสุดในการ Run (ในที่นี้คือวันที่ 1 กรกฎาคม – วันที่ 31 สิงหาคม ของปี 2551 ช่วงเวลาในการ Run เลือกเป็นราย 1 วัน) รายละเอียดดังแสดงในรูปที่ ข14 ถึง รูปที่ ข16



รูปที่ ข14 Open control specifications model manager.



รูปที่ ข15 Create a new control specifications model.

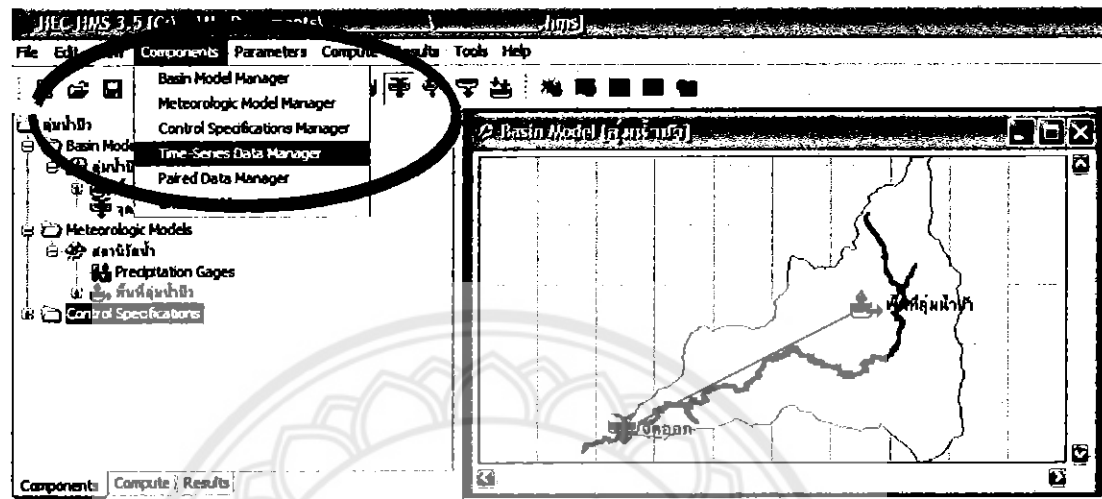
This is a detailed configuration window for 'Control 1'. It includes fields for Name (Control 1), Description, Start Date (01-๘-2551), Start Time (00:00), End Date (31-๘-2551), End Time (00:00), and Time Interval (1 Day). The window has tabs at the top labeled '1' and '2 3'.

Name:	Control 1
Description:	
*Start Date (ddMMYYYY)	01-๘-2551
*Start Time (HH:mm)	00:00
*End Date (ddMMYYYY)	31-๘-2551
*End Time (HH:mm)	00:00
Time Interval:	1 Day

รูปที่ ข16 Control specifications.

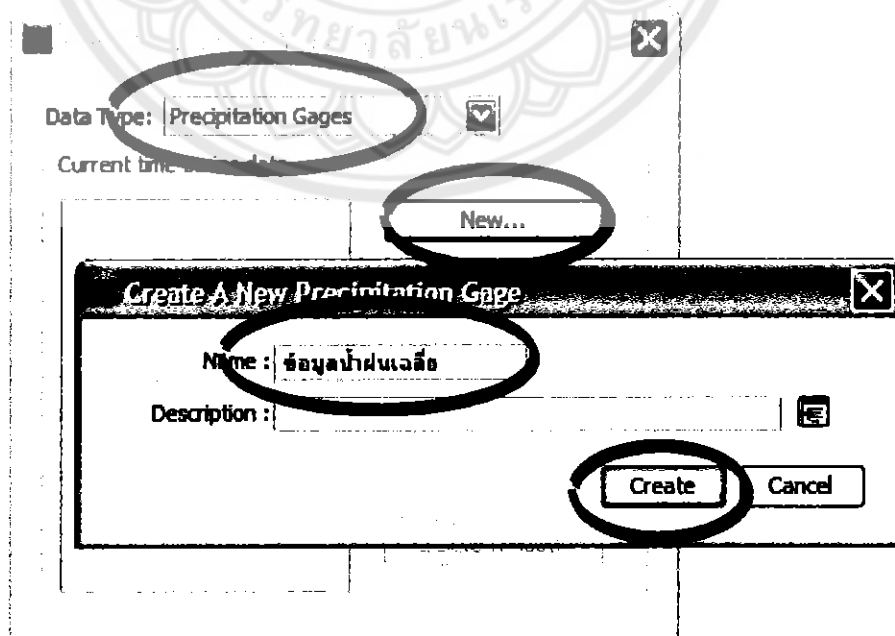
5. สร้าง Input data ซึ่งประกอบไปด้วย Time-Series Data Manager, Paired Data Manager และ Grid Data Manager ในที่นี้เลือกใช้ Time-Series Data Manager โดยเลือก Components

Time-Series Data Manager



รูปที่ ข17 Open input data managers.

เลือกชนิดของข้อมูลที่ต้องการใส่ในโปรแกรมในที่นี้ใช้ข้อมูลฝนและข้อมูลน้ำท่า ซึ่งต้องใส่ข้อมูลที่จะข้อมูล ค้างนี้จะเลือกใส่ข้อมูลฝนก่อน โดยเลือก Precipitation Gags จากนั้นเลือก New แล้วพิมพ์ชื่อ Gags ที่ต้องการ และส่วนอธิบาย (คำอธิบาย) จากนั้นเลือก Create



รูปที่ ข18 Create a new Time-Series Data.

Name: กําหนดหนาฝนเฉลี่ย

Description:

Data Source: Manual Entry

Units: Incremental Millimeters

Time Interval: 1 Day

Latitude Degrees:

Latitude Minutes:

Latitude Seconds:

Longitude Degrees:

Longitude Minutes:

Longitude Seconds:

รูปที่ ข19 เลือกวิธีนำเข้าข้อมูล, กำหนดหน่วยของข้อมูลและเลือกช่วงเวลาที่เก็บข้อมูล

เลือก Time – Series Gage เพื่อกำหนดหน่วยที่ใช้กับข้อมูล ช่วงเวลาที่เก็บข้อมูล และวิธีการนำเข้าข้อมูล ในที่นี้เลือกหน่วยเป็น Incremental Millimeters ช่วงเวลาที่เก็บข้อมูลคือ 1 Day และนำเข้าข้อมูลโดย Manual Entry

ซึ่งในส่วนเหลือจะใส่หรือไม่ก็ได้น่องจากเป็นส่วนที่แสดงที่ตั้งของสถานีที่เก็บข้อมูล ไม่มีผลต่อการคำนวณของโปรแกรม

Name: กําหนดหนาฝนเฉลี่ย

*Start Date (ddMMYYYY) 01.๑.2551

*Start Time (HH:mm) 00:00

*End Date (ddMMYYYY) 31.๑.2551

*End Time (HH:mm) 00:00

รูปที่ ข20 กำหนดวัน เดือน ปี และเวลาที่เริ่มต้น – สิ้นสุดของข้อมูล

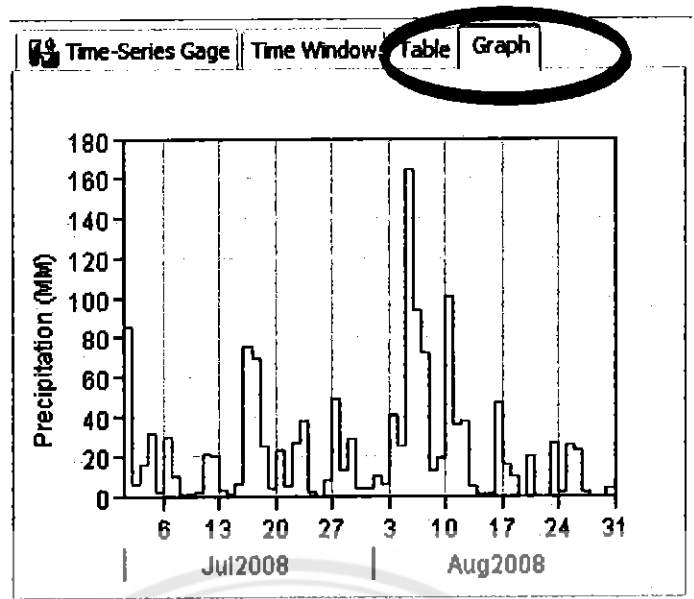
กำหนดวัน เดือน ปี และเวลาเริ่มต้น – สิ้นสุด ของข้อมูลที่ต้องการใส่ โดยเลือก Time Window จากนั้นใส่วัน เดือน ปี ที่เริ่มต้นเก็บข้อมูลในช่อง Start Date ใส่เวลาเริ่มต้นในช่อง Start Time ใส่วันและเวลาสุดท้ายที่เก็บข้อมูลในช่อง End Date และ End Time ในที่นี้ใช้ข้อมูลเริ่มต้น วันที่ 1 ก.ค. ปี 2551 ถึงวันที่ 31 ส.ค. ปี 2551

รูปแบบของวัน เดือน ปีให้ใส่เป็นรูปแบบดังนี้ เช่น 31Aug2008 หมายถึงวันที่ 31 ส.ค. 2551 หากใส่เป็นรูปแบบอื่นจะไม่ถูกต้องและไม่สามารถ Run โปรแกรมได้

การใส่ข้อมูลให้เลือก Table จากนั้นใส่ข้อมูลในตารางที่อยู่ด้านขวา ซึ่งในที่นี้คือข้อมูลฝน และความต่ำของข้อมูลที่ใส่เข้าไปได้โดยเลือกที่ Graph รายละเอียดดังแสดงในรูปที่ ข21 และ รูปที่ ข22 ซึ่งในการถือข้อมูลชนิดอื่นก็ใช้วิธีการคำนวณเดียวกันกับที่กล่าวมา

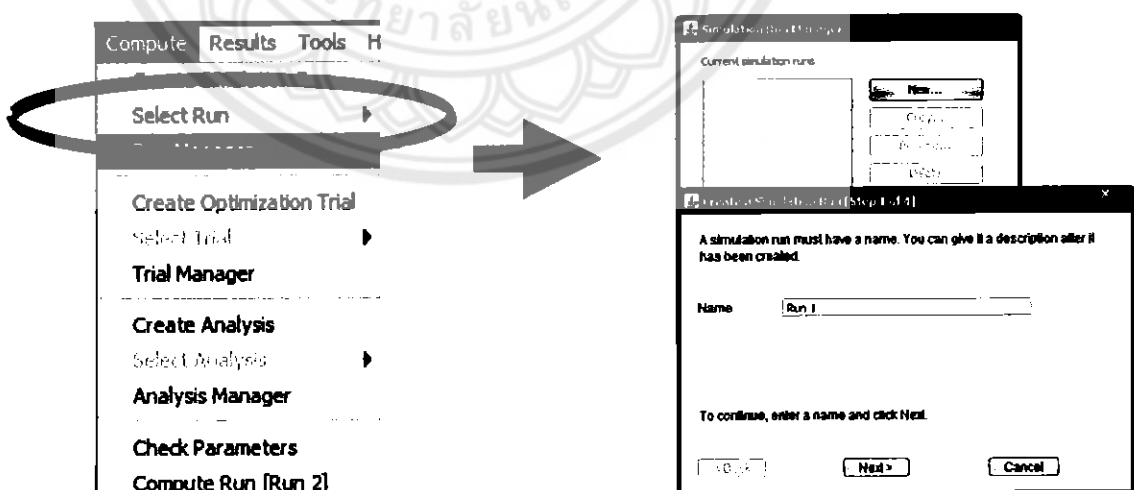
Time (dd/MM/YYYY, HH:mm)	Precipitation (MM)
01n.ค.2551, 00:00	
02n.ค.2551, 00:00	85.9
03n.ค.2551, 00:00	5.7
04n.ค.2551, 00:00	15.8
05n.ค.2551, 00:00	31.4
06n.ค.2551, 00:00	1.4
07n.ค.2551, 00:00	29.4
08n.ค.2551, 00:00	9.6
09n.ค.2551, 00:00	1.0
10n.ค.2551, 00:00	0.6
11n.ค.2551, 00:00	1.2
12n.ค.2551, 00:00	21.2

รูปที่ ข21 การใส่ข้อมูล

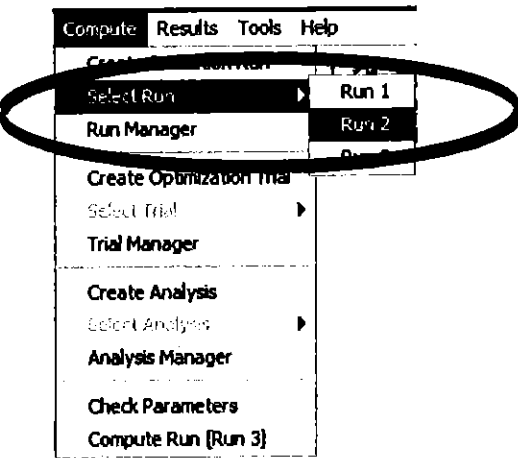


รูปที่ ข22 กราฟแสดงผลข้อมูล

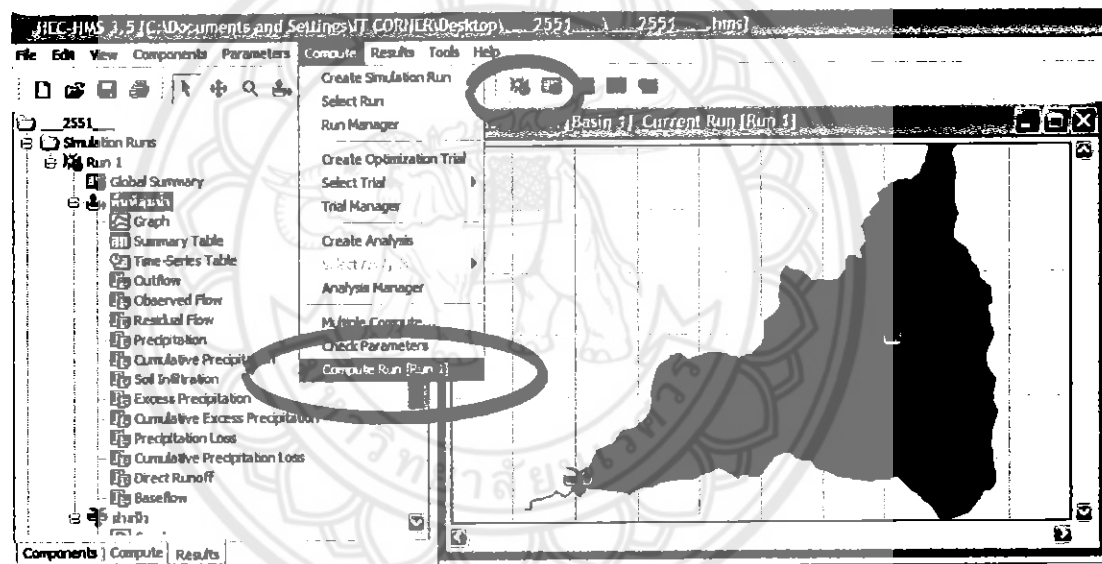
6. สร้าง Simulation run โดยเลือก Compute \rightarrow Run Manager จากนั้นเลือก New พิมพ์ชื่อ Run ที่ต้องการแล้วเลือก Next ซึ่งในส่วนนี้จะเป็นการสร้าง Simulation run ไว้ก่อนหากต้องการ Run โปรดแก้ไขให้เลือก Compute \rightarrow Select run \rightarrow เลือก Run (ที่สร้างไว้ เช่น Run1) \rightarrow Compute \rightarrow Compute Run [Run ที่สร้างไว้] (หรือคลิกปุ่ม) ซึ่งใน Project เดียวกันการสร้าง Run ได้มากกว่าหนึ่ง Run



รูปที่ ข23 การสร้าง Simulation run

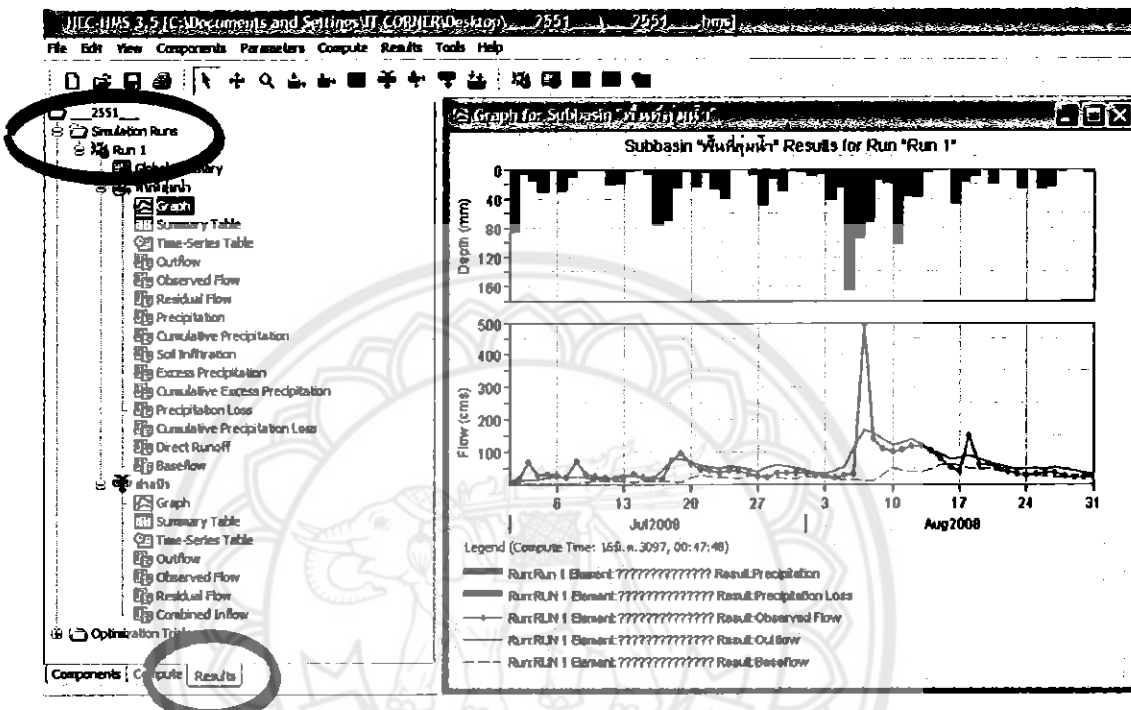


รูปที่ ว24 Selecting a simulation run.



รูปที่ ว25 Computing the selected simulation run.

7. ขั้นตอนสุดท้ายคือการคุณที่ได้จากการ Run โปรแกรมโดยเลือก Result จากนั้นเลือก Simulation run และเลือกชื่อ Run ที่ได้ทำการ Simulation run ไว้ก่อนหน้านี้ ผลที่ได้จากการ Run โปรแกรมจะเป็น Graph, Summary Table, หรือ Time-Series Table เป็นต้น ซึ่งสามารถเรียกคุณผลการ Run โปรแกรมได้โดยคลิกปุ่ม   



รูปที่ ข26 ผลการ Run โปรแกรม

ตารางผนวกที่ ค2 การจัดระดับความชื้นก่อนหน้า (AMC) ของพื้นที่ตามวิธีของ SCS

AMC	ฝนสะสมก่อนหน้า 5 วัน (นิ้ว)	
	นอกฤดูเพาะปลูก	ฤดูเพาะปลูก
I (ความชื้นต่ำ)	น้อยกว่า 0.5	น้อยกว่า 1.4
II (ความชื้นปานกลาง)	0.5 ถึง 1.1	1.4 ถึง 2.1
III (ความชื้นสูง)	มากกว่า 1.1	มากกว่า 2.1

ที่มา: Soil Conservation Service (1972)

ตารางผนวกที่ ค3 ความสัมพันธ์ของค่า CN ตามการจัดระดับความชื้นก่อนหน้า (AMC)

CN		
AMC II	AMC I	AMC III
100	100	100
95	89	97
90	80	96
85	71	93
80	64	91
75	57	88
70	51	85
65	45	82
60	40	78
55	35	75
50	31	70
45	27	66
40	23	61
35	19	56
30	16	50
5	13	44
20	10	37
15	7	30
10	5	21
50	3	11
0	0	0

ที่มา: Soil Conservation Service (1972)

ตารางผนวกที่ ค4 ถังตัวเลข (CN) สำหรับพื้นที่ทำการเกษตร กรณี AMC II และ $I_a = 0.2S$

ลักษณะสิ่งปลูกสร้าง	วิธีการเพาะปลูก	สภาพทาง อุ�กิจภายใน	ถังตัวเลข(CN)			
			A	B	C	D
ที่ชี้งไกด์ราบทึ่งไว้	แกล้วตรง	-	77	86	91	94
การป่าไม้พืชไร่ เนินแนว	แกล้วตรง	ไม่มี	72	81	88	91
		มี	67	78	85	89
	ตามระดับพื้นที่	ไม่มี	70	79	84	88
		มี	65	75	82	86
พืชเมล็ดเล็ก ข้าว	ตามระดับพื้นที่ และขั้นบันได	ไม่มี	66	74	80	82
		มี	62	71	78	81
	แกล้วตรง	ไม่มี	65	76	84	88
		มี	63	75	83	87
	แกล้วตรง	ไม่มี	63	74	82	85
		มี	61	73	81	84
การห่วงโซ่ระบบทุ่งหญ้า ถัวหรือทุ่งหญ้า หมูนเป็น	ตามระดับพื้นที่	ไม่มี	61	72	79	82
		มี	59	70	78	81
	แกล้วตรง	ไม่มี	66	77	85	89
		มี	58	72	81	85
	แกล้วตรง	ไม่มี	64	75	83	85
		มี	55	69	78	83
	ตามระดับพื้นที่	ไม่มี	63	73	80	83
		มี	51	67	76	80
ทุ่งหญ้า Pasture หรือ ทุ่งหญ้าเลี้ยง สัตว์	-	ไม่มี	68	79	86	89
		พอใช้	49	69	79	84
		มี	39	61	74	80
	ตามระดับพื้นที่	ไม่มี	47	67	81	88
	พอใช้	25	59	75	83	83
	มี	6	35	70	79	79

ตารางผนวกที่ ค4(ต่อ)

พุ่งหญ้า Meadows	-	ดี	30	58	71	78
ป่า	-	ไม่ดี พอใช้ ดี	45 36 25	66 60 55	77 3 70	83 79 77
โรงงาน	-	-	59	74	82	86
ถนน, ทางเดิน	-	-	72	82	87	89
พื้นที่ว่างเปล่า	-	-	74	84	90	92

^a Closed-drilled or broadcast, ^b Including right-of-way

ที่มา: Soil Conservation Service (1986)

ตารางผนวกที่ ค5 ค่าโคลั่งตัวเลข (CN) สำหรับพื้นที่รับน้ำในเขตเมือง

ส่วนอธิบาย		ค่าโคลั่งตัวเลข (CN)			
ชนิดของถิ่นปักดิบและสภาพทางอุทกกรรม	ร้อยละเฉลี่ยพื้นที่ทึบนำ้	A	B	C	D
พื้นที่เมืองที่ได้รับการพัฒนาอย่างสมบูรณ์ (vegetation established)					
พื้นที่โล่ง (สวนหญ้า, สวนก่อสร้าง, ที่ฟังฟพ เป็นต้น)					
-สภาพไม่ดี (หญ้าปักดิบ < 50%)	68	79	86	89	
-สภาพพอใช้ (หญ้าปักดิบ 50 - 75%)	49	69	79	84	
-สภาพดี (หญ้าปักดิบ > 75%)	38	61	74	80	
พื้นที่ทึบนำ้					
-ที่อุดรถแบบลาบคิว, หลังคา, ทางรถ เป็นต้น (ไม่รวม right – of - way)	98	98	98	98	
ถนนและทางเดิน					
-แบบลาบคิว; ขอบทางและรางระบายน้ำ (ไม่รวม right-of-way)	98	98	98	98	
-แบบลาบคิว; คุน้ำเปิด (รวม right-of-way)	83	89	92	93	
-กรวย (รวม right-of-way)	76	85	89	91	
-ถุงรัง (รวม right-of-way)	72	82	87	89	

ตารางพนวกที่ ๕(ต่อ)

ส่วนอธิบาย		ค่าโถงตัวเลข (CN)			
ชนิดของสิ่งปักกุณดินและสภาพทางอุทกวิทยา	ร้อยละเฉลี่ยพื้นที่ที่บัน้ำ	A	B	C	D
พื้นที่เมืองซึ่งเป็นทะเลทรายทางตะวันตก					
-ภูมิประเทศแบบทะเลทรายธรรมชาติ (พื้นที่ชั่นน้ำเท่านั้น)	63	77	85	88	
-ภูมิประเทศแบบทะเลทรายที่ถูกสร้างขึ้น (มีวัชพืชวางทำให้พื้นน้ำ, มีพุ่มไม้ทะเลทราย 1-2 นิ้ว หรือมีราษและกรวคล้อมรอบ)	96	96	96	96	
เขตเมือง					
-ชุมกิจและพาณิชย์	85	89	92	94	95
-อุตสาหกรรม	72	81	88	91	93
เขตที่อยู่อาศัยตามขนาด โดยเฉลี่ย					
1/8 acre (0.051 ตร.ม.) หรือ น้อยกว่า	65	77	85	90	92
1/4 acre (0.101 ตร.ม.)	38	61	75	83	87
1/3 acre (0.135 ตร.ม.)	30	57	72	81	86
1/2 acre (0.202 ตร.ม.)	25	54	70	80	85
1 acre (0.405 ตร.ม.)	20	51	68	79	84
2 acre (0.809 ตร.ม.)	12	46	65	77	82
พื้นที่กำลังพัฒนา					
-พื้นที่เพิ่งมีการเกลี่ยให้เรียบ (พื้นที่ที่ชั่นน้ำได้เท่านั้น, ไม่มีพืชปักกุณ)					
-พื้นที่ว่าง (ใช้ค่า CN ในการพิจารณาสิ่งปักกุณ เช่นเดียวกับพื้นที่เกษตรกรรม)	77	86	91	94	

ที่มา: Soil Conservation Service (1986)

ภาคผนวก ๔
การเปรียบเทียบปริมาณน้ำท่าจากโปรแกรมและข้อมูล ปี 2551

**ตารางผนวกที่ ๔ ผลสอนเทียบการคำนวณน้ำท่าที่ให้ผ่านสถานีวัดน้ำข้านาฝาง (J-1) จาก
โปรแกรมกับข้อมูลปี 2551 ในกรณีที่ ๑**

ว-ด-ป	ฝน (มม.)	ผลการคำนวณน้ำท่า HEC-HMS (ลบ.ม./วินาที)	ข้อมูล น้ำท่า (ลบ.ม./ วินาที)
1-ก.ค.-51	13.4	30.9	6.7
2-ก.ค.-51	85.9	49.2	16.1
3-ก.ค.-51	5.7	54.4	64.9
4-ก.ค.-51	15.8	34.8	28.5
5-ก.ค.-51	31.4	39.4	31.7
6-ก.ค.-51	1.4	32.8	25.5
7-ก.ค.-51	29.4	28.3	18.7
8-ก.ค.-51	9.6	31.8	69
9-ก.ค.-51	1.0	20.4	31.7
10-ก.ค.-51	0.6	13	22.3
11-ก.ค.-51	1.2	8.3	18.7
12-ก.ค.-51	21.2	18.4	16.1
13-ก.ค.-51	19.8	32.3	19.7
14-ก.ค.-51	3.0	24.1	29.3
15-ก.ค.-51	0.8	15.4	18.7
16-ก.ค.-51	5.6	10.2	15.5
17-ก.ค.-51	75.6	55.4	17.1
18-ก.ค.-51	69.7	109.5	75
19-ก.ค.-51	24.5	90.9	96.5
20-ก.ค.-51	3.1	58.2	63.6
21-ก.ค.-51	22.4	37.2	46.7

ตารางผนวกที่ ง1(ต่อ)

ว-ด-ป	ฝน (มม.)	ผลการคำนวณน้ำท่า HEC-HMS (ลบ.ม./วินาที)	ข้อมูล น้ำท่า (ลบ.ม./วินาที)
22-ก.ค.-51	4.2	31.3	39.6
23-ก.ค.-51	26.9	31.2	32.4
24-ก.ค.-51	38.4	51.9	41.5
25-ก.ค.-51	1.5	41.3	39.6
26-ก.ค.-51	0.0	26.4	30.9
27-ก.ค.-51	7.9	16.9	23.6
28-ก.ค.-51	48.7	44.6	19.7
29-ก.ค.-51	12.5	54.9	35.9
30-ก.ค.-51	29.2	42.7	33.2
31-ก.ค.-51	3.1	31.9	34
1-ส.ค.-51	3.7	20.4	33.2
2-ส.ค.-51	9.2	15.9	28.5
3-ส.ค.-51	5.2	15.5	28.5
4-ส.ค.-51	41.2	35.1	19.2
5-ส.ค.-51	24.3	52.9	28.5
6-ส.ค.-51	164.2	135.6	30.9
7-ส.ค.-51	93.8	204.9	493
8-ส.ค.-51	72.0	161.7	140
9-ส.ค.-51	12.8	103.5	110
10-ส.ค.-51	18.3	66.2	100
11-ส.ค.-51	100.7	101	106
12-ส.ค.-51	35.6	122.7	131
13-ส.ค.-51	37.9	83.5	116
14-ส.ค.-51	4.5	53.4	102
15-ส.ค.-51	0.2	34.2	78.1
16-ส.ค.-51	0.6	21.9	52.3

ตารางผนวกที่ ง1(ต่อ)

ว-ด-ป	ฝน (มม.)	ผลการคำนวณน้ำท่า HEC-HMS (ลบ.ม./วินาที)	ข้อมูลน้ำท่า (ลบ.ม./วินาที)
17-ส.ค.-51	46.8	43.3	38.7
18-ส.ค.-51	16.1	58	150
19-ส.ค.-51	9.4	37.1	58.4
20-ส.ค.-51	0.0	23.7	63.6
21-ส.ค.-51	19.8	22.4	47.8
22-ส.ค.-51	0.0	21.5	36.8
23-ส.ค.-51	0.0	13.8	30.1
24-ส.ค.-51	26.8	23.7	28.5
25-ส.ค.-51	1.1	27.2	31.7
26-ส.ค.-51	26.2	26.1	32.4
27-ส.ค.-51	22.6	38.9	33.2
28-ส.ค.-51	1.8	27	24.2
29-ส.ค.-51	0.0	17.3	20.3
30-ส.ค.-51	0.0	11	18.1
31-ส.ค.-51	3.7	9	16.6

ตารางพนวกที่ ง2 ผลการคำนวณปริมาณน้ำท่าจากโปรแกรมในพื้นที่ดูน้ำข่าวังข้อมูลปี2551ใน
กรณีที่ 1

ว-ด-ป	ฝน (มม.)	ผลการคำนวณน้ำท่า HEC-HMS (ลบ.ม./วินาที)
1-ก.ค.-51	13.4	30.9
2-ก.ค.-51	85.9	55
3-ก.ค.-51	5.7	63.1
4-ก.ค.-51	15.8	54.8
5-ก.ค.-51	31.4	58.2
6-ก.ค.-51	1.4	50.8
7-ก.ค.-51	29.4	45
8-ก.ค.-51	9.6	46.3
9-ก.ค.-51	1.0	40.3
10-ก.ค.-51	0.6	35
11-ก.ค.-51	1.2	30.5
12-ก.ค.-51	21.2	38
13-ก.ค.-51	19.8	48.8
14-ก.ค.-51	3.0	42.4
15-ก.ค.-51	0.8	36.9
16-ก.ค.-51	5.6	32.1
17-ก.ค.-51	75.6	71.1
18-ก.ค.-51	69.7	117.9
19-ก.ค.-51	24.5	102.5
20-ก.ค.-51	3.1	89.2
21-ก.ค.-51	22.4	77.6
22-ก.ค.-51	4.2	69.4
23-ก.ค.-51	26.9	65.8
24-ก.ค.-51	38.4	80.7

ตารางผนวกที่ ง2(ต่อ)

ว-ด-ป	ฝน (มม.)	ผลการคำนวณนำ้ำท่า HEC-HMS (ลบ.ม./วินาที)
25-ก.ค.-51	1.5	70.2
26-ก.ค.-51	0.0	61.1
27-ก.ค.-51	7.9	53.1
28-ก.ค.-51	48.7	75.5
29-ก.ค.-51	12.5	81.6
30-ก.ค.-51	29.2	71
31-ก.ค.-51	3.1	61.8
1-ส.ค.-51	3.7	53.7
2-ส.ค.-51	9.2	46.9
3-ส.ค.-51	5.2	43.5
4-ส.ค.-51	41.2	58.1
5-ส.ค.-51	24.3	71.2
6-ส.ค.-51	164.2	142.9
7-ส.ค.-51	93.8	202.8
8-ส.ค.-51	72.0	176.3
9-ส.ค.-51	12.8	153.4
10-ส.ค.-51	18.3	133.4
11-ส.ค.-51	100.7	160.6
12-ส.ค.-51	35.6	174.5
13-ส.ค.-51	37.9	151.8
14-ส.ค.-51	4.5	132.1
15-ส.ค.-51	0.2	114.9
16-ส.ค.-51	0.6	100
17-ส.ค.-51	46.8	112.9
18-ส.ค.-51	16.1	119.1
19-ส.ค.-51	9.4	103.6

ตารางผนวกที่ ง2(ต่อ)

ว-ด-ป	ฝน (มม.)	ผลการคำนวณน้ำท่า HEC-HMS (ลบ.ม./วินาที)
20-ส.ค.-51	0.0	90.1
21-ส.ค.-51	19.8	82.3
22-ส.ค.-51	0.0	75
23-ส.ค.-51	0.0	65.3
24-ส.ค.-51	26.8	69.2
25-ส.ค.-51	1.1	67.4
26-ส.ค.-51	26.2	61.7
27-ส.ค.-51	22.6	68.8
28-ส.ค.-51	1.8	59.9
29-ส.ค.-51	0.0	52.1
30-ส.ค.-51	0.0	45.3
31-ส.ค.-51	3.7	40.9

**ตารางผนวกที่ ง การเปรียบเทียบความสัมพันธ์ระหว่างกราฟนำท่ำที่ Runจาก
โปรแกรม HEC-HMS ในปี 2551 ณ จุดรวมน้ำป้วและน้ำขว้าง ในกรณีที่ 1**

ว-ด-ป	ปริมาณนำท่ำน้ำป้ว(ลบ. ม./วินาที)	ปริมาณนำท่ำน้ำขว้าง (ลบ.ม./วินาที)	ปริมาณนำท่ำรวม(J-2) (ลบ. ม./วินาที)
237956	30.9	30.9	61.8
2-ก.ค.-51	47.6	55	102.6
3-ก.ค.-51	55.3	63.1	118.4
4-ก.ค.-51	35.7	54.8	90.5
5-ก.ค.-51	38.2	58.2	96.5
6-ก.ค.-51	34.3	50.8	85.1
7-ก.ค.-51	27.3	45	72.3
8-ก.ค.-51	32.4	46.3	78.6
9-ก.ค.-51	20.9	40.3	61.1
10-ก.ค.-51	13.2	35	48.2
11-ก.ค.-51	8.6	30.5	39
12-ก.ค.-51	17.4	38	55.4
13-ก.ค.-51	32.1	48.8	80.8
14-ก.ค.-51	25	42.4	67.5
15-ก.ค.-51	15.4	36.9	52.3
16-ก.ค.-51	10.7	32.1	42.8
17-ก.ค.-51	51.1	71.1	122.2
18-ก.ค.-51	108.5	117.9	226.4
19-ก.ค.-51	93.2	102.5	195.7
20-ก.ค.-51	58.9	89.2	148.1
21-ก.ค.-51	38.4	77.6	115.9
22-ก.ค.-51	30.8	69.4	100.2
23-ก.ค.-51	31.6	65.8	97.4
24-ก.ค.-51	49.7	80.7	130.4

ตารางผนวกที่ ง3(ต่อ)

ว-ด-ป	ปริมาณน้ำท่าหน้าปีว (ลบ.ม./วินาที)	ปริมาณน้ำท่าหน้าช่วง (ลบ.ม./วินาที)	ปริมาณน้ำท่ารวม(J-2) (ลบ.ม./วินาที)
25-ก.ค.-51	44	70.2	114.2
26-ก.ค.-51	25.3	61.1	86.4
27-ก.ค.-51	18.7	53.1	71.8
28-ก.ค.-51	40.7	75.5	116.2
29-ก.ค.-51	57.4	81.6	139
30-ก.ค.-51	41.6	71	112.6
31-ก.ค.-51	33.8	61.8	95.5
1-ส.ค.-51	19.8	53.7	73.5
2-ส.ค.-51	16.8	46.9	63.7
3-ส.ค.-51	14.8	43.5	58.3
4-ส.ค.-51	34.1	58.1	92.2
5-ส.ค.-51	52.3	71.2	123.5
6-ส.ค.-51	129.1	142.9	272
7-ส.ค.-51	204.6	202.8	407.4
8-ส.ค.-51	165.7	176.3	342
9-ส.ค.-51	105.1	153.4	258.4
10-ส.ค.-51	68.1	133.4	201.5
11-ส.ค.-51	96.5	160.6	257.1
12-ส.ค.-51	124.8	174.5	299.3
13-ส.ค.-51	85.1	151.8	236.9
14-ส.ค.-51	54.7	132.1	186.8
15-ส.ค.-51	34.8	114.9	149.7
16-ส.ค.-51	22.4	100	122.4
17-ส.ค.-51	41	112.9	153.8
18-ส.ค.-51	58.7	119.1	177.8
19-ส.ค.-51	38.2	103.6	141.9

ตารางผนวกที่ ๑๓(ต่อ)

ว-ด-ป	ปริมาณน้ำท่าหน้าปีว (ลบ.ม./วินาที)	ปริมาณน้ำท่าหน้าช่วง (ลบ.ม./วินาที)	ปริมาณน้ำท่ารวม(J-2) (ลบ.ม./วินาที)
20-ส.ค.-51	23.9	90.1	114
21-ส.ค.-51	22.4	82.3	104.7
22-ส.ค.-51	21.6	75	96.6
23-ส.ค.-51	14.4	65.3	79.7
24-ส.ค.-51	22.3	69.2	91.5
25-ส.ค.-51	28	67.4	95.5
26-ส.ค.-51	25.4	61.7	87.1
27-ส.ค.-51	38.4	68.8	107.2
28-ส.ค.-51	28.4	59.9	88.3
29-ส.ค.-51	16.8	52.1	68.9
30-ส.ค.-51	12	45.3	57.3
238017	8.3	40.9	49.3

ตารางผนวกที่ ง4 การเปรียบเทียบความสัมพันธ์ระหว่างกราฟน้ำท่าที่ Runจากโปรแกรม HEC-HMSในปี2551ในกรณีที่1 ณ จุดออกแม่น้ำน่าน กรณีที่1

ว-ด-ป	ปริมาณน้ำท่ารวม(J-2) (ลบ.ม./วินาที)	ปริมาณน้ำท่าไหลลงแม่น้ำน่าน
		(ลบ.ม./วินาที)
1-ก.ค.-51	61.8	61.8
2-ก.ค.-51	102.6	86.6
3-ก.ค.-51	118.4	118.2
4-ก.ค.-51	90.5	101.5
5-ก.ค.-51	96.5	90
6-ก.ค.-51	85.1	92
7-ก.ค.-51	72.3	74.8
8-ก.ค.-51	78.6	75.2
9-ก.ค.-51	61.1	69.2
10-ก.ค.-51	48.2	50.2
11-ก.ค.-51	39	41.9
12-ก.ค.-51	55.4	47.9
13-ก.ค.-51	80.8	73.7
14-ก.ค.-51	67.5	75.4
15-ก.ค.-51	52.3	55.3
16-ก.ค.-51	42.8	45.4
17-ก.ค.-51	122.2	90.1
18-ก.ค.-51	226.4	197.5
19-ก.ค.-51	195.7	218.5
20-ก.ค.-51	148.1	158.2
21-ก.ค.-51	115.9	124.7
22-ก.ค.-51	100.2	103.1
23-ก.ค.-51	97.4	97.4
24-ก.ค.-51	130.4	117.5

ตารางผนวกที่ 4(ต่อ)

ว-ด-ป	ปริมาณน้ำท่ารวม(J-2) (ลบ.ม./วินาที)	ปริมาณน้ำท่าให้ลงแม่น้ำม่าน (ลบ.ม./วินาที)
25-ก.ค.-51	114.2	125.4
26-ก.ค.-51	86.4	93.1
27-ก.ค.-51	71.8	75
28-ก.ค.-51	116.2	97.6
29-ก.ค.-51	139	137
30-ก.ค.-51	112.6	123.6
31-ก.ค.-51	95.5	98.1
1-ส.ค.-51	73.5	81.2
2-ส.ค.-51	63.7	64.7
3-ส.ค.-51	58.3	60.1
4-ส.ค.-51	92.2	78.3
5-ส.ค.-51	123.5	116.4
6-ส.ค.-51	272	216.5
7-ส.ค.-51	407.4	375.2
8-ส.ค.-51	342	379.6
9-ส.ค.-51	258.4	277
10-ส.ค.-51	201.5	216.8
11-ส.ค.-51	257.1	229.6
12-ส.ค.-51	299.3	293
13-ส.ค.-51	236.9	263.7
14-ส.ค.-51	186.8	196.4
15-ส.ค.-51	149.7	160.6
16-ส.ค.-51	122.4	129
17-ส.ค.-51	153.8	139.1
18-ส.ค.-51	177.8	173.9
19-ส.ค.-51	141.9	157.4

ตารางผนวกที่ ๓๔(ต่อ)

ว-ด-ป	ปริมาณน้ำท่ารวม(จ-2) (ลบ.ม./วินาที)	ปริมาณน้ำท่าไฟลอดแม่น้ำน่าน (ลบ.ม./วินาที)
20-ส.ค.-51	114	119.1
21-ส.ค.-51	104.7	106.5
22-ส.ค.-51	96.6	99.2
23-ส.ค.-51	79.7	85.4
24-ส.ค.-51	91.5	84.8
25-ส.ค.-51	95.5	96.5
26-ส.ค.-51	87.1	90
27-ส.ค.-51	107.2	98.3
28-ส.ค.-51	88.3	99.1
29-ส.ค.-51	68.9	72.5
30-ส.ค.-51	57.3	60.5
31-ส.ค.-51	49.3	51.2

ตารางผนวกที่ ๕ ผลสอนเทียนการคำนวณน้ำท่าที่ให้ฝ่ายสถานีวัดน้ำบ้านนาฝาง (J-1) จาก
โปรแกรมกับข้อมูลปี ๒๕๕๑ ในการ斐ที่ ๒

ว-ด-ป	ฝน (มม.)	ผลการคำนวณน้ำท่า HEC-HMS (ลบ.ม./วินาที)	ข้อมูล น้ำท่า (ลบ.ม./วินาที)
1-ก.ค.-51	11.31	30.90	6.68
2-ก.ค.-51	74.58	43.20	16.10
3-ก.ค.-51	5.47	46.20	64.90
4-ก.ค.-51	12.86	29.60	28.50
5-ก.ค.-51	25.57	32.30	31.70
6-ก.ค.-51	1.19	26.60	25.50
7-ก.ค.-51	26.04	24.20	18.70
8-ก.ค.-51	8.04	27.40	69.00
9-ก.ค.-51	0.81	17.50	31.70
10-ก.ค.-51	0.49	11.20	22.30
11-ก.ค.-51	0.97	7.20	18.70
12-ก.ค.-51	19.28	16.30	16.10
13-ก.ค.-51	23.32	32.20	19.70
14-ก.ค.-51	2.43	25.70	29.30
15-ก.ค.-51	2.61	16.50	18.70
16-ก.ค.-51	4.54	10.80	15.50
17-ก.ค.-51	65.15	48.00	17.10
18-ก.ค.-51	68.01	99.10	75.00
19-ก.ค.-51	21.78	85.10	96.50
20-ก.ค.-51	3.46	54.50	63.60
21-ก.ค.-51	20.12	34.90	46.70
22-ก.ค.-51	3.52	28.60	39.60
23-ก.ค.-51	23.77	27.90	32.40
24-ก.ค.-51	31.24	44.30	41.50
25-ก.ค.-51	1.29	34.30	39.60

ตารางผนวกที่ ๓๕(ต่อ)

ว-ด-ป	ฝน (มม.)	ผลการคำนวณน้ำท่า HEC-HMS (ลบ.ม./วินาที)	ข้อมูล น้ำท่า (ลบ.ม./วินาที)
26-ก.ค.-51	2.00	22.00	30.90
27-ก.ค.-51	6.40	14.60	23.60
28-ก.ค.-51	43.38	38.50	19.70
29-ก.ค.-51	10.28	47.50	35.90
30-ก.ค.-51	31.33	40.20	33.20
31-ก.ค.-51	4.54	33.50	34.00
1-ส.ค.-51	4.99	21.40	33.20
2-ส.ค.-51	9.41	16.60	28.50
3-ส.ค.-51	4.38	14.90	28.50
4-ส.ค.-51	37.32	31.60	19.20
5-ส.ค.-51	19.78	46.30	28.50
6-ส.ค.-51	169.18	133.90	30.90
7-ส.ค.-51	81.83	200.10	493.00
8-ส.ค.-51	60.37	145.00	140.00
9-ส.ค.-51	10.50	92.80	110.00
10-ส.ค.-51	16.82	59.40	100.00
11-ส.ค.-51	89.34	91.00	106.00
12-ส.ค.-51	28.89	107.90	131.00
13-ส.ค.-51	32.68	71.70	116.00
14-ส.ค.-51	3.65	45.90	102.00
15-ส.ค.-51	0.16	29.40	78.10
16-ส.ค.-51	0.49	18.80	52.30
17-ส.ค.-51	45.68	40.70	38.70
18-ส.ค.-51	13.04	53.90	150.00
19-ส.ค.-51	7.73	34.50	58.40
20-ส.ค.-51	2.05	22.10	63.60

ตารางพนวกที่ ง5(ต่อ)

ว-ด-ป	ฝน (มม.)	ผลการคำนวณน้ำท่า HEC-HMS (ลบ.ม./วินาที)	ข้อมูล น้ำท่า (ลบ.ม./วินาที)
21-ส.ค.-51	16.21	20.80	47.80
22-ส.ค.-51	0.00	18.60	36.80
23-ส.ค.-51	0.00	11.90	30.10
24-ส.ค.-51	27.48	23.30	28.50
25-ส.ค.-51	6.61	30.80	31.70
26-ส.ค.-51	21.32	27.40	32.40
27-ส.ค.-51	18.31	33.10	33.20
28-ส.ค.-51	3.38	23.30	24.20
29-ส.ค.-51	0.00	14.90	20.30
30-ส.ค.-51	0.00	9.50	18.10
31-ส.ค.-51	3.00	7.40	16.60

ตารางผนวกที่ ง6 ผลการคำนวณปริมาณน้ำท่าจากโปรแกรมในพื้นที่ถุ่มสำหรับช่วงข้อมูลปี2551ใน
กรณีที่ 2

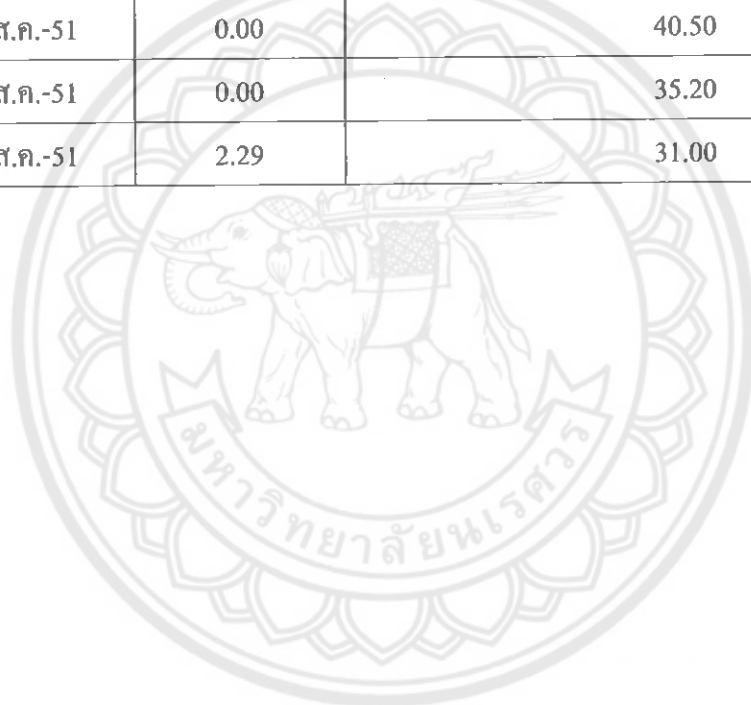
ว-ด-ป	ฝน (มม.)	ผลการคำนวณน้ำท่า HEC-HMS (ลบ.ม./วินาที)
1-ก.ค.-51	9.22	30.90
2-ก.ค.-51	63.25	44.10
3-ก.ค.-51	5.24	48.40
4-ก.ค.-51	9.91	42.00
5-ก.ค.-51	19.73	42.00
6-ก.ค.-51	0.98	36.60
7-ก.ค.-51	22.67	34.60
8-ก.ค.-51	6.48	35.70
9-ก.ค.-51	0.62	31.10
10-ก.ค.-51	0.37	27.00
11-ก.ค.-51	0.74	23.50
12-ก.ค.-51	17.36	29.70
13-ก.ค.-51	26.83	44.30
14-ก.ค.-51	1.86	38.50
15-ก.ค.-51	4.41	33.50
16-ก.ค.-51	3.47	29.20
17-ก.ค.-51	54.70	54.20
18-ก.ค.-51	66.32	96.10
19-ก.ค.-51	19.07	85.90
20-ก.ค.-51	3.82	74.80
21-ก.ค.-51	17.84	65.00
22-ก.ค.-51	2.83	57.10
23-ก.ค.-51	20.63	53.20
24-ก.ค.-51	24.07	61.20
25-ก.ค.-51	1.08	53.20

ตารางพนวนกที่ ง6

ว-ค-ป	ฝน (มม.)	ผลการคำนวณน้ำท่า HEC-HMS (ลบ.ม./วินาที)
26-ก.ค.-51	3.99	46.30
27-ก.ค.-51	4.90	40.30
28-ก.ค.-51	38.06	55.80
29-ก.ค.-51	8.05	59.90
30-ก.ค.-51	33.46	55.10
31-ก.ค.-51	5.99	50.30
1-ส.ค.-51	6.28	43.70
2-ส.ค.-51	9.62	38.10
3-ส.ค.-51	3.57	33.30
4-ส.ค.-51	33.45	43.60
5-ส.ค.-51	15.26	52.10
6-ส.ค.-51	174.16	133.50
7-ส.ค.-51	69.86	188.60
8-ส.ค.-51	48.74	163.80
9-ส.ค.-51	8.20	142.50
10-ส.ค.-51	15.34	124.00
11-ส.ค.-51	77.98	144.50
12-ส.ค.-51	22.19	149.40
13-ส.ค.-51	27.45	130.00
14-ส.ค.-51	2.79	113.10
15-ส.ค.-51	0.12	98.40
16-ส.ค.-51	0.37	85.60
17-ส.ค.-51	44.56	99.40
18-ส.ค.-51	9.98	103.40
19-ส.ค.-51	6.06	90.00
20-ส.ค.-51	4.10	78.30
21-ส.ค.-51	12.62	71.40

ตารางผนวกที่ ๔๖

ว-ด-ป	ฝน (มม.)	ผลการคำนวณนำท่า HEC-HMS (ลบ.ม./วินาที)
22-ส.ค.-51	0.00	62.40
23-ส.ค.-51	0.00	54.30
24-ส.ค.-51	28.17	61.50
25-ส.ค.-51	12.12	67.50
26-ส.ค.-51	16.43	58.80
27-ส.ค.-51	14.01	53.50
28-ส.ค.-51	4.95	46.50
29-ส.ค.-51	0.00	40.50
30-ส.ค.-51	0.00	35.20
31-ส.ค.-51	2.29	31.00



ตารางผนวกที่ ๗ การเปรียบเทียบความสัมพันธ์ระหว่างกราฟน้ำท่าที่ Run จาก
โปรแกรม HEC-HMS ในปี ๒๕๕๑ ณ จุดรวมน้ำปีวะและน้ำขวาง กรณีที่ ๒

ว-ด-ป	ปริมาณน้ำท่า�้าปีว (ลบ.ม./วินาที)	ปริมาณน้ำท่า�้าขวาง (ลบ.ม./วินาที)	ปริมาณน้ำท่ารวม(J-2) (ลบ.ม./วินาที)
1 ก.ค. 51	30.9	30.90	61.8
2 ก.ค. 51	42.1	44.10	86.2
3 ก.ค. 51	46.9	48.40	95.2
4 ก.ค. 51	30.5	42.00	72.5
5 ก.ค. 51	31.3	42.00	73.4
6 ก.ค. 51	27.9	36.60	64.5
7 ก.ค. 51	23.3	34.60	57.9
8 ก.ค. 51	28	35.70	63.6
9 ก.ค. 51	17.9	31.10	49
10 ก.ค. 51	11.4	27.00	38.5
11 ก.ค. 51	7.3	23.50	30.9
12 ก.ค. 51	15.4	29.70	45.1
13 ก.ค. 51	31.6	44.30	75.9
14 ก.ค. 51	26.8	38.50	65.3
15 ก.ค. 51	16.4	33.50	49.9
16 ก.ค. 51	11.4	29.20	40.5
17 ก.ค. 51	44.3	54.20	98.5
18 ก.ค. 51	97.9	96.10	193.9
19 ก.ค. 51	87.3	85.90	173.3
20 ก.ค. 51	55.2	74.80	129.9
21 ก.ค. 51	35.9	65.00	101
22 ก.ค. 51	28.2	57.10	85.3
23 ก.ค. 51	28.3	53.20	81.4
24 ก.ค. 51	42.5	61.20	103.7
25 ก.ค. 51	36.7	53.20	89.9

ตารางผนวกที่ ง7(ต่อ)

ว-ด-ป	ปริมาณน้ำท่าหน้าปีว (ลบ.ม./วินาที)	ปริมาณน้ำท่าหน้าช่วง (ลบ.ม./วินาที)	ปริมาณน้ำท่ารวม(J-2) (ลบ.ม./วินาที)
26 ก.ค. 51	21	46.30	67.3
27 ก.ค. 51	16	40.30	56.3
28 ก.ค. 51	35.2	55.80	91
29 ก.ค. 51	49.6	59.90	109.5
30 ก.ค. 51	39	55.10	94.1
31 ก.ค. 51	35.1	50.30	85.4
1 ส.ค. 51	21.1	43.70	64.8
2 ส.ค. 51	17.3	38.10	55.3
3 ส.ค. 51	14.4	33.30	47.7
4 ส.ค. 51	30.6	43.60	74.2
5 ส.ค. 51	45.9	52.10	98
6 ส.ค. 51	126.7	133.50	260.2
7 ส.ค. 51	200.6	188.60	389.3
8 ส.ค. 51	149.3	163.80	313.1
9 ส.ค. 51	93.6	142.50	236.1
10 ส.ค. 51	61.6	124.00	185.6
11 ส.ค. 51	86.4	144.50	230.9
12 ส.ค. 51	110.4	149.40	259.8
13 ส.ค. 51	72.6	130.00	202.6
14 ส.ค. 51	47.3	113.10	160.3
15 ส.ค. 51	29.6	98.40	127.9
16 ส.ค. 51	19.5	85.60	105.1
17 ส.ค. 51	38.2	99.40	137.6
18 ส.ค. 51	54.9	103.40	158.4
19 ส.ค. 51	35.3	90.00	125.3
20 ส.ค. 51	22.5	78.30	100.8

ตารางผนวกที่ ง7(ต่อ)

ว-ด-ป	ปริมาณน้ำท่าหน้าปั่ว (ลบ.ม./วินาที)	ปริมาณน้ำท่าหน้าช่อง (ลบ.ม./วินาที)	ปริมาณน้ำท่ารวม(J-2) (ลบ.ม./วินาที)
21 ส.ค. 51	20.6	71.40	92
22 ส.ค. 51	19	62.40	81.4
23 ส.ค. 51	12.1	54.30	66.4
24 ส.ค. 51	22.1	61.50	83.6
25 ส.ค. 51	31.2	67.50	98.7
26 ส.ค. 51	27.4	58.80	86.2
27 ส.ค. 51	32.6	53.50	86.1
28 ส.ค. 51	24.5	46.50	71
29 ส.ค. 51	14.5	40.50	55
30 ส.ค. 51	10.3	35.20	45.5
31 ส.ค. 51	6.9	31.00	37.9

ตารางผนวกที่ ง8 การเปรียบเทียบความสัมพันธ์ระหว่างกราฟนำท่าที่ Runจากโปรแกรม HEC-HMS ในปี2551 ณ จุดออกแม่น้ำน่าน กรณีที่2

ว-ค-ป	ปริมาณนำท่ารวม(J-2) (ลบ.ม./วินาที)	ปริมาณนำท่าไหลลงแม่น้ำน่าน(ลบ.ม./วินาที)
1 ก.ค. 51	61.8	61.8
2 ก.ค. 51	86.2	76.6
3 ก.ค. 51	95.2	95.3
4 ก.ค. 51	72.5	81.4
5 ก.ค. 51	73.4	69.7
6 ก.ค. 51	64.5	69.4
7 ก.ค. 51	57.9	58.7
8 ก.ค. 51	63.6	61.1
9 ก.ค. 51	49	55.7
10 ก.ค. 51	38.5	40.1
11 ก.ค. 51	30.9	33.2
12 ก.ค. 51	45.1	38.6
13 ก.ค. 51	75.9	66.3
14 ก.ค. 51	65.3	73.1
15 ก.ค. 51	49.9	53
16 ก.ค. 51	40.5	43
17 ก.ค. 51	98.5	74.9
18 ก.ค. 51	193.9	165.4
19 ก.ค. 51	173.3	192
20 ก.ค. 51	129.9	139.9
21 ก.ค. 51	101	108.6
22 ก.ค. 51	85.3	88.6
23 ก.ค. 51	81.4	81.7
24 ก.ค. 51	103.7	94.9
25 ก.ค. 51	89.9	98.6

ตารางผนวกที่ ง8(ต่อ)

ว-ด-ป	ปริมาณน้ำท่ารวม(จ-2) (ลบ.ม./วินาที)	ปริมาณน้ำท่าไหลลงแม่น้ำใน(ลบ.ม./วินาที)
26 ก.ค. 51	67.3	72.9
27 ก.ค. 51	56.3	58.5
28 ก.ค. 51	91	76.6
29 ก.ค. 51	109.5	107.6
30 ก.ค. 51	94.1	100.8
31 ก.ค. 51	85.4	86.3
1 ส.ค. 51	64.8	72.6
2 ส.ค. 51	55.3	56.2
3 ส.ค. 51	47.7	50.4
4 ส.ค. 51	74.2	62.9
5 ส.ค. 51	98	92.9
6 ส.ค. 51	260.2	198.6
7 ส.ค. 51	389.3	361.7
8 ส.ค. 51	313.1	353.2
9 ส.ค. 51	236.1	251.3
10 ส.ค. 51	185.6	199.7
11 ส.ค. 51	230.9	207.9
12 ส.ค. 51	259.8	257.1
13 ส.ค. 51	202.6	226
14 ส.ค. 51	160.3	168.1
15 ส.ค. 51	127.9	137.7
16 ส.ค. 51	105.1	110.4
17 ส.ค. 51	137.6	122.9
18 ส.ค. 51	158.4	155.7
19 ส.ค. 51	125.3	139.2
20 ส.ค. 51	100.8	105.1

ตารางผนวกที่ ๑๘(ต่อ)

ว.ด.-ป	ปริมาณน้ำท่ารวม(จ-2) (ลบ.ม./วินาที)	ปริมาณน้ำท่าไหลลงแม่น้ำนานา(ลบ.ม./วินาที)
21 ส.ค. ๕๑	92	93.8
22 ส.ค. ๕๑	81.4	84.9
23 ส.ค. ๕๑	66.4	71
24 ส.ค. ๕๑	83.6	75.2
25 ส.ค. ๕๑	98.7	96
26 ส.ค. ๕๑	86.2	92.1
27 ส.ค. ๕๑	86.1	83.9
28 ส.ค. ๕๑	71	77.8
29 ส.ค. ๕๑	55	58.8
30 ส.ค. ๕๑	45.5	47.8
31 ส.ค. ๕๑	37.9	40

ภาคผนวก จ
การเปรียบเทียบปริมาณน้ำท่าจากโปรแกรมและข้อมูล ปี 2549

**ตารางผนวกที่ จ1 ผลสอบเทียบการคำนวณน้ำท่าที่ให้ผลผ่านสถานีวัดน้ำข้างทาง (J-1) จาก
โปรแกรมกับข้อมูลปี 2549 กรณีที่ 1**

ว-ด-ป	ฝน (มม.)	ผลการคำนวณน้ำท่า HEC-HMS (ลบ.ม./วินาที)	ข้อมูล น้ำท่า (ลบ. ม./วินาที)
1-ก.ค.-49	0.8	30.90	1.87
2-ก.ค.-49	0.0	19.80	2.13
3-ก.ค.-49	0.0	12.70	4.51
4-ก.ค.-49	0.0	8.10	5.65
5-ก.ค.-49	14.0	5.40	6.03
6-ก.ค.-49	32.0	13.10	9.82
7-ก.ค.-49	10.6	19.40	14.80
8-ก.ค.-49	15.4	18.40	8.64
9-ก.ค.-49	9.4	17.70	5.08
10-ก.ค.-49	2.7	11.30	9.51
11-ก.ค.-49	0.3	7.20	7.65
12-ก.ค.-49	0.0	4.60	6.66
13-ก.ค.-49	0.0	3.00	6.03
14-ก.ค.-49	0.0	1.90	6.03
15-ก.ค.-49	1.5	2.00	4.89
16-ก.ค.-49	3.2	3.60	5.08
17-ก.ค.-49	77.9	48.50	4.70
18-ก.ค.-49	22.4	74.10	18.00
19-ก.ค.-49	28.6	51.20	21.50
20-ก.ค.-49	19.5	41.30	17.00
21-ก.ค.-49	57.7	58.50	16.00
22-ก.ค.-49	3.7	54.40	184.00

ตารางผนวกที่ จ1(ต่อ)

ว-ด-ป	ฝน (มม.)	ผลการคำนวณน้ำท่า HEC-HMS (ลบ.ม./วินาที)	ข้อมูล น้ำท่า (ลบ.ม./วินาที)
23-ก.ค.-49	0.0	34.80	26.80
24-ก.ค.-49	9.8	22.30	18.40
25-ก.ค.-49	65.2	58.50	34.90
26-ก.ค.-49	64.7	103.10	41.70
27-ก.ค.-49	102.6	137.20	73.20
28-ก.ค.-49	2.0	104.70	47.70
29-ก.ค.-49	0.0	67.00	29.00
30-ก.ค.-49	8.1	42.90	18.90
31-ก.ค.-49	45.3	58.40	18.40
1-ส.ค.-49	2.1	55.50	25.00
2-ส.ค.-49	42.2	48.00	26.20
3-ส.ค.-49	20.9	56.00	66.20
4-ส.ค.-49	12.1	38.30	40.00
5-ส.ค.-49	2.3	24.50	30.40
6-ส.ค.-49	0.0	15.70	23.30
7-ส.ค.-49	57.9	44.70	18.40
8-ส.ค.-49	5.7	56.70	37.40
9-ส.ค.-49	0.7	36.30	23.80
10-ส.ค.-49	0.0	23.20	19.90
11-ส.ค.-49	3.4	15.40	16.50
12-ส.ค.-49	8.4	16.60	13.60
13-ส.ค.-49	2.6	14.80	12.00
14-ส.ค.-49	0.0	9.50	14.80
15-ส.ค.-49	10.4	10.80	13.20
16-ส.ค.-49	0.6	11.40	11.10
17-ส.ค.-49	0.0	7.30	22.10

ตารางผนวกที่ จ1(ต่อ)

ว-ด-ป	ฝน (มม.)	ผลการคำนวณน้ำท่า HEC-HMS (ลบ.ม./วินาที)	ข้อมูล น้ำท่า (ลบ.ม./วินาที)
18-ส.ค.-49	12.5	11.20	91.70
19-ส.ค.-49	4.8	15.40	388.00
20-ส.ค.-49	20.5	21.10	461.00
21-ส.ค.-49	193.5	143.40	133.00
22-ส.ค.-49	70.4	213.10	69.00
23-ส.ค.-49	18.6	136.40	49.70
24-ส.ค.-49	0.5	87.30	62.40
25-ส.ค.-49	16.5	55.80	61.20
26-ส.ค.-49	11.2	46.80	61.20
27-ส.ค.-49	14.3	38.40	50.80
28-ส.ค.-49	40.5	51.10	45.70
29-ส.ค.-49	17.5	55.30	43.60
30-ส.ค.-49	70.7	73.50	38.30
31-ส.ค.-49	10.8	73.80	58.80
1-ก.ย.-49	0.5	47.20	46.70
2-ก.ย.-49	0.0	30.20	39.20
3-ก.ย.-49	4.6	20.00	30.40
4-ก.ย.-49	0.0	14.60	23.80
5-ก.ย.-49	3.2	9.90	21.50
6-ก.ย.-49	2.4	8.70	20.90
7-ก.ย.-49	0.0	5.60	17.50
8-ก.ย.-49	0.0	3.60	14.40
9-ก.ย.-49	8.8	7.60	13.20
10-ก.ย.-49	8.1	13.80	11.40
11-ก.ย.-49	6.6	13.80	13.20
12-ก.ย.-49	0.0	8.80	11.70

ตารางผนวกที่ จ1(ต่อ)

ว-ด-ป	ฝน (มม.)	ผลการคำนวณน้ำท่า HEC-HMS (ลบ.ม./วินาที)	ข้อมูล น้ำท่า (ลบ.ม./วินาที)
14-ก.ย.-49	27.2	20.20	10.10
15-ก.ย.-49	18.2	36.30	8.89
16-ก.ย.-49	8.9	28.10	8.39
17-ก.ย.-49	24.4	28.30	7.40
18-ก.ย.-49	12.1	31.10	6.91
19-ก.ย.-49	29.2	34.70	14.00
20-ก.ย.-49	37.3	51.90	13.60
21-ก.ย.-49	5.2	41.50	26.80
22-ก.ย.-49	0.0	26.60	22.70
23-ก.ย.-49	0.0	17.00	14.80
24-ก.ย.-49	0.0	10.90	11.70
25-ก.ย.-49	5.1	10.20	11.70
26-ก.ย.-49	3.5	11.00	10.80
27-ก.ย.-49	2.1	8.20	9.82
28-ก.ย.-49	0.0	5.30	8.89
29-ก.ย.-49	2.5	3.80	8.64
30-ก.ย.-49	0.0	3.20	7.90

ตารางผนวกที่ จ2 ผลการคำนวณปริมาณน้ำท่าจากโปรแกรมในพื้นที่อุ่มน้ำขวางข้อมูลปี2549ใน
กรณีที่ 1

ว-ด-ป	ฝน (มม.)	ผลการคำนวณน้ำท่า HEC-HMS (ลบ.ม./วินาที)
1-ก.ค.-49	0.8	30.90
2-ก.ค.-49	0.0	26.90
3-ก.ค.-49	0.0	23.40
4-ก.ค.-49	0.0	20.30
5-ก.ค.-49	14.0	18.00
6-ก.ค.-49	32.0	25.20
7-ก.ค.-49	10.6	30.30
8-ก.ค.-49	15.4	27.90
9-ก.ค.-49	9.4	25.80
10-ก.ค.-49	2.7	22.50
11-ก.ค.-49	0.3	19.60
12-ก.ค.-49	0.0	17.00
13-ก.ค.-49	0.0	14.80
14-ก.ค.-49	0.0	12.90
15-ก.ค.-49	1.5	12.00
16-ก.ค.-49	3.2	12.30
17-ก.ค.-49	77.9	52.30
18-ก.ค.-49	22.4	74.80
19-ก.ค.-49	28.6	65.00
20-ก.ค.-49	19.5	56.50
21-ก.ค.-49	57.7	69.50
22-ก.ค.-49	3.7	63.70
23-ก.ค.-49	0.0	55.40
24-ก.ค.-49	9.8	48.20
25-ก.ค.-49	65.2	80.20

ตารางผนวกที่ จ2(ต่อ)

ว-ด-ป	ฝน (มม.)	ผลการคำนวณน้ำท่า HEC-HMS (ลบ.ม./วินาที)
26-ก.ค.-49	64.7	118.80
27-ก.ค.-49	102.6	147.40
28-ก.ค.-49	2.0	128.10
29-ก.ค.-49	0.0	111.40
30-ก.ค.-49	8.1	97.00
31-ก.ค.-49	45.3	110.70
1-ส.ค.-49	2.1	105.30
2-ส.ค.-49	42.2	94.30
3-ส.ค.-49	20.9	96.80
4-ส.ค.-49	12.1	84.20
5-ส.ค.-49	2.3	73.30
6-ส.ค.-49	0.0	63.70
7-ส.ค.-49	57.9	85.60
8-ส.ค.-49	5.7	92.00
9-ส.ค.-49	0.7	80.10
10-ส.ค.-49	0.0	69.70
11-ส.ค.-49	3.4	60.60
12-ส.ค.-49	8.4	58.20
13-ส.ค.-49	2.6	52.70
14-ส.ค.-49	0.0	45.90
15-ส.ค.-49	10.4	43.40
16-ส.ค.-49	0.6	40.20
17-ส.ค.-49	0.0	35.00
18-ส.ค.-49	12.5	35.80
19-ส.ค.-49	4.8	36.80
20-ส.ค.-49	20.5	39.30
21-ส.ค.-49	193.5	147.10

ตารางผนวกที่ ง2(ต่อ)

ว-ด-ป	ฝน (มม.)	ผลการคำนวณนำท่า HEC-HMS (ลบ.ม./วินาที)
22-ส.ค.-49	70.4	207.70
23-ส.ค.-49	18.6	180.30
24-ส.ค.-49	0.5	156.90
25-ส.ค.-49	16.5	136.50
26-ส.ค.-49	11.2	125.30
27-ส.ค.-49	14.3	112.10
28-ส.ค.-49	40.5	116.90
29-ส.ค.-49	17.5	113.60
30-ส.ค.-49	70.7	123.00
31-ส.ค.-49	10.8	116.80
1-ก.ย.-49	0.5	101.6
2-ก.ย.-49	0.0	88.4
3-ก.ย.-49	4.6	76.9
4-ก.ย.-49	0.0	67.9
5-ก.ย.-49	3.2	59
6-ก.ย.-49	2.4	52.9
7-ก.ย.-49	0.0	46
8-ก.ย.-49	0.0	40
9-ก.ย.-49	8.8	39.5
10-ก.ย.-49	8.1	41.3
11-ก.ย.-49	6.6	37.7
12-ก.ย.-49	0.0	32.8
13-ก.ย.-49	0.0	28.5
14-ก.ย.-49	27.2	39.4
15-ก.ย.-49	18.2	51.7
16-ก.ย.-49	8.9	45
17-ก.ย.-49	24.4	42.9

ตารางผนวกที่ จ2(ต่อ)

ว-ด-ป	ฝน (มม.)	ผลการคำนวณนำท่า HEC-HMS (ลบ.ม./วินาที)
18-ก.ย.-49	12.1	43.2
19-ก.ย.-49	29.2	44.6
20-ก.ย.-49	37.3	58.4
21-ก.ย.-49	5.2	50.8
22-ก.ย.-49	0.0	44.2
23-ก.ย.-49	0.0	38.4
24-ก.ย.-49	0.0	33.4
25-ก.ย.-49	5.1	32
26-ก.ย.-49	3.5	31.1
27-ก.ย.-49	2.1	27.1
28-ก.ย.-49	0.0	23.6
29-ก.ย.-49	2.5	20.5
30-ก.ย.-49	0.0	18.1

ตารางผนวกที่ จ3การเปรียบเทียบความสัมพันธ์ระหว่างกราฟน้ำท่าที่ Runจาก
โปรแกรม HEC-HMS ในปี 2549 ณ จุดรวมน้ำปีวและน้ำขวาง กรณีที่ 1

ว-ด-ป	ปริมาณน้ำท่า�้าปีว (ลบ.ม./วินาที)	ปริมาณน้ำท่า�้าขวาง(ลบ.ม./ วินาที)	ปริมาณน้ำท่ารวม(J-2) (ลบ.ม./วินาที)
1 ก.ค. 49	30.9	30.90	61.8
2-ก.ค.-49	20.7	26.90	47.6
3-ก.ค.-49	12.4	23.40	35.8
4-ก.ค.-49	8.7	20.30	29
5-ก.ค.-49	5.1	18.00	23.1
6-ก.ค.-49	12.6	25.20	37.8
7-ก.ค.-49	19.2	30.30	49.5
8-ก.ค.-49	18.7	27.90	46.5
9-ก.ค.-49	17.5	25.80	43.4
10-ก.ค.-49	12	22.50	34.5
11-ก.ค.-49	7	19.60	26.6
12-ก.ค.-49	5	17.00	22.1
13-ก.ค.-49	2.8	14.80	17.6
14-ก.ค.-49	2.2	12.90	15.1
15-ก.ค.-49	1.8	12.00	13.7
16-ก.ค.-49	3.7	12.30	16
17-ก.ค.-49	44.5	52.30	96.9
18-ก.ค.-49	75.3	74.80	150.1
19-ก.ค.-49	52.1	65.00	117.1
20-ก.ค.-49	41.3	56.50	97.9
21-ก.ค.-49	57	69.50	126.5
22-ก.ค.-49	56	63.70	119.7
23-ก.ค.-49	35.1	55.40	90.5
24-ก.ค.-49	23.1	48.20	71.3
25-ก.ค.-49	54.7	80.20	134.9

ตารางผนวกที่ จ3(ต่อ)

ว-ด-ป	ปริมาณน้ำท่าหน้าปั่ว (ลบ.ม./วินาที)	ปริมาณน้ำท่าหน้าขวาง (ลบ.ม./วินาที)	ปริมาณน้ำท่ารวม(จ-2) (ลบ. ม./วินาที)
26-ก.ค.-49	102.6	118.80	221.4
27-ก.ค.-49	134.7	147.40	282.1
28-ก.ค.-49	109.6	128.10	237.7
29-ก.ค.-49	66	111.40	177.4
30-ก.ค.-49	45.8	97.00	142.8
31-ก.ค.-49	54.5	110.70	165.2
1-ส.ค.-49	59.1	105.30	164.4
2-ส.ค.-49	45.5	94.30	139.8
3-ส.ค.-49	57.4	96.80	154.2
4-ส.ค.-49	38.6	84.20	122.8
5-ส.ค.-49	25.4	73.30	98.7
6-ส.ค.-49	15.6	63.70	79.4
7-ส.ค.-49	42.2	85.60	127.9
8-ส.ค.-49	57.8	92.00	149.8
9-ส.ค.-49	37.1	80.10	117.2
10-ส.ค.-49	23.6	69.70	93.3
11-ส.ค.-49	15.8	60.60	76.4
12-ส.ค.-49	16.2	58.20	74.5
13-ส.ค.-49	15.3	52.70	68
14-ส.ค.-49	9.5	45.90	55.4
15-ส.ค.-49	10.7	43.40	54.1
16-ส.ค.-49	11.5	40.20	51.7
17-ส.ค.-49	7.6	35.00	42.5
18-ส.ค.-49	10.7	35.80	46.4
19-ส.ค.-49	15.6	36.80	52.4
20-ส.ค.-49	20.5	39.30	59.8

ตารางผนวกที่ จ3(ต่อ)

ว-ด-ป	ปริมาณน้ำท่า�้ำป้ว (ลบ.ม./วินาที)	ปริมาณน้ำท่า�้ำขวาง(ลบ.ม./ วินาที)	ปริมาณน้ำท่ารวม(J-2) (ลบ.ม./วินาที)
21-ส.ค.-49	133.5	147.10	280.5
22-ส.ค.-49	215.7	207.70	423.4
23-ส.ค.-49	140.6	180.30	321
24-ส.ค.-49	87.8	156.90	244.6
25-ส.ค.-49	58.1	136.50	194.6
26-ส.ค.-49	45.6	125.30	170.9
27-ส.ค.-49	40.1	112.10	152.3
28-ส.ค.-49	48.6	116.90	165.5
29-ส.ค.-49	57.2	113.60	170.8
30-ส.ค.-49	70.3	123.00	193.3
31-ส.ค.-49	76.5	116.80	193.3
1-ก.ย.-49	47.2	101.60	148.8
2-ก.ย.-49	31.7	88.40	120.2
3-ก.ย.-49	19.5	76.90	96.5
4-ก.ย.-49	15.4	67.90	83.3
5-ก.ย.-49	9.6	59.00	68.6
6-ก.ย.-49	9.1	52.90	62
7-ก.ย.-49	5.5	46.00	51.5
8-ก.ย.-49	3.8	40.00	43.8
9-ก.ย.-49	7.1	39.50	46.6
10-ก.ย.-49	13.8	41.30	55
11-ก.ย.-49	13.8	37.70	51.5
12-ก.ย.-49	9.2	32.80	42
13-ก.ย.-49	5.6	28.50	34.1
14-ก.ย.-49	19	39.40	58.4

ตารางผนวกที่ จ3(ต่อ)

ว-ด-ป	ปริมาณน้ำท่าหน้าปีว (ลบ.ม./วินาที)	ปริมาณน้ำท่าหน้าขวาง (ลบ.ม./วินาที)	ปริมาณน้ำท่ารวม(J-2) (ลบ. ม./วินาที)
15-ก.ย.-49	35.9	51.70	87.6
16-ก.ย.-49	29	45.00	74
17-ก.ย.-49	27.5	42.90	70.3
18-ก.ย.-49	31.6	43.20	74.8
19-ก.ย.-49	34	44.60	78.6
20-ก.ย.-49	51.1	58.40	109.4
21-ก.ย.-49	43.1	50.80	93.9
22-ก.ย.-49	26.5	44.20	70.7
23-ก.ย.-49	17.9	38.40	56.3
24-ก.ย.-49	10.6	33.40	44.1
25-ก.ย.-49	10.4	32.00	42.4
26-ก.ย.-49	10.7	31.10	41.8
27-ก.ย.-49	8.7	27.10	35.8
28-ก.ย.-49	5.1	23.60	28.7
29-ก.ย.-49	4.1	20.50	24.6
30 ก.ย. 49	3	18.10	21.2

ตารางผนวกที่ จ4 การเปรียบเทียบความสัมพันธ์ระหว่างกราฟน้ำท่าที่ Runจากโปรแกรม HEC-HMS ในปี 2549 ณ จุดอุกแม่น้ำน่าน กรณีที่ 1

ว-ด-ป	ปริมาณน้ำท่ารวม(J-2) (ลบ.ม./วินาที)	ปริมาณน้ำท่าไหลดลงแม่น้ำน่าน (ลบ.ม./วินาที)
1-ก.ค.-49	61.8	61.8
2-ก.ค.-49	47.6	53.2
3-ก.ค.-49	35.8	38.4
4-ก.ค.-49	29	30.7
5-ก.ค.-49	23.1	24.8
6-ก.ค.-49	37.8	31.4
7-ก.ค.-49	49.5	47.3
8-ก.ค.-49	46.5	48.5
9-ก.ค.-49	43.4	43.9
10-ก.ค.-49	34.5	37.8
11-ก.ค.-49	26.6	28.4
12-ก.ค.-49	22.1	23.1
13-ก.ค.-49	17.6	18.9
14-ก.ค.-49	15.1	15.5
15-ก.ค.-49	13.7	14.1
16-ก.ค.-49	16	15
17-ก.ค.-49	96.9	65.6
18-ก.ค.-49	150.1	141
19-ก.ค.-49	117.1	133.5
20-ก.ค.-49	97.9	99.3
21-ก.ค.-49	126.5	114.8
22-ก.ค.-49	119.7	126.7
23-ก.ค.-49	90.5	99.3
24-ก.ค.-49	71.3	75.5
25-ก.ค.-49	134.9	108.4

ตารางผนวกที่ จ4(ต่อ)

ว-ด-ป	ปริมาณน้ำท่ารวม(จ-2) (ลบ.ม./วินาที)	ปริมาณน้ำท่าไฟลส์แม่น้ำใน (ลบ.ม./วินาที)
26-ก.ค.-49	221.4	197.4
27-ก.ค.-49	282.1	267.3
28-ก.ค.-49	237.7	260.6
29-ก.ค.-49	177.4	192.4
30-ก.ค.-49	142.8	150.7
31-ก.ค.-49	165.2	153.4
1-ส.ค.-49	164.4	169.1
2-ส.ค.-49	139.8	147.7
3-ส.ค.-49	154.2	145.7
4-ส.ค.-49	122.8	138.3
5-ส.ค.-49	98.7	102.3
6-ส.ค.-49	79.4	85.6
7-ส.ค.-49	127.9	106.6
8-ส.ค.-49	149.8	149.2
9-ส.ค.-49	117.2	130.2
10-ส.ค.-49	93.3	97.8
11-ส.ค.-49	76.4	81.3
12-ส.ค.-49	74.5	73.3
13-ส.ค.-49	68	70.9
14-ส.ค.-49	55.4	59.2
15-ส.ค.-49	54.1	53.1
16-ส.ค.-49	51.7	53
17-ส.ค.-49	42.5	45.7
18-ส.ค.-49	46.4	43.8
19-ส.ค.-49	52.4	51.1
20-ส.ค.-49	59.8	57.4

ตารางผนวกที่ จ4(ต่อ)

ว-ด-ป	ปริมาณน้ำท่ารวม(J-2) (ลบ.ม./วินาที)	ปริมาณน้ำท่าไหลลงแม่น้ำใน (ลบ.ม./วินาที)
21-ส.ค.-49	280.5	195
22-ส.ค.-49	423.4	399.4
23-ส.ค.-49	321	370
24-ส.ค.-49	244.6	256.2
25-ส.ค.-49	194.6	209.9
26-ส.ค.-49	170.9	174.5
27-ส.ค.-49	152.3	158.2
28-ส.ค.-49	165.5	158.1
29-ส.ค.-49	170.8	171.5
30-ส.ค.-49	193.3	184.2
31-ส.ค.-49	193.3	196.7
1-ก.ย.-49	148.8	165
2-ก.ย.-49	120.2	125.3
3-ก.ย.-49	96.5	103.8
4-ก.ย.-49	83.3	85.7
5-ก.ย.-49	68.6	73.5
6-ก.ย.-49	62	62.8
7-ก.ย.-49	51.5	55.3
8-ก.ย.-49	43.8	45.4
9-ก.ย.-49	46.6	44.9
10-ก.ย.-49	55	52.3
11-ก.ย.-49	51.5	53.9
12-ก.ย.-49	42	44.8
13-ก.ย.-49	34.1	36.1
14-ก.ย.-49	58.4	48.1
15-ก.ย.-49	87.6	80

ตารางผนวกที่ จ4(ต่อ)

ว-ด-ป	ปริมาณน้ำท่ารวม(จ-2) (ลบ.ม./วินาที)	ปริมาณน้ำท่าไหลลงแม่น้ำน่าน (ลบ.ม./วินาที)
16-ก.ย.-49	74	82.2
17-ก.ย.-49	70.3	68.7
18-ก.ย.-49	74.8	73.7
19-ก.ย.-49	78.6	77.5
20-ก.ย.-49	109.4	97.8
21-ก.ย.-49	93.9	104.3
22-ก.ย.-49	70.7	75.8
23-ก.ย.-49	56.3	60
24-ก.ย.-49	44.1	47.5
25-ก.ย.-49	42.4	41.8
26-ก.ย.-49	41.8	42.3
27-ก.ย.-49	35.8	38
28-ก.ย.-49	28.7	30.7
29-ก.ย.-49	24.6	25.5
30-ก.ย.-49	21.2	22.2

ตารางผนวกที่ จ5 ผลสอบเทียบการคำนวณน้ำท่าที่ให้ผ่านสถานีวัดน้ำม้านาฝาง (J-1) จาก
โปรแกรมกับข้อมูลปี2549กรณีที่ 2

ว-ด-ป	ฝน (มม.)	ผลการคำนวณน้ำท่า HEC-HMS (ลบ.ม./วินาที)	ข้อมูล น้ำท่า (ลบ.ม./วินาที)
1-ก.ค.-49	1.20	30.90	1.87
2-ก.ค.-49	0.46	19.80	2.13
3-ก.ค.-49	0.02	12.70	4.51
4-ก.ค.-49	0.11	8.10	5.65
5-ก.ค.-49	12.54	5.30	6.03
6-ก.ค.-49	27.50	10.80	9.82
7-ก.ค.-49	8.99	15.60	14.80
8-ก.ค.-49	12.59	14.70	8.64
9-ก.ค.-49	8.47	14.30	5.08
10-ก.ค.-49	3.14	9.80	9.51
11-ก.ค.-49	0.24	6.30	7.65
12-ก.ค.-49	0.00	4.00	6.66
13-ก.ค.-49	2.20	3.30	6.03
14-ก.ค.-49	0.00	2.80	6.03
15-ก.ค.-49	1.41	2.00	4.89
16-ก.ค.-49	2.59	2.90	5.08
17-ก.ค.-49	69.54	42.20	4.70
18-ก.ค.-49	20.27	65.20	18.00
19-ก.ค.-49	25.26	45.10	21.50
20-ก.ค.-49	16.56	35.90	17.00
21-ก.ค.-49	46.97	48.20	16.00
22-ก.ค.-49	3.00	44.20	184.00
23-ก.ค.-49	0.00	28.30	26.80
24-ก.ค.-49	9.59	18.10	18.40
25-ก.ค.-49	64.21	55.10	34.90

ตารางผนวกที่ จ5(ต่อ)

ว-ด-ป	ฝน (มม.)	ผลการคำนวณน้ำท่า HEC-HMS (ลบ.ม./วินาที)	ข้อมูล น้ำท่า (ลบ.ม./วินาที)
26-ก.ค.-49	59.95	97.40	41.70
27-ก.ค.-49	83.85	119.80	73.20
28-ก.ค.-49	1.73	87.00	47.70
29-ก.ค.-49	0.00	55.60	29.00
30-ก.ค.-49	8.67	35.60	18.90
31-ก.ค.-49	41.35	51.70	18.40
1-ส.ค.-49	2.35	49.50	25.00
2-ส.ค.-49	44.23	46.70	26.20
3-ส.ค.-49	20.33	56.10	66.20
4-ส.ค.-49	13.58	38.40	40.00
5-ส.ค.-49	2.97	24.60	30.40
6-ส.ค.-49	0.00	15.70	23.30
7-ส.ค.-49	53.59	41.50	18.40
8-ส.ค.-49	6.48	53.20	37.40
9-ส.ค.-49	1.80	34.10	23.80
10-ส.ค.-49	0.00	21.80	19.90
11-ส.ค.-49	2.75	14.00	16.50
12-ส.ค.-49	8.80	15.50	13.60
13-ส.ค.-49	2.81	14.60	12.00
14-ส.ค.-49	0.38	9.30	14.80
15-ส.ค.-49	8.48	9.60	13.20
16-ส.ค.-49	0.81	9.70	11.10
17-ส.ค.-49	1.10	6.20	22.10
18-ส.ค.-49	17.12	14.10	91.70
19-ส.ค.-49	26.35	32.70	388.00
20-ส.ค.-49	22.55	41.10	461.00

ตารางผนวกที่ จ5(ต่อ)

ว-ด-ป	ฝน (มม.)	ผลการคำนวณน้ำท่า HEC-HMS (ลบ.ม./วินาที)	ข้อมูล น้ำท่า (ลบ.ม./วินาที)
21-ส.ค.-49	157.50	126.50	133.00
22-ส.ค.-49	58.79	176.00	69.00
23-ส.ค.-49	15.58	112.60	49.70
24-ส.ค.-49	2.17	72.10	62.40
25-ส.ค.-49	16.67	46.10	61.20
26-ส.ค.-49	14.09	42.50	61.20
27-ส.ค.-49	12.89	35.70	50.80
28-ส.ค.-49	32.81	42.90	45.70
29-ส.ค.-49	16.53	46.20	43.60
30-ส.ค.-49	74.12	72.00	38.30
31-ส.ค.-49	11.33	75.90	58.80
1-ก.ย.-49	0.41	48.60	46.70
2-ก.ย.-49	0.00	31.10	39.20
3-ก.ย.-49	3.73	19.90	30.40
4-ก.ย.-49	0.00	14.20	23.80
5-ก.ย.-49	3.14	9.90	21.50
6-ก.ย.-49	1.94	8.50	20.90
7-ก.ย.-49	0.00	5.40	17.50
8-ก.ย.-49	0.00	3.50	14.40
9-ก.ย.-49	7.13	6.50	13.20
10-ก.ย.-49	23.87	22.60	11.40
11-ก.ย.-49	5.44	25.90	13.20
12-ก.ย.-49	1.48	16.60	11.70
13-ก.ย.-49	0.00	10.60	11.10
14-ก.ย.-49	22.03	19.50	10.10
15-ก.ย.-49	14.74	31.20	8.89

ตารางผนวกที่ จ5(ต่อ)

ว-ด-ป	ฝน (มม.)	ผลการคำนวณน้ำท่า HEC-HMS (ลบ.ม./วินาที)	ข้อมูล น้ำท่า (ลบ.ม./วินาที)
16-ก.ย.-49	7.21	23.90	8.39
17-ก.ย.-49	19.76	23.70	7.40
18-ก.ย.-49	10.31	26.00	6.91
19-ก.ย.-49	27.21	31.10	14.00
20-ก.ย.-49	33.23	47.20	13.60
21-ก.ย.-49	5.11	37.60	26.80
22-ก.ย.-49	0.68	24.10	22.70
23-ก.ย.-49	0.00	15.40	14.80
24-ก.ย.-49	0.00	9.90	11.70
25-ก.ย.-49	4.13	8.80	11.70
26-ก.ย.-49	2.84	9.20	10.80
27-ก.ย.-49	1.70	6.90	9.82
28-ก.ย.-49	0.46	4.40	8.89
29-ก.ย.-49	2.03	3.40	8.64
30-ก.ย.-49	0.00	2.70	7.90

ตารางพนวกที่ จ6 ผลการคำนวณปริมาณน้ำท่าจากโปรแกรมในพื้นที่คุ่มน้ำขวางชื่อคลื่นปี2549

กราฟที่ 2

ว-ด-ป	ฝน (มม.)	ผลการคำนวณน้ำท่า HEC-HMS (ลบ.ม./วินาที)
1-ก.ค.-49	1.60	30.90
2-ก.ค.-49	0.91	26.90
3-ก.ค.-49	0.04	23.40
4-ก.ค.-49	0.23	20.40
5-ก.ค.-49	11.07	17.80
6-ก.ค.-49	22.99	21.10
7-ก.ค.-49	7.37	23.30
8-ก.ค.-49	9.78	21.10
9-ก.ค.-49	7.54	19.80
10-ก.ค.-49	3.57	17.20
11-ก.ค.-49	0.19	15.00
12-ก.ค.-49	0.00	13.00
13-ก.ค.-49	4.41	12.80
14-ก.ค.-49	0.00	12.00
15-ก.ค.-49	1.31	10.40
16-ก.ค.-49	1.98	9.70
17-ก.ค.-49	61.18	39.80
18-ก.ค.-49	18.14	57.40
19-ก.ค.-49	21.91	49.90
20-ก.ค.-49	13.61	43.40
21-ก.ค.-49	36.23	48.30
22-ก.ค.-49	2.29	42.70
23-ก.ค.-49	0.00	37.20
24-ก.ค.-49	9.38	32.40
25-ก.ค.-49	63.22	65.40

ตารางผนวกที่ จ6(ต่อ)

ว-ด-ป	ฝน (มม.)	ผลการคำนวณนำท่ำ HEC-HMS (ลบ.ม./วินาที)
26-ก.ค.-49	55.20	99.90
27-ก.ค.-49	65.09	108.00
28-ก.ค.-49	1.47	93.80
29-ก.ค.-49	0.00	81.60
30-ก.ค.-49	9.24	71.00
31-ก.ค.-49	37.40	84.40
1-ส.ค.-49	2.59	80.10
2-ส.ค.-49	46.27	78.40
3-ส.ค.-49	19.76	84.30
4-ส.ค.-49	15.06	73.30
5-ส.ค.-49	3.63	63.80
6-ส.ค.-49	0.00	55.50
7-ส.ค.-49	49.27	72.40
8-ส.ค.-49	7.26	78.90
9-ส.ค.-49	2.90	68.70
10-ส.ค.-49	0.00	59.70
11-ส.ค.-49	2.11	52.00
12-ส.ค.-49	9.20	50.50
13-ส.ค.-49	3.02	47.00
14-ส.ค.-49	0.76	40.90
15-ส.ค.-49	6.56	36.70
16-ส.ค.-49	1.02	33.30
17-ส.ค.-49	2.20	28.90
18-ส.ค.-49	21.73	36.80
19-ส.ค.-49	47.89	63.90
20-ส.ค.-49	24.60	71.60
21-ส.ค.-49	121.49	113.20

ตารางผนวกที่ ๑๖(ต่อ)

ว-ด-ป	ฝน (มม.)	ผลการคำนวณน้ำท่า HEC-HMS (ลบ.ม./วินาที)
22-ส.ค.-49	47.18	137.70
23-ส.ค.-49	12.56	119.60
24-ส.ค.-49	3.84	104.00
25-ส.ค.-49	16.84	90.50
26-ส.ค.-49	16.98	88.40
27-ส.ค.-49	11.49	79.30
28-ส.ค.-49	25.11	76.00
29-ส.ค.-49	15.56	73.30
30-ส.ค.-49	77.54	98.90
31-ส.ค.-49	11.86	101.50
1-ก.ย.-49	0.31	88.3
2-ก.ย.-49	0	76.8
3-ก.ย.-49	2.852	66.8
4-ก.ย.-49	0	58.7
5-ก.ย.-49	3.086	51.5
6-ก.ย.-49	1.488	46
7-ก.ย.-49	0	40
8-ก.ย.-49	0	34.8
9-ก.ย.-49	5.456	33.2
10-ก.ย.-49	39.64	53.2
11-ก.ย.-49	4.282	56.3
12-ก.ย.-49	2.964	49
13-ก.ย.-49	0	42.6
14-ก.ย.-49	16.864	44.2
15-ก.ย.-49	11.284	48.8
16-ก.ย.-49	5.518	42.4
17-ก.ย.-49	15.128	39.3

ตารางผนวกที่ จ6(ต่อ)

ว-ด-ป	ฝน (มม.)	ผลการคำนวณนำท่ำ HEC-HMS (ลบ.ม./วินาที)
18-ก.ย.-49	8.528	38.4
19-ก.ย.-49	25.21	42.2
20-ก.ย.-49	29.168	53.6
21-ก.ย.-49	5.01	46.7
22-ก.ย.-49	1.368	40.6
23-ก.ย.-49	0	35.3
24-ก.ย.-49	0	30.7
25-ก.ย.-49	3.162	28.3
26-ก.ย.-49	2.17	26.6
27-ก.ย.-49	1.302	23.2
28-ก.ย.-49	0.912	20.2
29-ก.ย.-49	1.55	17.7
30-ก.ย.-49	0	15.4

ตารางผนวกที่ ๗ การเปรียบเทียบความสัมพันธ์ระหว่างกราฟน้ำท่าที่ Run จาก
โปรแกรม HEC-HMS ในปี ๒๕๔๙ ณ จุดรวมน้ำป้วและน้ำขว้าง กรณีที่ ๒

ว-ด-ป	ปริมาณน้ำท่า�้าป้ว (ลบ.ม./วินาที)	ปริมาณน้ำท่าน้ำขว้าง (ลบ.ม./วินาที)	ปริมาณน้ำท่ารวม(J-2) (ลบ.ม./วินาที)
1-ก.ค.-49	30.9	30.90	61.8
2-ก.ค.-49	20.7	26.90	47.6
3-ก.ค.-49	12.5	23.40	35.8
4-ก.ค.-49	8.7	20.40	29
5-ก.ค.-49	5.1	17.80	22.9
6-ก.ค.-49	10.6	21.10	31.6
7-ก.ค.-49	15.4	23.30	38.8
8-ก.ค.-49	14.9	21.10	36
9-ก.ค.-49	14.2	19.80	34
10-ก.ค.-49	10.4	17.20	27.6
11-ก.ค.-49	6.1	15.00	21.1
12-ก.ค.-49	4.4	13.00	17.4
13-ก.ค.-49	3.1	12.80	15.9
14-ก.ค.-49	3	12.00	15
15-ก.ค.-49	1.8	10.40	12.3
16-ก.ค.-49	2.9	9.70	12.7
17-ก.ค.-49	38.8	39.80	78.6
18-ก.ค.-49	66.1	57.40	123.6
19-ก.ค.-49	46	49.90	95.9
20-ก.ค.-49	35.9	43.40	79.3
21-ก.ค.-49	47.2	48.30	95.4
22-ก.ค.-49	45.4	42.70	88.2
23-ก.ค.-49	28.5	37.20	65.7
24-ก.ค.-49	18.7	32.40	51.1
25-ก.ค.-49	51.4	65.40	116.8

ตารางผนวกที่ จ7(ต่อ)

ว-ด-ป	ปริมาณน้ำท่าสำป้ว (ลบ.ม./วินาที)	ปริมาณน้ำท่าสำขร้าง (ลบ.ม./วินาที)	ปริมาณน้ำท่ารวม(J-2) (ลบ.ม./วินาที)
26-ก.ค.-49	97	99.90	196.9
27-ก.ค.-49	118.2	108.00	226.2
28-ก.ค.-49	91.1	93.80	184.9
29-ก.ค.-49	54.7	81.60	136.3
30-ก.ค.-49	38.1	71.00	109.1
31-ก.ค.-49	48.1	84.40	132.5
1-ส.ค.-49	52.8	80.10	132.9
2-ส.ค.-49	44.1	78.40	122.5
3-ส.ค.-49	57.5	84.30	141.7
4-ส.ค.-49	38.7	73.30	112
5-ส.ค.-49	25.5	63.80	89.3
6-ส.ค.-49	15.7	55.50	71.2
7-ส.ค.-49	39.4	72.40	111.7
8-ส.ค.-49	54.1	78.90	133
9-ส.ค.-49	35	68.70	103.6
10-ส.ค.-49	22.1	59.70	81.8
11-ส.ค.-49	14.4	52.00	66.4
12-ส.ค.-49	15	50.50	65.5
13-ส.ค.-49	15.1	47.00	62.1
14-ส.ค.-49	9.3	40.90	50.2
15-ส.ค.-49	9.5	36.70	46.3
16-ส.ค.-49	9.7	33.30	43
17-ส.ค.-49	6.5	28.90	35.4
18-ส.ค.-49	13.2	36.80	50
19-ส.ค.-49	32	63.90	95.8
20-ส.ค.-49	41.1	71.60	112.7

ตารางผนวกที่ จ7(ต่อ)

ว-ด-ป	ปริมาณน้ำท่าหน้าปั่ว (ลบ.ม./วินาที)	ปริมาณน้ำท่าหน้าขวาง (ลบ.ม./วินาที)	ปริมาณน้ำท่ารวม(J-2) (ลบ.ม./วินาที)
21-ส.ค.-49	119.2	113.20	232.4
22-ส.ค.-49	178	137.70	315.7
23-ส.ค.-49	116.2	119.60	235.8
24-ส.ค.-49	72.4	104.00	176.4
25-ส.ค.-49	48.1	90.50	138.6
26-ส.ค.-49	41.1	88.40	129.5
27-ส.ค.-49	37.5	79.30	116.8
28-ส.ค.-49	40.8	76.00	116.8
29-ส.ค.-49	47.8	73.30	121.1
30-ส.ค.-49	68.5	98.90	167.4
31-ส.ค.-49	78.7	101.50	180.2
1-ก.ย.-49	48.6	88.30	136.9
2-ก.ย.-49	32.6	76.80	109.4
3-ก.ย.-49	19.6	66.80	86.4
4-ก.ย.-49	15	58.70	73.6
5-ก.ย.-49	9.6	51.50	61
6-ก.ย.-49	8.9	46.00	54.9
7-ก.ย.-49	5.3	40.00	45.4
8-ก.ย.-49	3.7	34.80	38.5
9-ก.ย.-49	6.1	33.20	39.2
10-ก.ย.-49	21.6	53.20	74.8
11-ก.ย.-49	26.5	56.30	82.8
12-ก.ย.-49	16.9	49.00	65.9
13-ก.ย.-49	10.9	42.60	53.5
14-ก.ย.-49	18.6	44.20	62.8
15-ก.ย.-49	31.1	48.80	79.8

ตารางผนวกที่ จ7(ต่อ)

ว-ด-ป	ปริมาณน้ำท่าหน้าปีว (ลบ.ม./วินาที)	ปริมาณน้ำท่าหน้าช่วง (ลบ.ม./วินาที)	ปริมาณน้ำท่ารวม(J-2) (ลบ.ม./วินาที)
16-ก.ย.-49	24.7	42.40	67.1
17-ก.ย.-49	23	39.30	62.3
18-ก.ย.-49	26.3	38.40	64.8
19-ก.ย.-49	30.4	42.20	72.5
20-ก.ย.-49	46.5	53.60	100.2
21-ก.ย.-49	39.1	46.70	85.7
22-ก.ย.-49	24	40.60	64.6
23-ก.ย.-49	16.2	35.30	51.5
24-ก.ย.-49	9.6	30.70	40.4
25-ก.ย.-49	9.1	28.30	37.4
26-ก.ย.-49	9	26.60	35.6
27-ก.ย.-49	7.4	23.20	30.5
28-ก.ย.-49	4.3	20.20	24.4
29-ก.ย.-49	3.6	17.70	21.3
30-ก.ย.-49	2.5	15.40	17.9

ตารางผนวกที่ จ8 การเปรียบเทียบความสัมพันธ์ระหว่างกราฟน้ำท่าที่ Runoff โปรแกรม HEC-HMS ในปี 2549 ณ จุดออกแม่น้ำน่าน กรณีที่ 2

ว-ด-ป	ปริมาณน้ำท่ารวม(J-2) (ลบ.ม./วินาที)	ปริมาณน้ำท่าไฟคลังแม่น้ำน่าน
		(ลบ.ม./วินาที)
1-ก.ค.-49	61.8	61.8
2-ก.ค.-49	47.6	53.2
3-ก.ค.-49	35.8	38.4
4-ก.ค.-49	29	30.8
5-ก.ค.-49	22.9	24.7
6-ก.ค.-49	31.6	27.6
7-ก.ค.-49	38.8	37.5
8-ก.ค.-49	36	37.6
9-ก.ค.-49	34	34.2
10-ก.ค.-49	27.6	30
11-ก.ค.-49	21.1	22.8
12-ก.ค.-49	17.4	18.3
13-ก.ค.-49	15.9	16.2
14-ก.ค.-49	15	15.3
15-ก.ค.-49	12.3	13.3
16-ก.ค.-49	12.7	12.2
17-ก.ค.-49	78.6	53
18-ก.ค.-49	123.6	115.5
19-ก.ค.-49	95.9	109.7
20-ก.ค.-49	79.3	80.6
21-ก.ค.-49	95.4	88.6
22-ก.ค.-49	88.2	93.6
23-ก.ค.-49	65.7	72.5
24-ก.ค.-49	51.1	54.3
25-ก.ค.-49	116.8	89.9

ตารางผนวกที่ จ8(ต่อ)

ว-ด-ป	ปริมาณน้ำท่ารวม(จ-2) (ลบ.ม./วินาที)	ปริมาณน้ำท่าไหลลงแม่น้ำน่าน (ลบ.ม./วินาที)
26-ก.ค.-49	196.9	175.6
27-ก.ค.-49	226.2	222.7
28-ก.ค.-49	184.9	202.4
29-ก.ค.-49	136.3	148.8
30-ก.ค.-49	109.1	115.1
31-ก.ค.-49	132.5	121.1
1-ส.ค.-49	132.9	137
2-ส.ค.-49	122.5	125
3-ส.ค.-49	141.7	133.3
4-ส.ค.-49	112	126.8
5-ส.ค.-49	89.3	92.6
6-ส.ค.-49	71.2	77
7-ส.ค.-49	111.7	93.7
8-ส.ค.-49	133	131.4
9-ส.ค.-49	103.6	115.7
10-ส.ค.-49	81.8	85.8
11-ส.ค.-49	66.4	70.9
12-ส.ค.-49	65.5	64.1
13-ส.ค.-49	62.1	63.9
14-ส.ค.-49	50.2	54.2
15-ส.ค.-49	46.3	46.3
16-ส.ค.-49	43	44.2
17-ส.ค.-49	35.4	37.9
18-ส.ค.-49	50	43.4
19-ส.ค.-49	95.8	80.4
20-ส.ค.-49	112.7	111.9

ตารางผนวกที่ จ8(ต่อ)

ว-ด-ป	ปริมาณน้ำท่ารวม(J-2) (ลบ.ม./วินาที)	ปริมาณน้ำท่าไหลลงแม่น้ำเจ้า
	(ลบ.ม./วินาที)	
21-ส.ค.-49	232.4	185.8
22-ส.ค.-49	315.7	300.5
23-ส.ค.-49	235.8	272.8
24-ส.ค.-49	176.4	185.8
25-ส.ค.-49	138.6	149.8
26-ส.ค.-49	129.5	128.8
27-ส.ค.-49	116.8	122
28-ส.ค.-49	116.8	114.8
29-ส.ค.-49	121.1	120.1
30-ส.ค.-49	167.4	149.6
31-ส.ค.-49	180.2	181.8
1-ก.ย.-49	136.9	153.2
2-ก.ย.-49	109.4	114.1
3-ก.ย.-49	86.4	93.7
4-ก.ย.-49	73.6	75.9
5-ก.ย.-49	61	65.1
6-ก.ย.-49	54.9	55.8
7-ก.ย.-49	45.4	48.8
8-ก.ย.-49	38.5	39.9
9-ก.ย.-49	39.2	38.4
10-ก.ย.-49	74.8	61.2
11-ก.ย.-49	82.8	84.7
12-ก.ย.-49	65.9	71.8
13-ก.ย.-49	53.5	56.2
14-ก.ย.-49	62.8	58.2
15-ก.ย.-49	79.8	74.9

ตารางผนวกที่ จ8(ต่อ)

ว-ด-ป	ปริมาณน้ำท่ารวม(J-2) (ลบ.ม./วินาที)	ปริมาณน้ำท่าไหลลงแม่น้ำผ่าน (ลบ.ม./วินาที)
16-ก.ย.-49	67.1	73.9
17-ก.ย.-49	62.3	61.6
18-ก.ย.-49	64.8	64
19-ก.ย.-49	72.5	69.7
20-ก.ย.-49	100.2	90.4
21-ก.ย.-49	85.7	95
22-ก.ย.-49	64.6	69.4
23-ก.ย.-49	51.5	54.9
24-ก.ย.-49	40.4	43.5
25-ก.ย.-49	37.4	37.4
26-ก.ย.-49	35.6	36.3
27-ก.ย.-49	30.5	32.3
28-ก.ย.-49	24.4	26.2
29-ก.ย.-49	21.3	21.9
30-ก.ย.-49	17.9	19

ประวัติผู้ดำเนินโครงการ



ชื่อ นายรุ่งเกล้า ทรงมังคลา
ภูมิลำเนา 60/236 หมู่ 7 ต.ลำลูกกา อ.ลำลูกกา จ.ปทุมธานี

ประวัติการศึกษา

- จบระดับมัธยมศึกษาจากโรงเรียนรัฐวิทยานุรักษ์
- ปัจจุบันกำลังศึกษาในระดับปริญญาตรีชั้นปีที่ 4
สาขาวิศวกรรมโยธา คณะวิศวกรรมศาสตร์ มหาวิทยาลัย
นเรศวร

E-mail: Romkaow_ce50@hotmail.com



ชื่อ นางสาวสุกัชชา ติพธิรัตน์
ภูมิลำเนา 43/13 หมู่ 3 ต.บึงน้ำรักษ์ อ.รัษฎา จ.ปทุมธานี

ประวัติการศึกษา

- จบระดับมัธยมศึกษาจากโรงเรียนรัฐวิทยานุรักษ์
- ปัจจุบันกำลังศึกษาในระดับปริญญาตรีชั้นปีที่ 4
สาขาวิศวกรรมโยธา คณะวิศวกรรมศาสตร์ มหาวิทยาลัย
นเรศวร

E-mail: Pt_w_bass@hotmail.com